

# COMUNE DI BRICHERASIO

## CITTÀ METROPOLITANA DI TORINO

### LAVORI DI MESSA IN SICUREZZA INCROCI STRADALI SU S.P. 161 ED INTERVENTI DI RIFACIMENTO MANTO DI USURA SU S.P. 158 NEL TERRITORIO DI COMPETENZA DEL COMUNE DI BRICHERASIO

Codice generale	Codice dell' opera	Lotto	Livello di progettazione	Area di progettazione	Numeri elaborato	Tipo documento	Versione
Abri	029	0	E	G	001	rel ill	0-23

IL RESPONSABILE DEL PROCEDIMENTO :

Geom. Romina Bruno Franco

-----

IL PROGETTISTA:

Dott. Ing. Valter Ripamonti



-----

Studio Tecnico Dott. Ing. Valter Ripamonti - Via Tessore n° 25 - 10064 Pinerolo - (TO)  
Tel 0121/77445 - Fax 0121/375733 - E-Mail:segreteria@ripamontistudio.com - tecnico@ripamontistudio.com

### PROGETTO ESECUTIVO

OGGETTO

### RELAZIONE TECNICO ILLUSTRATIVA E DI CALCOLO

VERS.	MODIFICHE	DATA	REDATTORE	SCALA
0	Prima consegna	Agosto 2023	VR	
1				
2				
3				
4				
5				

**COMUNE DI BRICHERASIO**  
Città Metropolitana di Torino

**LAVORI DI MESSA IN SICUREZZA INCROCI STRADALI SU S.P. 161  
ED INTERVENTI DI RIFACIMENTO MANTO D'USURA SU S.P. 158 NEL  
TERRITORIO DI COMPETENZA DEL COMUNE DI BRICHERASIO  
PROGETTO ESECUTIVO**

**RELAZIONE TECNICO ILLUSTRATIVA**

**Premessa**

Le opere consistono nella realizzazione di interventi relativi alla messa in sicurezza di incroci, rotatoria e attraversamenti pedonali lungo la strada Provinciale 161, e tratto di asfaltatura della strada Provinciale 158.

**Opere in progetto**

*Opere per risoluzione criticità incrocio a raso lungo S.P. 161 al Km. 6+100 - zona ponte di Bibiana*

Le opere consistono nella messa in sicurezza dell'area antistante l'incrocio stradale Torre Pellice interni 92 – 254, con inserimento di attraversamento pedonale e pensilina per fermata autobus, con inserimento di area parcheggio.

Al fine della realizzazione delle opere risulta necessario traslare leggermente la carreggiata sul lato nord, con chiusura del fosso esistente e parziale modifica dell'isola spartitraffico di innesto alla rotatoria esistente. Il tutto permetterà di realizzare area parcheggio sul lato opposto con relativa corsia di manovra dedicata, evitando così l'invasione della carreggiata durante le manovre di parcheggio.

Nello specifico si prevede:

- ✓ chiusura del fosso esistente mediante fornitura e posa di tubazione in cls autoportante diametro cm. 60, con relativi pozzi di innesto e caditoie di raccolta acque meteoriche. L'area sopraposta sarà raccordata alla pavimentazione esistente mediante realizzazione di fondazione stradale e successiva bitumatura;
- ✓ asfaltatura dell'area sterrata esistente, con demolizione di tratto di muro in c.a. al fine di migliorare l'area di manovra per i mezzi della raccolta differenziata con riposizionamento dei cassonetti di raccolta;

- ✓ posa in opera di nuova pensilina per fermata autobus, a quattro piantoni, realizzati con tubolari in acciaio verniciati a forno con vernici ad alta resistenza agli agenti atmosferici ed alla corrosione salina, montanti di diametro 89 mm. ancorati al terreno e traverse di collegamento dimensioni 80\*40 mm., parete posteriore tamponata con telaio in alluminio a supporto delle vetrate tipo di sicurezza (4+4) e cupola di copertura realizzata in lastre di policarbonato antiurto completa sistema di raccolta e scarico acqua piovana con apposita canaletta in acciaio. L'ingombro totale pensilina sarà di cm.320\*140, per un'altezza di 300, compresa fornitura e posa di seduta in legno verniciato dim.0,35\*1,40, completa di struttura di sostegno in acciaio zincato e opere di fissaggio, il tutto in conformità alla normativa EN 1090 del 01/07/2014 e fissata alla piastra di ancoraggio in c.a., spessore cm 25.
- ✓ inserimento attraversamento pedonale protetto con area di stazionamento in centro alla carreggiata, con predisposizione impianto di illuminazione comprendente plinti di fondazione, pozzetti di accordo e cavidotti di collegamento. Le opere di posizionamento impianto di illuminazione saranno realizzate con altro finanziamento.
- ✓ asfaltatura parziale delle aree sterminate esistenti sul lato opposto della carreggiata, limitate a quelle di proprietà della Città Metropolitana;
- ✓ asfaltatura completa della carreggiata stradale previa fresatura spessore cm 3;
- ✓ opere di modifica e integrazione della segnaletica orizzontale e verticale, in conformità a quanto richiesto sull'autorizzazione della Città Metropolitana.

#### Miglioramento illuminazione stradale rotatoria di via Daneo lungo S.P. 161 al Km. 7+500

Le opere nello specifico prevedono la predisposizione dell'impianto di illuminazione comprendente plinti di fondazione, pozzetti di accordo e cavidotti di collegamento, al fine di migliorare la visibilità degli attraversamenti pedonali nei due sensi di marcia. Le opere di posizionamento impianto di illuminazione saranno realizzate con altro finanziamento.

#### Asfaltatura tratto di carreggiata lungo la S.P. 158

Le opere nello specifico prevedono l'asfaltatura del tratto della S.P. 158, dalla Km. 7+780 al Km. 7+848. Sono previste opere preliminari di pulizia, ricarica delle zone in corrispondenza delle banchine laterali al fine di risagomare la carreggiata, mediante stesa di strato di binder bitumato spessore cm 4, e la stesa di manto di usura spessore cm 4 su tutta la larghezza della carreggiata. Completano le opere il ripristino della segnaletica stradale.

## **Elenco autorizzazioni, nulla osta e pareri da acquisiti**

- ✓ Autorizzazione paesaggistica semplificata n. 3/2022 del 16/02/2022 ai sensi del DPR n. 31/2017 relativamente all'intervento in progetto;
- ✓ Parere favorevole dell'Agenzia della Mobilità di Torino in relazione all'intervento pervenuto a questo Ente in data 13/07/2022 ns. prot. n. 7.304;
- ✓ Nulla osta tecnico della Città Metropolitana di Torino in relazione all'intervento pervenuto a questo Ente in data 23/02/2023 ns. prot. n. 2.113;

## **Geologia e geotecnica**

Non sono previste opere di fondazione di rilevanza significativa, trattandosi di interventi su viabilità esistente su sedi stradali esistenti già assestate quindi senza necessità di opere di risanamento e/o di sondaggio, pertanto non risultano necessari approfondimenti specifici su tali argomenti.

## **Studio preliminare di inserimento urbanistico e vincoli**

Le strade risultano già esistenti e si tratta di opere di manutenzione pertanto tali opere non comportano modifiche sul piano del traffico e le sezioni stradali risultano conformi alle leggi e regolamenti comunali esistenti.

## **Censimento delle interferenze**

Trattandosi di opere superficiali con l'unica esigenza di rifacimento di manto stradale non vengono interessate interferenze al di sotto del piano stradale, con la sola esclusione di alcuni attraversamenti di cavidotti per la predisposizione dell'impianto di illuminazione.

## **Piano di gestione delle materie**

Il materiale di risulta della scarifica della pavimentazione stradale dovrà essere portata in siti autorizzati presenti in zona (discariche controllate).

Si precisa che sono previste circa 160 tonnellate di materiale derivante dalla scarifica della pavimentazione stradale, mentre per quanto attiene agli inerti bitumati complessivi mc. 360.

L' impresa appaltatrice dovrà individuare gli impianti specifici nell'ambito del rapporto distanza/benefici economici nel rispetto del D.Lgs 152/2006 e a tal proposito si rimanda alla relazione specifica di gestione delle materie di scavo.

## **Espropri**

Trattandosi di aree di proprietà comunale/provinciale non è necessario procedere agli espropri di aree già in possesso del patrimonio. Si dovranno però richiedere accordi bonari per le superfici da asfaltare in proprietà privata ma considerate ad uso pubblico.

## **Predisposizione per impianti di illuminazione attraversamenti pedonali**

Sono previste opere di predisposizione impianto di illuminazione attraversamenti pedonali nuovi ed esistenti, con sola realizzazione di plinti, pozzetti di raccordo e cavidotti di collegamento. Le opere di realizzazione impiantistica saranno eseguite con altro finanziamento.

## **Idrologia e idraulica**

Non sono previste opere di modifica della rete di scarico esistente, ma solamente la chiusura di tratto di fosso esistente e la messa in quota delle griglie in corrispondenza delle aree di nuova asfaltatura.

## **Traffico**

Come già precisato gli interventi previsti non modificano la viabilità ed il piano del traffico e risultano coerenti con i regolamenti comunali migliorando la sicurezza veicolare e pedonale.

## **Fattibilità ambientale**

Come già riportato le opere in progetto non prevedono interventi significativi di modifica ambientale trattandosi essenzialmente di miglioramento di sedi stradali e attraversamenti pedonali e quindi di opere finalizzate alla viabilità e usufruibilità delle aree.

Si prevedono l'impiego di materiali tradizionali quali cordoli in pietra a spacco e bitumi ordinari mentre per le sedi stradali saranno impiegati tout venant, binder e tappetino per le sedi stradali di rifacimento e/o nuova asfaltatura.

Per la tipologia delle opere in progetto non sussistono vicoli paesaggistici di settore.

## **Computo metrico estimativo**

Per la valutazione delle opere si è fatto riferimento ai prezzi desunti dal Prezziario della Regione Piemonte 2023.

**COMUNE DI BRICHERASIO**  
Città Metropolitana di Torino

**LAVORI DI MESSA IN SICUREZZA INCROCI STRADALI SU S.P. 161  
ED INTERVENTI DI RIFACIMENTO MANTO D'USURA SU S.P. 158 NEL  
TERRITORIO DI COMPETENZA DEL COMUNE DI BRICHERASIO  
PROGETTO ESECUTIVO**

**RELAZIONE DI CALCOLO**

Il progetto prevede l'installazione di una pensilina metallica in corrispondenza della fermata del bus di dimensioni massime in pianta pari a 3,18 x 1,43 m ed altezza massima pari a circa 3 m. costituita da due montanti tubolari a supporto del cupolino di protezione superiore che risulta in questo caso in aggetto.

In particolare si prevede l'installazione di un manufatto composto da fianchi a montanti in tubolare di sezione circolare (diametro esterno 88,9 mm e spessore 6 mm) tubolare superiore calandrato a supporto del cupolino di protezione superiore. Le strutture laterali vengono collegate con bulloni da traverse a sezione rettangolare di dimensioni 80x40x4mm e 40x40x3mm.

Il manufatto a due montanti risulta vincolato ad una piastra in c.a. di dimensioni 3,40 x 1,50 m e spessore 25 cm. Il fissaggio dei montanti alla piastra di fondazione avviene per annegamento.

L'acciaio per carpenteria utilizzato risulta essere di tipo S235.

Per la verifica delle azioni del vento si è fatto riferimento alle indicazioni presenti nella Circolare 21 gennaio 2019 n. 7/C.S.LL.PP. al paragrafo C.3.3.8.2 "tettoie", ed i risultati del calcolo mediante foglio Excel sono riportati nella pagina seguente.

<b>AZIONI DEL VENTO CAP. 3.3 NTC 2018</b>			
<b>PRESSIONE DEL VENTO</b>			
<b>CARATTERISTICHE GEOGRAFICHE</b>			
Installazione pensilina a 2 montanti	Comune	Bricherasio	
Altitudine as (slm)		426 m	
Zona (1-9)		1	
Classe rugosità terreno		B	
Categoria di esposizione		IV	
<b>PRESSIONE DEL VENTO</b>			
Velocità base di riferimento quota 0		25 m/s	
a0		1.000 m	
ks		0,40 1/s	
ca		1,00	
Velocità base di riferimento Vb		25 m/s	
Periodo di ritorno		50 anni	
Coefficiente di ritorno		1,00	
Velocità di riferimento Vr		25,02	
Pressione cinetica di riferimento qr		0,391 kN/mq	
Altezza dal suolo z		3 m	
Kr		0,22	
z0		0,3 m	
zmin		8,00 m	
coefficiente di esposizione Ce		1,63	
coefficiente topografico ct		1,00	
coefficiente dinamico Cd		1,00	
pressione del vento p, a meno del cp		0,638 kN/mq	
coefficiente di pressione cp			
	cp	p	
tettoia ad 1 spiovente			
inclinazione falda		30 °	
falda sopravento	1,80	1,15 kN/mq	
tettoia 2 spioventi con displuvio			
inclinazione falda		30 °	
PRESSIONE SU falda sopravento	1,20	0,766 kN/mq	
PRESSIONE SU falda sottovento	-0,60	-0,383 kN/mq	
Azione tangente del vento			
tipo di superficie		liscia	
coefficiente di attrito cf		0,01	
pressione tangente		0,010 kN/mq	

Il comune di Bricherasio risulta classificato Zona sismica 3S secondo la zonizzazione del territorio prevista dalla vigente normativa regionale, e la verifica degli elementi strutturali si effettua secondo il metodo degli Stati Limite sulla base di quanto previsto dal D.M. 17 gennaio 2018 “Norme Tecniche per le Costruzioni”.

Gli interventi in progetto, ai sensi del D.M. 17 gennaio 2018 "Norme Tecniche per le Costruzioni", risultano pertanto classificabili come “nuova costruzione”.

Si allegano in calce alla presente relazione i tabulati di verifica della struttura in progetto, comprendenti anche la verifica delle fondazioni.

- **Definizione delle azioni sismiche caratteristiche del sito**

L'intervento è localizzato nel territorio del comune di Bricherasio, e le coordinate geografiche risultano essere le seguenti:

LAT: 44,8095517

LONG: 7.2904257

Ai sensi del par. 2.4 delle NTC e sulla base delle caratteristiche costruttive e della destinazione d'uso delle strutture in esame, è possibile individuare una tipologia 2 di costruzione per cui  $V_N \geq 50$  anni ed una classe d'uso II.

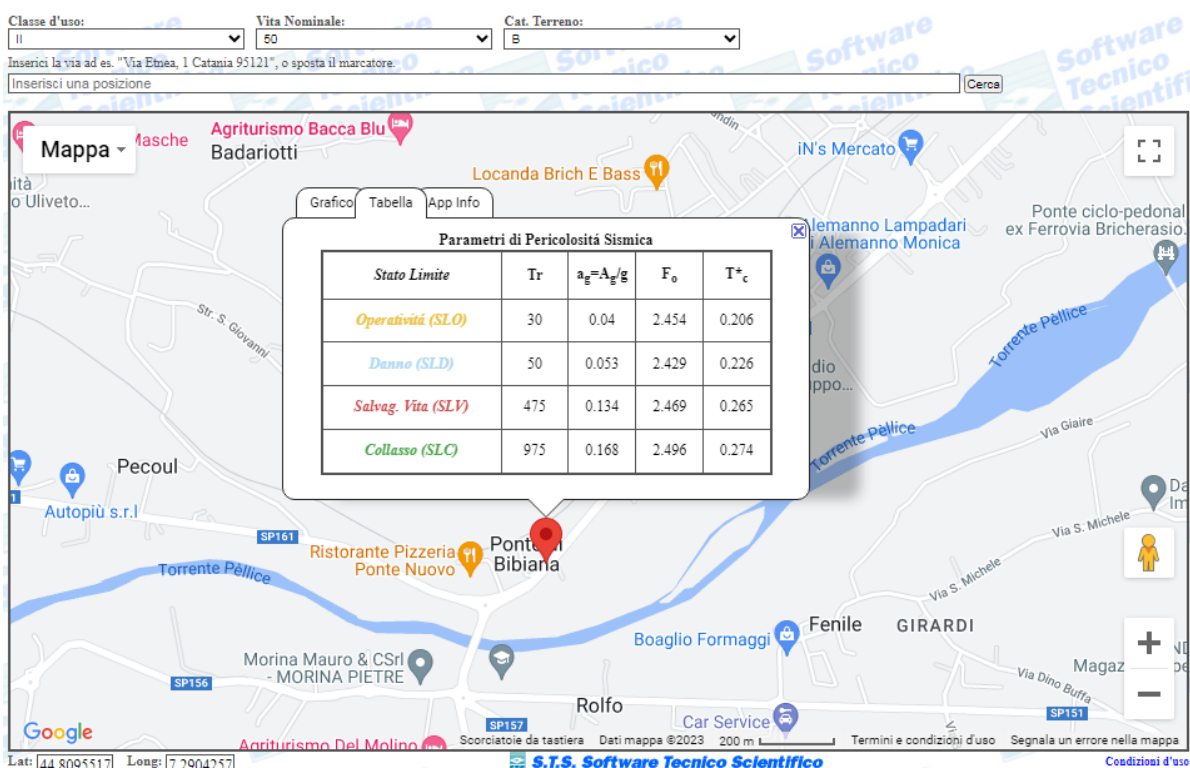
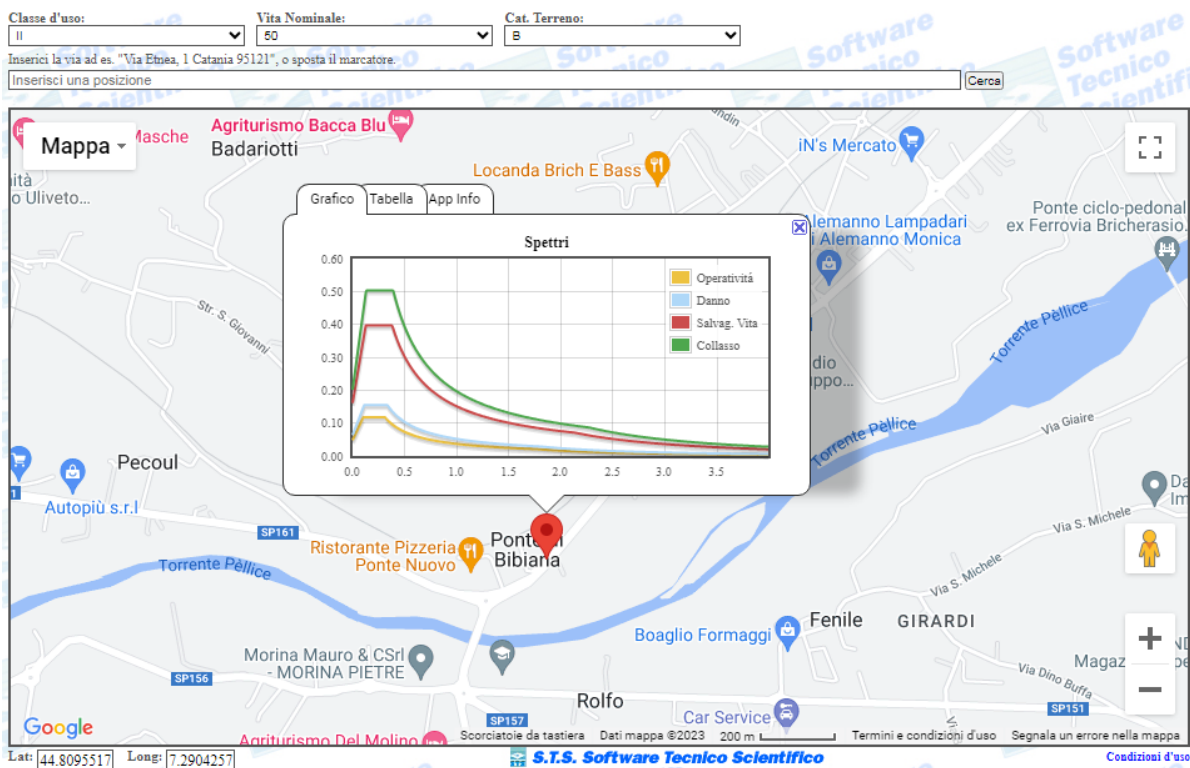
Per quanto riguarda la classificazione della categoria di sottosuolo di cui al par. 3.2.2 delle NTC, sulla base delle caratteristiche geomeccaniche e sedimentologiche e dei risultati delle indagini geofisiche effettuate in corrispondenza dell'abitato di Bricherasio è possibile classificare i terreni presenti nell'area come categoria di suolo B (depositi di terreni a grana grossa molto addensati).

Trattandosi di costruzione di modesta rilevanza che ricade in una zona ben conosciuta dal punto di vista geotecnico, la classificazione si basa sull'esperienza e sulle conoscenze disponibili, ai sensi del par. 6.2.2 delle NTC.

In funzione delle caratteristiche topografie dell'area, infine, si ricava un coefficiente topografico T pari a 1.

Sulla base dei dati sopra esposti, è pertanto possibile ricavare lo spettro di risposta elastico in accelerazione delle componenti orizzontali per i manufatti in esame, ed i conseguenti parametri caratteristici.

I risultati ottenuti sono riportati nelle figure seguenti, fornite a seguito di elaborazione mediante software di calcolo.



Si precisa inoltre che la nuova pensilina risulta essere in acciaio;

In riferimento al par. 7.2 i criteri di progettazione e modellazione seguiti sono i seguenti:

- Struttura non dissipativa
- Struttura non regolare in pianta ed in altezza
- A telaio ad un piano fuori terra
- Fattore di comportamento  $q = 1.50$  (struttura non dissipativa)
- Struttura considerata indipendente ai fini del calcolo
- Criteri per la valutazione degli elementi non strutturali e degli impianti: verifica degli spostamenti massimi ammessi allo SLD e secondo quanto previsto dal par. 7.3.6.1 per la classe d'uso indicata.
- Le fondazioni sono a piastra in c.a., e sono progettate secondo quanto previsto dal par. 7.2.5 delle NTC.
- La struttura è stata modellata in modo tridimensionale secondo quanto previsto dal par. 7.2.6 delle NTC, come descritto nella relazione di calcolo allegata.

In riferimento al par. 7.3 i metodi di analisi e di verifica adottati sono i seguenti:

- Analisi lineare
- Analisi sismica dinamica a masse concentrate

In riferimento al par. 7.1 ed alla classe d'uso indicata gli stati limite considerati ai fini delle verifiche sono i seguenti:

- Stati limite d'esercizio: SLD
- Stati limite ultimi: SLV

## RELAZIONE SULLE FONDAZIONI

L'area di intervento risulta ubicata nel Comune di Bricherasio su terreno caratterizzato da depositi alluvionali di origine fluviale ghiaiosi e ciottolosi, al di sotto di uno strato superficiale di terreni di copertura di spessore modesto.

I principali parametri geotecnici dei litotipi affioranti nell'intorno dell'area d'intervento possono essere identificati attraverso il confronto con materiali simili riportati nella letteratura specifica e, nel caso in esame, possono essere cautelativamente assimilati a misti ghiaioso-sabbiosi con grado di addensamento ridotto ed angolo di attrito pari a circa 30°.

Per quanto riguarda il peso di volume, è possibile assumere, sempre sulla base di correlazioni con materiali simili descritti nella bibliografia specifica, un valore pari a 1,8 t/m<sup>3</sup>, mentre è cautelativamente da considerarsi nullo il contributo alla resistenza al taglio fornito dalle forze di coesione.

Ai terreni indagati possono essere attribuiti, in via cautelativa, i seguenti parametri geotecnici:

$$\gamma \text{ (peso volumico)} = 18 \text{ kN/m}^3;$$

$$\varphi \text{ (angolo di attrito interno)} = 30^\circ;$$

$$c \text{ (coesione)} = 0 \text{ kN/m}^2;$$

La caratterizzazione geotecnica effettuata risulta compatibile con la realizzazione delle opere in progetto, costituite dall'installazione di una pensilina metallica vincolata ad una piastra in c.a. in corrispondenza della fermata del Bus.

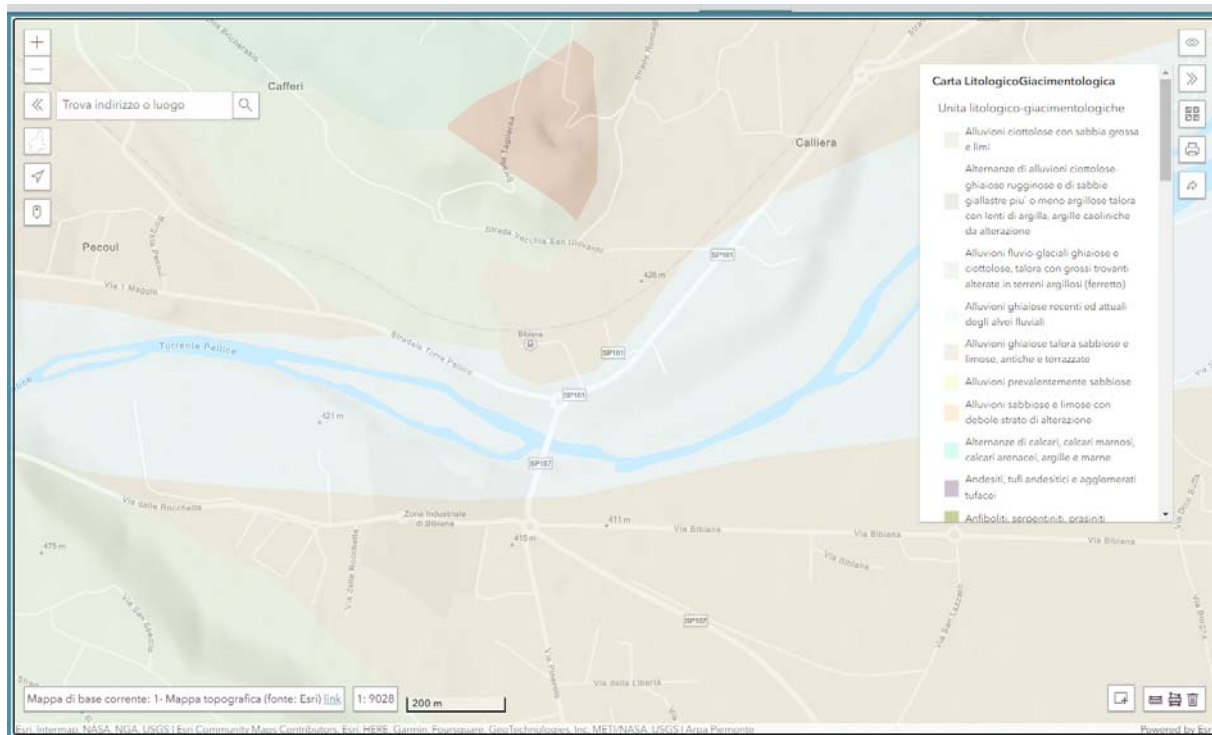
Il piano di fondazione risulta al di sopra del livello statico medio della falda acquifera, e non risulta influenzato da altri elementi che possano pregiudicare la stabilità del medesimo.

Per quanto riguarda la classificazione della categoria di sottosuolo di cui al par. 3.2.2 delle NTC, sulla base delle caratteristiche geomeccaniche e sedimentologiche e dei risultati delle indagini geofisiche effettuate in corrispondenza dell'abitato di Bricherasio è possibile classificare i terreni presenti nell'area come categoria di suolo B (depositi di terreni a grana grossa molto addensati).

Trattandosi di costruzione di modesta rilevanza che ricade in una zona ben conosciuta dal punto di vista geotecnico, la classificazione si basa sull'esperienza e sulle conoscenze disponibili, ai sensi del par. 6.2.2 delle NTC.

In ogni caso tale classificazione risulta coerente con quanto riportato dalla Banca Dati Geotecnica presente sul Geoportale Arpa Piemonte, che indica in corrispondenza delle aree di

intervento la presenza di alluvioni fluviali ghiaiose, come risulta dall'estratto di seguito riportato con la relativa legenda:



## VERIFICA DELLE FONDAZIONI – PENSILINA A 2 MONTANTI

La valutazione della capacità portante del terreno e della pressione di calcolo si effettua secondo il modello delle tensioni efficaci, applicando la formula di Brinch-Hansen per fondazioni dirette, nell'ipotesi di terreni non coesivi  $C = 0$ :

$$q_{ult} = c N_c s_c d_c i_c g_c b_c + q N_q s_q d_q i_q g_q b_q + \frac{1}{2} B \gamma N_g s_g d_g i_g g_g b_g$$

In particolare si considera una fondazione a piastra in c.a. di dimensioni pari a 340 x 150 cm e spessore 25 cm.

Sulla base di quanto sopra riportato, ai terreni indagati alla quota di imposta delle fondazioni, ipotizzata a 0,35 m dal piano campagna, possono pertanto essere attribuiti, in via cautelativa, i seguenti parametri geotecnici:

$$\gamma \text{ (peso volumico)} = 18 \text{ kN/m}^3;$$

$$\varphi \text{ (angolo di attrito interno)} = 30^\circ;$$

$$c \text{ (coesione)} = 0 \text{ kN/m}^2;$$

Il calcolo si effettua, in riferimento al par. 6.4 delle NTC, secondo l'Approccio 2 combinazione (A1+M1+R3) con  $\gamma_R = 2.3$ , A1 come da verifiche SLU STR da software, M1 = 1.

In questo caso si ha, adottando i parametri geotecnici sopra riportati ed applicando il coefficiente riduttivo pari a 2.3 previsto per fondazioni superficiali dalle NTC citate:

$$N_c = 30.140 \quad N_q = 18.401 \quad N_g = 22.402$$

Fattori di forma

$$s_c = 1.269 \quad s_q = 1.255 \quad s_g = 0.824$$

Fattori di profondità del piano di posa

$$d_c = 1.093 \quad d_q = 1.067 \quad d_g = 1.000$$

Fattori di inclinazione del carico

$$i_c = 1.000 \quad i_q = 1.000 \quad i_g = 1.000$$

Fattori di inclinazione del piano di posa

$$g_c = 1.000 \quad g_q = 1.000 \quad g_g = 1.000$$

Fattori di inclinazione del pendio

bc = 1.000 bq= 1.000 bga= 1.000

Fattori di capacità portante corretti

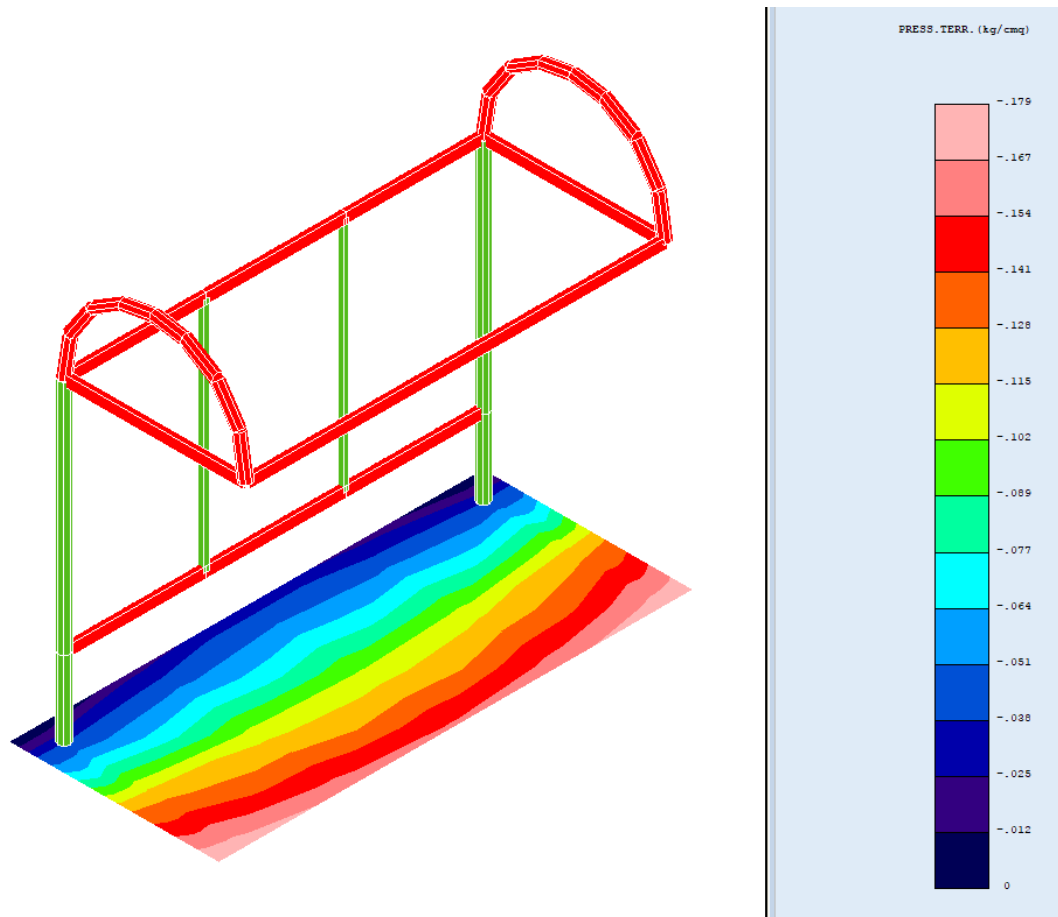
Nc'= 41.828 Nq'= 24.643 Nga'= 18.449

Qult (Kg/cmq) 4.04

**Qprog (Kg/cmq) 1.76**

In questo caso si ha un valore massimo localmente ottenuto dal calcolo Qmax = 0.179 kg/cmq come si evince dall'immagine di seguito riportata, che risulta inferiore al valore di progetto calcolato.

La fondazione risulta pertanto verificata.



**ALLEGATI**

**TABULATI DI CALCOLO PENSILINA A DUE MONTANTI**

**COMUNE DI BRICHERASIO  
PROVINCIA DI TORINO**

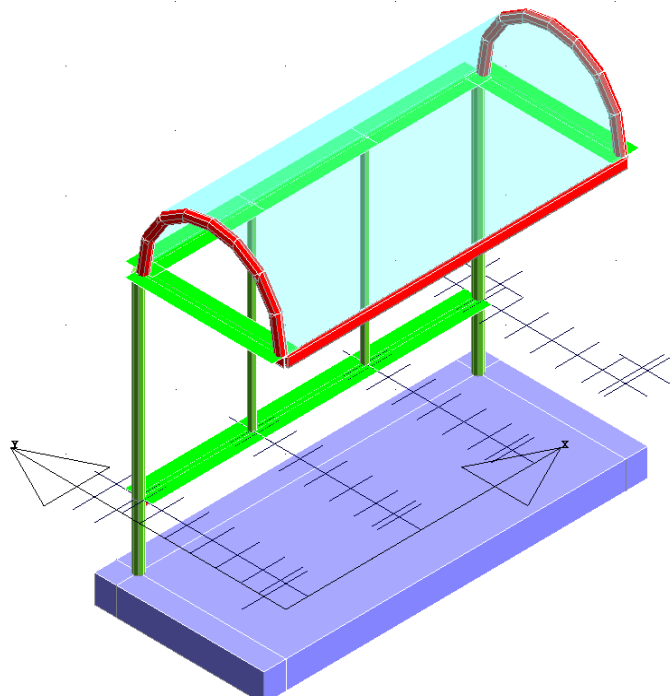
# **TABULATI DI CALCOLO**

**OGGETTO:**

**LAVORI DI MESSA IN SICUREZZA INCROCI  
STRADALI SU S.P. 161 ED INTERVENTI DI RIFACIMENTO  
MANTO DI USURA SU S.P. 158 NEL TERRITORIO  
DI COMPETENZA DEL COMUNE DI BRICHERASIO**

**PROGETTO ESECUTIVO**

**INSTALLAZIONE PENSILINA 2 MONTANTI**



**COMMITTENTE:**

**COMUNE DI BRICHERASIO**

Il Tecnico:  
Dott. Ing. V. Ripamonti



## **RELAZIONE DI CALCOLO**

Sono illustrati con la presente i risultati dei calcoli che riguardano il progetto delle armature, la verifica delle tensioni di lavoro dei materiali e del terreno.

### • **NORMATIVA DI RIFERIMENTO**

I calcoli sono condotti nel pieno rispetto della normativa vigente e, in particolare, la normativa cui viene fatto riferimento nelle fasi di calcolo, verifica e progettazione è costituita dalle *Norme Tecniche per le Costruzioni*, emanate con il D.M. 17/01/2018 pubblicato nel suppl. 8 G.U. 42 del 20/02/2018, nonché la Circolare del Ministero Infrastrutture e Trasporti del 21 Gennaio 2019, n. 7 “*Istruzioni per l'applicazione dell'aggiornamento delle norme tecniche per le costruzioni*”.

### • **METODI DI CALCOLO**

I metodi di calcolo adottati per il calcolo sono i seguenti:

- 1) Per i carichi statici: *METODO DELLE DEFORMAZIONI*;
- 2) Per i carichi sismici: metodo dell'*ANALISI MODALE* o dell'*ANALISI SISMICA STATICÀ EQUIVALENTE*.

Per lo svolgimento del calcolo si è accettata l'ipotesi che, in corrispondenza dei piani sismici, i solai siano infinitamente rigidi nel loro piano e che le masse ai fini del calcolo delle forze di piano siano concentrate alle loro quote.

### • **CALCOLO SPOSTAMENTI E CARATTERISTICHE**

Il calcolo degli spostamenti e delle caratteristiche viene effettuato con il metodo degli elementi finiti (**F.E.M.**).

Possono essere inseriti due tipi di elementi:

- 1) Elemento monodimensionale asta (*beam*) che unisce due nodi aventi ciascuno 6 gradi di libertà. Per maggiore precisione di calcolo, viene tenuta in conto anche la deformabilità a taglio e quella assiale di questi elementi. Queste aste, inoltre, non sono considerate flessibili da nodo a nodo ma hanno sulla parte iniziale e finale due tratti infinitamente rigidi formati dalla parte di trave inglobata nello spessore del pilastro; questi tratti rigidi forniscono al nodo una dimensione reale.
- 2) L'elemento bidimensionale shell (*quad*) che unisce quattro nodi nello spazio. Il suo comportamento è duplice, funziona da lastra per i carichi agenti sul suo piano, da piastra per i carichi ortogonali.

Assemblate tutte le matrici di rigidezza degli elementi in quella della struttura spaziale, la risoluzione del sistema viene perseguita tramite il *metodo di Cholesky*.

Ai fini della risoluzione della struttura, gli spostamenti X e Y e le rotazioni attorno l'asse verticale Z di tutti i nodi che giacciono su di un impalcato dichiarato rigido sono mutuamente vincolati.

### • **RELAZIONE SUI MATERIALI**

Le caratteristiche meccaniche dei materiali sono descritte nei tabulati riportati nel seguito per ciascuna tipologia di materiale utilizzato.

## • ANALISI SISMICA DINAMICA A MASSE CONCENTRATE

L'analisi sismica dinamica è stata svolta con il metodo dell'analisi modale; la ricerca dei modi e delle relative frequenze è stata perseguita con il metodo delle "iterazioni nel sottospazio".

I modi di vibrazione considerati sono in numero tale da assicurare l'eccitazione di più dell'85% della massa totale della struttura.

Per ciascuna direzione di ingresso del sisma si sono valutate le forze modali che vengono applicate su ciascun nodo spaziale (tre forze, in direzione X, Y e Z, e tre momenti).

Per la verifica della struttura si è fatto riferimento all'analisi modale, pertanto sono prima calcolate le sollecitazioni e gli spostamenti modali e poi viene calcolato il loro valore efficace.

I valori stampati nei tabulati finali allegati sono proprio i suddetti valori efficaci e pertanto l'equilibrio ai nodi perde di significato. I valori delle sollecitazioni sismiche sono combinate linearmente (in somma e in differenza) con quelle per carichi statici per ottenere le sollecitazioni per sisma nelle due direzioni di calcolo.

Gli angoli delle direzioni di ingresso dei sismi sono valutati rispetto all'asse X del sistema di riferimento globale.

## • VERIFICHE

Le verifiche, svolte secondo il metodo degli stati limite ultimi e di esercizio, si ottengono inviluppando tutte le condizioni di carico prese in considerazione.

In fase di verifica è stato differenziato l'elemento trave dall'elemento pilastro. Nell'elemento trave le armature sono disposte in modo asimmetrico, mentre nei pilastri sono sempre disposte simmetricamente.

Per l'elemento trave, l'armatura si determina suddividendola in cinque conci in cui l'armatura si mantiene costante, valutando per tali conci le massime aree di armatura superiore ed inferiore richieste in base ai momenti massimi riscontrati nelle varie combinazioni di carico esaminate. Lo stesso criterio è stato adottato per il calcolo delle staffe.

Anche l'elemento pilastro viene scomposto in cinque conci in cui l'armatura si mantiene costante. Vengono però riportate le armature massime richieste nella metà superiore (testa) e inferiore (piede).

La fondazione su travi rovesce è risolta contemporaneamente alla sovrastruttura tenendo in conto sia la rigidezza flettente che quella torcente, utilizzando per l'analisi agli elementi finiti l'elemento asta su suolo elastico alla *Winkler*.

Le travate possono incrociarsi con angoli qualsiasi e avere dei disassamenti rispetto ai pilastri su cui si appoggiano.

La ripartizione dei carichi, data la natura matriciale del calcolo, tiene automaticamente conto della rigidezza relativa delle varie travate convergenti su ogni nodo.

Le verifiche per gli elementi bidimensionali (setti) vengono effettuate sovrapponendo lo stato tensionale del comportamento a lastra e di quello a piastra. Vengono calcolate le armature delle due facce dell'elemento bidimensionale disponendo i ferri in due direzioni ortogonali.

## • DIMENSIONAMENTO MINIMO DELLE ARMATURE.

Per il calcolo delle armature sono stati rispettati i minimi di legge di seguito riportati:

### TRAVI:

Area minima delle staffe pari a  $1.5*b \text{ mmq/ml}$ , essendo b lo spessore minimo dell'anima misurato in mm, con passo non maggiore di 0,8 dell'altezza utile e con un minimo di 3 staffe al metro. In prossimità degli appoggi o di carichi concentrati per una lunghezza pari all'altezza utile della sezione, il passo minimo sarà 12 volte il diametro minimo dell'armatura longitudinale.

Armatura longitudinale in zona tesa  $\geq 0,15\%$  della sezione di calcestruzzo. Alle estremità è disposta una armatura inferiore minima che possa assorbire, allo stato limite ultimo, uno sforzo di trazione uguale al taglio.

In zona sismica, nelle zone critiche il passo staffe è non superiore al minimo di:

- un quarto dell'altezza utile della sezione trasversale;
- 175 mm e 225 mm, rispettivamente per CDA e CDB;
- 6 volte e 8 volte il diametro minimo delle barre longitudinali considerate ai fini delle verifiche, rispettivamente per CDA e CDB;
- 24 volte il diametro delle armature trasversali.

Le zone critiche si estendono, per CDB e CDA, per una lunghezza pari rispettivamente a 1 e 1,5 volte l'altezza della sezione della trave, misurata a partire dalla faccia del nodo trave-pilastro. Nelle zone critiche della trave il rapporto fra l'armatura compressa e quella tesa è maggiore o uguale a 0,5.

### PILASTRI:

Armatura longitudinale compresa fra 0,3% e 4% della sezione effettiva e non minore di  $0,10 * Ned/fyd$ ;

Barre longitudinali con diametro  $\geq 12$  mm;

Diametro staffe  $\geq 6$  mm e comunque  $\geq 1/4$  del diametro max delle barre longitudinali, con interasse non maggiore di 30 cm.

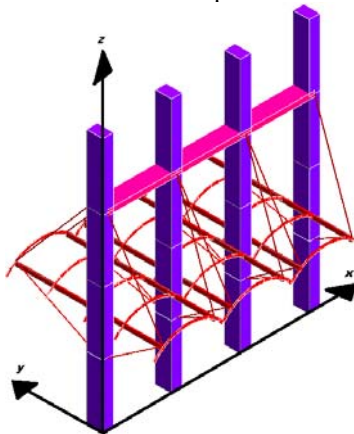
In zona sismica l'armatura longitudinale è almeno pari all'1% della sezione effettiva; il passo delle staffe di contenimento è non superiore alla più piccola delle quantità seguenti:

- 1/3 e 1/2 del lato minore della sezione trasversale, rispettivamente per CDA e CDB;
- 125 mm e 175 mm, rispettivamente per CDA e CDB;
- 6 e 8 volte il diametro delle barre longitudinali che collegano, rispettivamente per CDA e CDB.

## • SISTEMI DI RIFERIMENTO

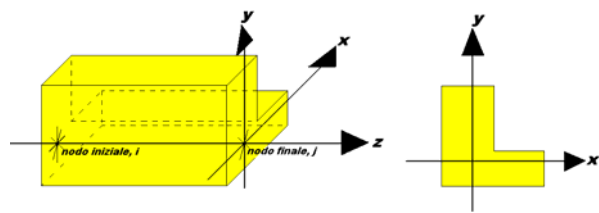
### 1) SISTEMA GLOBALE DELLA STRUTTURA SPAZIALE

Il sistema di riferimento globale è costituito da una terna destra di assi cartesiani ortogonali (O-XYZ) dove l'asse Z rappresenta l'asse verticale rivolto verso l'alto. Le rotazioni sono considerate positive se concordi con gli assi vettori:



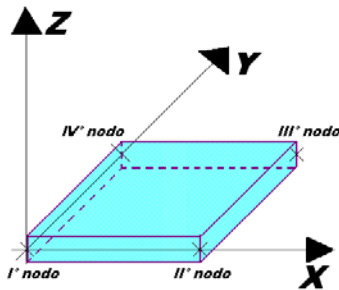
### 2) SISTEMA LOCALE DELLE ASTE

Il sistema di riferimento locale delle aste, inclinate o meno, è costituito da una terna destra di assi cartesiani ortogonali che ha l'asse Z coincidente con l'asse longitudinale dell'asta ed orientamento dal nodo iniziale al nodo finale, gli assi X ed Y sono orientati come nell'archivio delle sezioni:



### 3) SISTEMA LOCALE DELL'ELEMENTO SHELL

Il sistema di riferimento locale dell'elemento shell è costituito da una terna destra di assi cartesiani ortogonali che ha l'asse X coincidente con la direzione fra il primo ed il secondo nodo di input, l'asse Y giacente nel piano dello shell e l'asse Z in direzione dello spessore:



- **UNITÀ DI MISURA**

Si adottano le seguenti unità di misura:

[lunghezze]	= m
[forze]	= kgf / daN
[tempo]	= sec
[temperatura]	= °C

- **CONVENZIONI SUI SEGNI**

I carichi agenti sono:

- 1) Carichi e momenti distribuiti lungo gli assi coordinati;
- 2) Forze e coppie nodali concentrate sui nodi.

Le forze distribuite sono da ritenersi positive se concordi con il sistema di riferimento locale dell'asta, quelle concentrate sono positive se concordi con il sistema di riferimento globale.

I gradi di libertà nodali sono gli omologhi agli enti forza, e quindi sono definiti positivi se concordi a questi ultimi.

- SPECIFICHE CAMPI TABELLA DI STAMPA**

Si riporta appresso la spiegazione delle sigle usate nella tabella caratteristiche statiche dei profili e caratteristiche materiali.

<b>Sez.</b>	: Numero d'archivio della sezione
<b>U</b>	: Perimetro bagnato per metro di sezione
<b>P</b>	: Peso per unità di lunghezza
<b>A</b>	: Area della sezione
<b>Ax</b>	: Area a taglio in direzione X
<b>Ay</b>	: Area a taglio in direzione Y
<b>Jx</b>	: Momento d'inerzia rispetto all'asse X
<b>Jy</b>	: Momento d'inerzia rispetto all'asse Y
<b>Jt</b>	: Momento d'inerzia torsionale
<b>Wx</b>	: Modulo di resistenza a flessione, asse X
<b>Wy</b>	: Modulo di resistenza a flessione, asse Y
<b>Wt</b>	: Modulo di resistenza a torsione
<b>ix</b>	: Raggio d'inerzia relativo all'asse X
<b>iy</b>	: Raggio d'inerzia relativo all'asse Y
<b>sver</b>	: Coefficiente per verifica a svergolamento ( $h/(b*t)$ )
<b>E</b>	: Modulo di elasticità normale
<b>G</b>	: Modulo di elasticità tangenziale
<b>lambda</b>	: Valore massimo della snellezza
<b>Tipo Acciaio</b>	: Tipo di acciaio
<b>Tipo verifica</b>	: EvitaVerif : non esegue verifica NoVerCompr : verifica solo aste tese Completa : verifica completa
<b>gamma</b>	: peso specifico del materiale
<b>Lungh/SpLim</b>	: Rapporto fra la lunghezza dell'asta e lo spostamento limite
<b>Tipo profilatura</b>	: a freddo/a caldo (Dato valido solo per tipologie tubolari)
<b>Wx Plast.</b>	: Modulo di resistenza plastica in direzione X
<b>Wy Plast.</b>	: Modulo di resistenza plastica in direzione Y
<b>Wt Plast.</b>	: Modulo di resistenza plastica torsionale
<b>Ax Plast.</b>	: Area a taglio plastica direzione X
<b>Ay Plast.</b>	: Area a taglio plastica direzione Y
<b>Iw</b>	: Costante di ingombramento (momento di inerzia settoriale)
<b>Num.Rit.Tors</b>	: Numero di ritegni torsionali

Per Norma 1996 valgono anche le seguenti sigle:

<b>s<sub>amm</sub></b>	: Tensione ammissibile
<b>fe</b>	: Tipo di acciaio (1 = Fe360; 2 = Fe430; 3 = Fe510)
<b>Ω</b>	: Prospetto per i coefficienti Ω (1 = a; 2 = b; 3 = c; 4 = d – Per le sezioni in legno: 5 = latifoglie dure; 6=conifere)
<b>Caric. estra</b>	: Coefficiente per carico estradossato per la verifica allo svergolamento
<b>E.lim.</b>	: Eccentricità limite per evitare la verifica allo svergolamento
<b>Coeff.'ni'</b>	: Coefficiente "ni"

- SPECIFICHE CAMPI TABELLA DI STAMPA**

Le sezioni delle aste in c.a.o. riportate nel seguito sono state raggruppate per tipologia. Le tipologie disponibili sono le seguenti:

**1) RETTANGOLARE**

**2) a T**

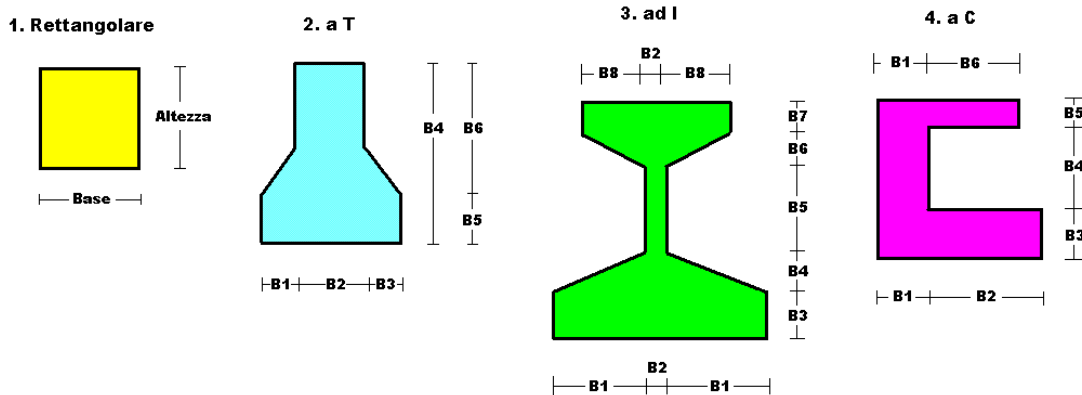
**3) ad I**

**4) a C**

**5) CIRCOLARE**

**6) POLIGONALE**

Nelle tabelle sono usate alcune sigle il cui significato è spiegato dagli schemi riportati in appresso:



Per quanto attiene alla tipologia poligonale le diciture V1, V2, ..., V10 individuano i vertici della sezione descritta per coordinate.

In coda alle presenti stampe viene riportata la tabellina riassuntiva delle caratteristiche statiche delle sezioni in parola in termini di area, momenti di inerzia baricentrici rispetto all'asse X ed Y ( $I_{xg}$  ed  $I_{yg}$ ) e momento d'inerzia polare ( $I_p$ ).

- **SPECIFICHE CAMPI TABELLA DI STAMPA**

Si riporta di seguito la spiegazione delle sigle usate nella tabella di stampa dell'archivio materiali.

**Materiale N.ro** : *Numero identificativo del materiale in esame*

**Densità** : *Peso specifico del materiale*

**Ex / 1E3** : *Modulo elastico in direzione x diviso per 1000*

**Ni.x** : *Coefficiente di Poisson in direzione x*

**Alfa.x** : *Coefficiente di dilatazione termica in direzione x*

**Ey / 1E3** : *Modulo elastico in direzione y diviso per 1000*

**Ni.y** : *Coefficiente di Poisson in direzione y*

**Alfa.y** : *Coefficiente di dilatazione termica in direzione y*

**E11 / 1E3** : *Elemento della matrice elastica diviso per 1000, 1a riga - 1a colonna*

**E12 / 1E3** : *Elemento della matrice elastica diviso per 1000, 1a riga - 2a colonna*

**E13 / 1E3** : *Elemento della matrice elastica diviso per 1000, 1a riga - 3a colonna*

**E22 / 1E3** : *Elemento della matrice elastica diviso per 1000, 2a riga - 2a colonna*

**E23 / 1E3** : *Elemento della matrice elastica diviso per 1000, 2a riga - 3a colonna*

**E33 / 1E3** : *Elemento della matrice elastica diviso per 1000, 3a riga - 3a colonna*

- SPECIFICHE CAMPI TABELLA DI STAMPA**

Si riporta appresso la spiegazione delle sigle usate nelle tabelle riassuntive dei criteri di progetto per le aste in elevazione, per quelle di fondazione, per i pilastri e per i setti.

<b>Crit.N.ro</b>	: Numero indicativo del criterio di progetto
<b>Elem.</b>	: Tipo di elemento strutturale
<b>%Rig.Tors.</b>	: Percentuale di rigidezza torsionale
<b>Mod. E</b>	: Modulo di elasticità normale
<b>Poisson</b>	: Coefficiente di Poisson
<b>Sgmc</b>	: Tensione massima di esercizio del calcestruzzo
<b>tauc0</b>	: Tensione tangenziale minima
<b>tauc1</b>	: Tensione tangenziale massima
<b>Sgmf</b>	: Tensione massima di esercizio dell'acciaio
<b>Om.</b>	: Coefficiente di omogeneizzazione
<b>Gamma</b>	: Peso specifico del materiale
<b>Copristaffa</b>	: Distanza tra il lembo esterno della staffa ed il lembo esterno della sezione in calcestruzzo
<b>Fi min.</b>	: Diametro minimo utilizzabile per le armature longitudinali
<b>Fi st.</b>	: Diametro delle staffe
<b>Lar. st.</b>	: Larghezza massima delle staffe
<b>Psc</b>	: Passo di scansione per i diagrammi delle caratteristiche
<b>Pos.pol.</b>	: Numero di posizioni delle armature per la verifica di sezioni poligonali
<b>D arm.</b>	: Passo di incremento dell'armatura per la verifica di sezioni poligonali
<b>Iteraz.</b>	: Numero massimo di iterazioni per la verifica di sezioni poligonali
<b>Def. Tag.</b>	: Deformabilità a taglio (si, no)
<b>%Scorr.Staf.</b>	: Percentuale di scorrimento da far assorbire alle staffe
<b>P.max staffe</b>	: Passo massimo delle staffe
<b>P.min.staffe</b>	: Passo minimo delle staffe
<b>tMt min.</b>	: Tensione di torsione minima al di sotto del quale non si arma a torsione
<b>Ferri parete</b>	: Presenza di ferri di parete a taglio
<b>Ecc.lim.</b>	: Eccentricità M/N limite oltre la quale la verifica viene effettuata a flessione pura
<b>Tipo ver.</b>	: Tipo di verifica (0 = solo $M_x$ ; 1 = $M_x$ e $M_y$ separate; 2 = deviata)
<b>Fl.rett.</b>	: Flessione retta forzata per sezioni dissimmetriche ma simmetrizzabili (0 = no; 1 = si)
<b>Den.X pos.</b>	: Denominatore della quantità $q \cdot l \cdot l$ per determinare il momento $M_x$ minimo per la copertura del diagramma positivo
<b>Den.X neg.</b>	: Denominatore della quantità $q \cdot l \cdot l$ per determinare il momento $M_x$ minimo per la copertura del diagramma negativo
<b>Den.Y pos.</b>	: Denominatore della quantità $q \cdot l \cdot l$ per determinare il momento $M_y$ minimo per la copertura del diagramma positivo
<b>Den.Y neg.</b>	: Denominatore della quantità $q \cdot l \cdot l$ per determinare il momento $M_y$ minimo per la copertura del diagramma negativo
<b>%Mag.car.</b>	: Percentuale di maggiorazione dei carichi statici della prima combinazione di carico
<b>%Rid.Plas</b>	: Rapporto tra i momenti sull'estremo della trave $M^*(ij)/M(ij)$ , dove: - $M^*(ij)$ =Momento DOPO la ridistribuzione plastica - $M(ij)$ =Momento PRIMA della ridistribuzione plastica
<b>Linear.</b>	: Coefficiente descrittivo del comportamento dell'asta: 1 = comportamento lineare sia a trazione che a compressione. 2 = comportamento non lineare sia a trazione che a compressione. 3 = comportamento lineare solo a trazione. 4 = comportamento non lineare solo a trazione. 5 = comportamento lineare solo a compressione. 6 = comportamento non lineare solo a compressione.
<b>Appesi</b>	: Flag di disposizione del carico sull'asta (1 = appeso, cioè applicato all'intradosso; 0 = non appeso, cioè applicato all'estradosso)
<b>Min. T/sigma</b>	: Verifica minimo $T/\sigma$ (1 = si; 0 = no)
<b>Verif.Alette</b>	: Verifica alette travi di fondazione (1 = si; 0 = no)
<b>Kwinkl.</b>	: Costante di sottofondo del terreno

Si riporta appresso la spiegazione delle sigle usate nelle tabelle riassuntive dei criteri di progetto per le verifiche agli stati limite.

<b>Cri.Nro</b>	: Numero identificativo del criterio di progetto
<b>Tipo Elem.</b>	: Tipo di elemento: trave di elevazione, trave di fondazione, pilastro, setto, setto elastico ("SHela")
<b>fck</b>	: Resistenza caratteristica del calcestruzzo
<b>fed</b>	: Resistenza di calcolo del calcestruzzo
<b>red</b>	: Resistenza di calcolo a flessione del calcestruzzo (massimo del diagramma parabola rettangolo)
<b>fyk</b>	: Resistenza caratteristica dell'acciaio
<b>fyd</b>	: Resistenza di calcolo dell'acciaio
<b>Ey</b>	: Modulo elastico dell'acciaio
<b>ec0</b>	: Deformazione limite del calcestruzzo in campo elastico
<b>ecu</b>	: Deformazione ultima del calcestruzzo
<b>eyu</b>	: Deformazione ultima dell'acciaio
<b>Ac/At</b>	: Rapporto dell'incremento fra l'armatura compressa e quella tesa
<b>Mt/Mtu</b>	: Rapporto fra il momento torcente di calcolo e il momento torcente resistente ultimo del calcestruzzo al di sotto del quale non si arma a torsione
<b>Wra</b>	: Ampiezza limite della fessura per combinazioni rare
<b>Wfr</b>	: Ampiezza limite della fessura per combinazioni frequenti
<b>Wpe</b>	: Ampiezza limite della fessura per combinazioni permanenti
<b><math>\sigma_c</math> Rara</b>	: Sigma massima del calcestruzzo per combinazioni rare
<b><math>\sigma_c</math> Perm</b>	: Sigma massima del calcestruzzo per combinazioni permanenti
<b><math>\sigma_f</math> Rara</b>	: Sigma massima dell'acciaio per combinazioni rare
<b>SpRar</b>	: Rapporto fra la lunghezza dell'elemento e lo spostamento massimo per combinazioni rare
<b>SpPer</b>	: Rapporto fra la lunghezza dell'elemento e lo spostamento massimo per combinazioni permanenti
<b>Coef.Visc.:</b>	: Coefficiente di viscosità

- **SPECIFICHE CAMPI TABELLA DI STAMPA**

Si riporta appresso la spiegazione delle sigle usate nella tabella coordinate nodi.

<b>Nodo3d</b>	: <i>Numero del nodo spaziale</i>
<b>Coord.X</b>	: <i>Coordinata X del punto nel sistema di riferimento globale</i>
<b>Coord.Y</b>	: <i>Coordinata Y del punto nel sistema di riferimento globale</i>
<b>Coord.Z</b>	: <i>Coordinata Z del punto nel sistema di riferimento globale</i>
<b>Filo</b>	: <i>Numero del filo per individuare le travate in c.a.</i>
<b>Piano Sism.</b>	: <i>Numero del piano rigido di appartenenza del nodo</i>
<b>Peso</b>	: <i>Peso sismico del nodo; ogni canale di carico è stato moltiplicato per il proprio coefficiente di riduzione del sovraccarico</i>

- SPECIFICHE CAMPI TABELLA DI STAMPA**

Si riporta appresso la spiegazione delle sigle usate nella tabella dati di asta spaziale.

<b>Asta3d</b>	: Numero dell'asta spaziale
<b>Filo in.</b>	: Numero del filo del nodo iniziale
<b>Filo fin.</b>	: Numero del filo del nodo finale
<b>Q. iniz.</b>	: Quota del nodo iniziale
<b>Q. fin.</b>	: Quota del nodo finale
<b>Nod3d iniz.</b>	: Numero del nodo iniziale
<b>Nod3d fin.</b>	: Numero del nodo finale
<b>Cr. Pr.</b>	: Numero del criterio di progetto per la verifica
<b>Sez. N.ro</b>	: Numero in archivio della sezione
<b>Base x Alt</b>	: Per le sezioni rettangolari base ed altezza; per le altre tipologie ingombro massimo della sezione
<b>Magr.</b>	: Dimensione del magrone per sezioni di fondazione
<b>Rot.</b>	: Angolo di rotazione della sezione
<b>dx</b>	: Scostamento in direzione X globale dell'estremo iniziale dell'asta dal nodo iniziale
<b>dy</b>	: Scostamento in direzione Y globale dell'estremo iniziale dell'asta dal nodo iniziale
<b>dz</b>	: Scostamento in direzione Z globale dell'estremo iniziale dell'asta dal nodo iniziale
<b>dx</b>	: Scostamento in direzione X globale dell'estremo finale dell'asta dal nodo finale
<b>dy</b>	: Scostamento in direzione Y globale dell'estremo finale dell'asta dal nodo finale
<b>dz</b>	: Scostamento in direzione Z globale dell'estremo finale dell'asta dal nodo finale
<b>Cri Geo</b>	: Criterio geotecnico
<b>Tipo Elemento</b>	: Tipo elemento ai fini sismici: <i>Le sigle sotto riportate hanno il significato appresso specificato:</i> - “Secondario NTC18”: si intende un elemento asta secondario ai sensi della NTC2018, che non viene inserito nel modello sismico ed a cui vengono applicate le verifiche di duttilità. - “NoGerarchia”: si intende un elemento asta non appartenente ad un meccanismo dissipativo e in cui non è applicabile la gerarchia delle resistenze(esempio aste meshate interne a pareti o piastre o travi inclinate)

- **SPECIFICHE CAMPI TABELLA DI STAMPA**

Si riporta appresso la spiegazione delle sigle usate nella tabella dati di shell spaziale.

<b>Shell</b>	: <i>Numero dello shell spaziale</i>
<b>Filo 1</b>	: <i>Numero del filo del primo nodo</i>
<b>Filo 2</b>	: <i>Numero del filo del secondo nodo</i>
<b>Filo 3</b>	: <i>Numero del filo del terzo nodo</i>
<b>Filo 4</b>	: <i>Numero del filo del quarto nodo</i>
<b>Quota 1</b>	: <i>Quota del primo nodo</i>
<b>Quota 2</b>	: <i>Quota del secondo nodo</i>
<b>Quota 3</b>	: <i>Quota del terzo nodo</i>
<b>Quota 4</b>	: <i>Quota del quarto nodo</i>
<b>Nod3d 1</b>	: <i>Numero del primo nodo</i>
<b>Nod3d 2</b>	: <i>Numero del secondo nodo</i>
<b>Nod3d 3</b>	: <i>Numero del terzo nodo</i>
<b>Nod3d 4</b>	: <i>Numero del quarto nodo</i>
<b>Sez. N.ro</b>	: <i>Numero in archivio della sezione</i>
<b>Spess</b>	: <i>Spessore dello shell</i>
<b>Kwinkl</b>	: <i>Costante di Winkler del terreno se l'elemento è di fondazione; 0 se è di elevazione</i>
<b>Tipo Mat.</b>	: <i>Numero dell'archivio per il tipo di materiale</i>
<b>Mesh X</b>	: <i>Numero di suddivisioni del macro elemento sull'asse X locale</i>
<b>Mesh Y</b>	: <i>Numero di suddivisioni del macro elemento sull'asse Y locale</i>

- **SPECIFICHE CAMPI TABELLA DI STAMPA**

Si riporta appresso la spiegazione delle sigle usate nella tabella vincoli nodali esterni:

- **Nodo3d** : Numero del nodo spaziale
- **Codice** : Codice esplicito per la determinazione del vincolo:

**I** = incastro  
**C** = cerniera completa  
**W** = *Winkler*  
**E** = esplicito  
**P** = plinto  
**U** = Vincolo unilatero

- **Tx** : Rigidezza traslante in direzione X sul sistema di riferimento locale del vincolo (-1 spostamento impedito)
- **Ty** : Rigidezza traslante in direzione Y sul sistema di riferimento locale del vincolo (-1 spostamento impedito)
- **Tz** : Rigidezza traslante in direzione Z sul sistema di riferimento locale del vincolo (-1 spostamento impedito)
- **Rx** : Rigidezza rotazionale in direzione X sul sistema di riferimento locale del vincolo (-1 spostamento impedito)
- **Ry** : Rigidezza rotazionale in direzione Y sul sistema di riferimento locale del vincolo (-1 spostamento impedito)
- **Rz** : Rigidezza rotazionale in direzione Z sul sistema di riferimento locale del vincolo (-1 spostamento impedito)

#### SCOSTAMENTO PER I VINCOLI ELASTICI

- **Tr. X**: Scostamento in direzione X globale del sistema di riferimento locale del vincolo
- **Tr. Y**: Scostamento in direzione Y globale del sistema di riferimento locale del vincolo
- **Tr. Z**: Scostamento in direzione Z globale del sistema di riferimento locale del vincolo
- **Azim**: Angolo formato fra la proiezione dell'asse Z locale sul piano XY e l'asse X globale (azimut)
- **CoZe**: Angolo formato fra l'asse Z locale e l'asse Z globale (complemento allo zenit)
- **Ass.** : Rotazione attorno dell'asse Z locale del sistema di riferimento locale

#### ATTRIBUTO DI VERSO PER I VINCOLI UNILATERI

- **Tr. X** : Attributo sul verso dello spostamento impedito dal vincolo unilatero lungo la direzione X
- **Tr. Y** : Attributo sul verso dello spostamento impedito dal vincolo unilatero lungo la direzione Y
- **Tr. Z** : Attributo sul verso dello spostamento impedito dal vincolo unilatero lungo la direzione Z
- **Rot.X** : Attributo sul verso della rotazione impedita dal vincolo unilatero lungo l'asse vettore X
- **Rot.Y** : Attributo sul verso della rotazione impedita dal vincolo unilatero lungo l'asse vettore Y
- **Rot.Z** : Attributo sul verso della rotazione impedita dal vincolo unilatero lungo l'asse vettore Z

Gli attributi sul verso degli spostamenti e delle rotazioni possono assumere i seguenti valori:

- 1** = Impedisce gli spostamenti sia positivi che negativi
- 3** = Impedisce solo gli spostamenti positivi
- 5** = Impedisce solo gli spostamenti negativi

- SPECIFICHE CAMPI TABELLA DI STAMPA**

Si riporta appresso la spiegazione delle sigle usate nelle tabelle carichi termici aste, carichi distribuiti aste, carichi concentrati, carichi termici shell e carichi shell.

#### CARICHI ASTE

- **Asta3d** : Numero dell'asta spaziale
- **Dt** : Delta termico costante
- **ALISISMICA** : Coefficiente di riduzione del sovraccarico per la condizione in stampa ai fini del calcolo della massa sismica
- **Riferimento** : Sistema di riferimento dei carichi (0 globale ; 1 locale)
- **Qx** : Carico distribuito in direzione X sul nodo iniziale
- **Qy** : Carico distribuito in direzione Y sul nodo iniziale
- **Qz** : Carico distribuito in direzione Z sul nodo iniziale
- **Qx** : Carico distribuito in direzione X sul nodo finale
- **Qy** : Carico distribuito in direzione Y sul nodo finale
- **Qz** : Carico distribuito in direzione Z sul nodo finale
- **Mt** : Momento torcente distribuito

#### CARICHI CONCENTRATI

- **Nodo3d** : Numero del nodo spaziale
- **Fx** : Forza in direzione X nel sistema di riferimento globale
- **Fy** : Forza in direzione Y nel sistema di riferimento globale
- **Fz** : Forza in direzione Z nel sistema di riferimento globale
- **Mx** : Momento in direzione X nel sistema di riferimento globale
- **My** : Momento in direzione Y nel sistema di riferimento globale
- **Mz** : Momento in direzione Z nel sistema di riferimento globale

#### CARICHI SHELL

- **Shell** : Numero dello shell spaziale
- **Dt** : Delta termico costante
- **Riferimento** : Sistema di riferimento delle pressioni e dei carichi distribuiti; verticale è la direzione dell'asse Z del sistema di riferimento globale, normale è la direzione ortogonale all'elemento per le pressioni e ortogonale al lato per i carichi distribuiti. Codici:

0 = pressione verticale e carico normale  
 1 = pressione normale e carico verticale  
 2 = pressione normale e carico normale  
 3 = pressione verticale e carico verticale

- **P.a** : Pressione sul primo vertice dello shell
- **P.b** : Pressione sul secondo vertice dello shell
- **P.c** : Pressione sul terzo vertice dello shell
- **P.d** : Pressione sul quarto vertice dello shell
- **Q.ab** : Carico distribuito sul lato ab
- **Q.bc** : Carico distribuito sul lato bc
- **Q.cd** : Carico distribuito sul lato cd
- **Q.da** : Carico distribuito sul lato da

#### CARICHI RIPARTITORI SHELL

- **Shell** : Numero dello shell spaziale

- **Riferimento** : Sistema di riferimento delle forze concentrate agenti sulla impronta di carico. La forza Fz e' comunque sempre rivolta lungo l'asse Z globale (direzione verticale). Codici:
  - 0 = Sistema di Riferimento locale dello shell
  - 1 = Sistema di Riferimento globale
- **Fx** : Forza complessiva sulla impronta di dir.X (loc/glob)
- **Fy** : Forza complessiva sulla impronta di dir.Y (loc/glob)
- **Fz** : Forza complessiva sulla impronta di dir.Z (glob)

- **SPECIFICHE CAMPI TABELLA DI STAMPA**

Si riporta di seguito la spiegazione delle sigle usate nella tabella di stampa della composizione degli elementi bidimensionali e la numerazione dei vertici dei microelementi in cui questi vengono suddivisi.

**Macro N.ro** : *Numero identificativo del macroelemento definito in fase di input*

**Col.1/2/3/4/5/6** : *Numero del microelemento in cui viene suddiviso il macroelemento in fase di calcolo*

**Micro N.ro** : *Numero identificativo del microelemento*

**Macro N.ro** : *Numero identificativo del macroelemento a cui appartiene il microelemento*

**Vert.1** : *Numero del primo vertice del microelemento*

**Vert.2** : *Numero del secondo vertice del microelemento*

**Vert.3** : *Numero del terzo vertice del microelemento*

**Vert.4** : *Numero del quarto vertice del microelemento*

**ARCHIVIO SEZIONI IN ACCIAIO / LEGNO / PREFABBRICATE**

TUBI A SEZIONE TONDA					TUBI A SEZIONE TONDA				
Sez. N.ro	Descrizione	d mm	s mm	Mat. N.ro	Sez. N.ro	Descrizione	d mm	s mm	Mat. N.ro
1076	tubolare 88,9mm	88.9	6.0	1					

**ARCHIVIO SEZIONI IN ACCIAIO / LEGNO / PREFABBRICATE**

TUBI A SEZIONE RETTANGOLARE					
Sez. N.ro	Descrizione	h mm	b mm	s mm	Mat. N.ro
1077	scatolare 80x40	80.0	40.0	4.0	1
1078	scatolare 40x40	40.0	40.0	3.0	1

**ARCHIVIO SEZIONI IN ACCIAIO / LEGNO / PREFABBRICATE**

## CARATTERISTICHE STATICHE DEI PROFILI

Sez. N.ro	U m <sup>2</sup> /m	P kg/m	A cm <sup>q</sup>	Ax cm <sup>q</sup>	Ay cm <sup>q</sup>	Jx cm <sup>4</sup>	Jy cm <sup>4</sup>	Jt cm <sup>4</sup>	Wx cm <sup>3</sup>	Wy cm <sup>3</sup>	Wt cm <sup>3</sup>	ix cm	iy cm	sver 1/cm
1076	0.28	12.3	15.63	7.84	7.84	134.9	134.9	269.9	30.36	30.36	60.71	2.94	2.94	0.00
1077	0.22	6.9	8.82	2.76	5.09	69.9	22.9	54.2	17.48	11.47	21.81	2.82	1.61	0.00
1078	0.14	3.4	4.36	2.01	2.01	10.1	10.1	15.4	5.05	5.05	8.19	1.52	1.52	0.00

**ARCHIVIO SEZIONI IN ACCIAIO / LEGNO / PREFABBRICATE**

## DATI PER VERIFICHE EUROCODICE

Sez. N.ro	Descrizione	Wx Plastic cm <sup>3</sup>	Wy Plastic cm <sup>3</sup>	Wt Plastic cm <sup>3</sup>	Ax Plastic cm <sup>2</sup>	Ay Plastic cm <sup>2</sup>	Iw cm <sup>6</sup>
1076	tubolare 88,9mm	41.31	41.31	60.71	9.95	9.95	0.0
1077	scatolare 80x40	21.99	13.31	21.81	2.94	5.88	0.0
1078	scatolare 40x40	6.02	6.02	8.19	2.18	2.18	0.0

**ARCHIVIO SEZIONI IN ACCIAIO**

## CARATTERISTICHE MATERIALE

Mat. N.ro	E kg/cm <sup>q</sup>	G kg/cm <sup>q</sup>	lambda max	Tipo Acciaio	Verifica	Gamma kg/mc	Lung/ SpLim	Tipo Profilat.
1	2100000	850000	250.0	S235	Completa	7850	150	a Freddo

**ARCHIVIO MATERIALI PIASTRE: MATRICE ELASTICA**

Materiale N.ro	Densita' kg/mc	Ex/1E3 kg/cmq	Ni.x	Alfa.x (*1E5)	Ey/1E3 kg/cmq	Ni.y	Alfa.y (*1E5)	E11/1E3 kg/cmq	E12/1E3 kg/cmq	E13/1E3 kg/cmq	E22/1E3 kg/cmq	E23/1E3 kg/cmq	E33/1E3 kg/cmq
1	2500	315	0.20	1.00	315	0.20	1.00	328	66	0	328	0	131
2	1900	30	0.25	1.00	30	0.25	1.00	32	8	0	32	0	12
3	1900	25	0.25	1.00	25	0.25	1.00	27	7	0	27	0	10
4	1700	30	0.25	1.00	30	0.25	1.00	32	8	0	32	0	12
5	1700	30	0.25	1.00	30	0.25	1.00	32	8	0	32	0	12
6	1900	5	0.25	1.00	5	0.25	1.00	5	1	0	5	0	2
7	1900	20	0.25	1.00	20	0.25	1.00	21	5	0	21	0	8
8	1900	15	0.25	1.00	15	0.25	1.00	16	4	0	16	0	6
9	1900	5	0.25	1.00	5	0.25	1.00	5	1	0	5	0	2
10	1900	20	0.25	1.00	20	0.25	1.00	21	5	0	21	0	8
11	1900	15	0.25	1.00	15	0.25	1.00	16	4	0	16	0	6
12	1800	25	0.25	1.00	25	0.25	1.00	27	7	0	27	0	10
13	1900	50	0.25	1.00	50	0.25	1.00	53	13	0	53	0	20
14	1800	50	0.25	1.00	50	0.25	1.00	53	13	0	53	0	20
15	1900	50	0.25	1.00	50	0.25	1.00	53	13	0	53	0	20
16	1900	30	0.25	1.00	30	0.25	1.00	32	8	0	32	0	12
17	1900	30	0.25	1.00	30	0.25	1.00	32	8	0	32	0	12

**CRITERI DI PROGETTO**

IDENTIF.		CARATTERISTICHE DEL MATERIALE							DURABILITA'				CARATTER.COSTRUTTIVE				FLAG	
Crit N.ro	Elem.	% Rig Tors.	% Rig Fless	Classe CLS	Classe Acciaio	Mod. El kg/cmq	Pois son	Gamma kg/mc	Tipo Ambiente	Tipo Armatura	Toll. Copr. Copr.	Copr staf	Copr ferr	Fi min	Fi st	Lun sta	Li n	App esi
1	ELEV.	60	100	C25/30	B450C	314758	0.20	2500	ORDIN. X0	POCO SENS.	0.00	2.0	3.5	14	8	60	0	0
3	PILAS	60	100	C25/30	B450C	314758	0.20	2500	ORDIN. X0	POCO SENS.	0.00	2.0	3.5	14	8	50	0	0

**CRITERI DI PROGETTO**

CRITERI PER IL CALCOLO AGLI STATI LIMITE ULTIMI E DI ESERCIZIO																								
Cri Nro	Tipo Elem	fck	fcd	rcd	fyk	ftk	fyd	Ey	ec0	ecu	eyu	At/ Ac	Mt/ Mt	Wra/ mm	Wfr/ mm	Wpe/ mm	ccRar --- kg/cmq ---	ccPer --- kg/cmq ---	ccRar --- kg/cmq ---	Spo Rar	Spo Fre	Spo Per	Coe Vis	euk
1	ELEV.	250.0	141.0	141.0	4500	4500	3913	2100000	0.20	0.35	1.00	50	10	0.4	0.3	150.0	112.0	3600				2.0	0.08	
3	PILAS	250.0	141.0	141.0	4500	4500	3913	2100000	0.20	0.35	1.00	50	10	0.4	0.3	150.0	112.0	3600				2.0	0.08	

Studio Tecnico Dott. Ing. V. Ripamonti

SOFTWARE: C.D.S. - Full - Rel.2022 - Lic. Nro: 3585

MATERIALI SHELL IN C.A.										COPRIFERRO	
IDENT	%	CARATTERISTICHE					DURABILITA'			COPRIFERRO	
Mat. N.ro	Rig Fls	Classe CLS	Classe Acciaio	Mod. E kg/cmq	Poisson	Gamma kg/mc	Tipo Ambiente	Tipo Armatura	Toll. Copr.	Setti (cm)	Piastre (cm)
1	100	C25/30	B450C	314758	0.20	2500	XC2/XC3	POCO SENS.	0.00	3.0	3.0

MATERIALI SHELL IN C.A.														CRITERI PER IL CALCOLO AGLI STATI LIMITE ULTIMI E DI ESERCIZIO										
Cri Nro	Tipo Elem	fck	fcd	rcd	fyk	ftk	fyd	Ey	ec0	ecu	eyu	At/Ac	Mt/Mtu	Wra/mm	Wfr/mm	Wpe/mm	σcRar --- kg/cmq ---	σcPer --- kg/cmq ---	σfRar	Spo Rar	Spo Fre	Spo Per	Coe Vis	euk
1	SETTI	250.0	141.0	141.0	4500	4500	3913	2100000	0.20	0.35	1.00	50		0.4	0.3	150.0	112.0	3600						

CRITERI DI PROGETTO GEOTECNICI - FONDAZIONI SUPERFICIALI E SU PALI											
IDEN	CARATTER. MECCANICHE			IDEN	CARATTER. MECCANICHE			IDEN	CARATTER. MECCANICHE		
Crit N.ro	KwVert. kg/cmc	KwOriz. kg/cmc	Qlim. kg/cmq	Crit N.ro	KwVert. kg/cmc	KwOriz. kg/cmc	Qlim. kg/cmq	Crit N.ro	KwVert. kg/cmc	KwOriz. kg/cmc	Qlim. kg/cmq
1	15.00	0.00	Trz/Cmp	2	10.00	0.00	Trz/Cmp				

DATI GENERALI DI STRUTTURA											
DATI GENERALI DI STRUTTURA						PARAMETRI SISMICI					
Massima dimens. dir. X (m)			3.49			Altezza edificio (m)			3.06		
Massima dimens. dir. Y (m)			1.54			Differenza temperatura(°C)			15		
Vita Nominale (Anni)			50			Classe d' Uso			II Cu=1.0		
Longitudine Est (Grd)			7.29151			Latitudine Nord (Grd)			44.81052		
Categoria Suolo			B			Coeff. Condiz. Topogr.			1.00000		
Sistema Costruttivo Dir.1			Acciaio			Sistema Costruttivo Dir.2			Acciaio		
Regolarita' in Altezza			NO(KR=.8)			Regolarita' in Pianta			NO		
Direzione Sisma (Grd)			0			Sisma Verticale			ASSENTE		
Effetti P/Delta			NO			Quota di Zero Sismico (m)			0.00000		
PARAMETRI SPETTRO ELASTICO - SISMA S.L.D.											
Probabilita' Pvr			0.63			Periodo di Ritorno Anni			50.00		
Accelerazione Ag/g			0.05			Periodo T'c (sec.)			0.23		
Fo			2.43			Fv			0.75		
Fattore Stratigrafia'Ss'			1.20			Periodo TB (sec.)			0.11		
Periodo TC (sec.)			0.34			Periodo TD (sec.)			1.81		
PARAMETRI SPETTRO ELASTICO - SISMA S.L.V.											
Probabilita' Pvr			0.10			Periodo di Ritorno Anni			475.00		
Accelerazione Ag/g			0.13			Periodo T'c (sec.)			0.26		
Fo			2.47			Fv			1.22		
Fattore Stratigrafia'Ss'			1.20			Periodo TB (sec.)			0.13		
Periodo TC (sec.)			0.38			Periodo TD (sec.)			2.13		
PARAMETRI SISTEMA COSTRUTTIVO ACCIAIO - D I R. 1											
Classe Duttilita'			NON dissip.			Sotto-Sistema Strutturale			Intelaiat		
AlfaU/Alfa1			1.10			Fattore di comportam 'q'			1.50		
PARAMETRI SISTEMA COSTRUTTIVO ACCIAIO - D I R. 2											
Classe Duttilita'			NON dissip.			Sotto-Sistema Strutturale			Intelaiat		
AlfaU/Alfa1			1.10			Fattore di comportam 'q'			1.50		
COEFFICIENTI DI SICUREZZA PARZIALI DEI MATERIALI											
Acciaio per carpenteria			1.05			Verif.Instabilita' acciaio:			1.05		
Acciaio per CLS armato			1.15			Calcestruzzo CLS armato			1.50		
Legno per comb. eccez.			1.00			Legno per comb. fondament.:			1.30		
Livello conoscenza											
FRP Collasso Tipo 'A'			1.10			FRP Delaminazione Tipo 'A'			1.20		
FRP Collasso Tipo 'B'			1.25			FRP Delaminazione Tipo 'B'			1.50		
FRP Resist. Press/Fless			1.00			FRP Resist. Taglio/Torsione			1.20		

## COORDINATE DEI NODI

IDENT.	POSIZIONE NODO			ATTRIBUTI		PESO SISMICO		
Nodo3d N.ro	Coord.X (m)	Coord.Y (m)	Coord.Z (m)	Filo N.ro	Piano Sism.	Dir. X (t)	Dir. Y (t)	Dir. Z (t)
1	0.00	0.00	0.00	1	0	0.00	0.00	0.12
2	3.09	0.00	0.00	3	0	0.00	0.00	0.12
3	0.00	1.34	0.00	2	0	0.00	0.00	0.16
4	3.09	1.34	0.00	4	0	0.00	0.00	0.16
5	3.29	1.34	0.00	39	0	0.00	0.00	0.03
6	3.29	1.54	0.00	40	0	0.00	0.00	0.01
7	3.09	1.54	0.00	38	0	0.00	0.00	0.04
8	0.00	1.54	0.00	37	0	0.00	0.00	0.04
9	-0.20	1.34	0.00	43	0	0.00	0.00	0.03
10	-0.20	1.54	0.00	44	0	0.00	0.00	0.01
11	3.29	0.00	0.00	41	0	0.00	0.00	0.03
12	-0.20	0.00	0.00	45	0	0.00	0.00	0.03
13	0.00	1.34	0.58	2	0	0.03	0.03	0.03
14	3.09	1.34	0.58	4	0	0.03	0.03	0.03
15	1.03	1.34	0.58	6	0	0.03	0.03	0.03
16	2.06	1.34	0.58	8	0	0.03	0.03	0.03
17	0.00	1.34	2.33	2	0	0.04	0.04	0.04
18	3.09	1.34	2.33	4	0	0.04	0.04	0.04
19	1.03	1.34	2.33	6	0	0.03	0.03	0.03
20	2.06	1.34	2.33	8	0	0.03	0.03	0.03
21	0.00	0.00	2.33	1	0	0.03	0.03	0.03
22	3.09	0.00	2.33	3	0	0.03	0.03	0.03
23	0.00	0.05	2.64	13	0	0.01	0.01	0.01
24	0.00	1.29	2.64	9	0	0.01	0.01	0.01
25	0.00	0.21	2.88	17	0	0.01	0.01	0.01
26	0.00	0.44	3.02	25	0	0.01	0.01	0.01
27	0.00	1.13	2.88	21	0	0.01	0.01	0.01
28	0.00	0.67	3.06	33	0	0.01	0.01	0.01
29	0.00	0.90	3.02	29	0	0.01	0.01	0.01
30	3.09	0.05	2.64	14	0	0.01	0.01	0.01
31	3.09	1.29	2.64	10	0	0.01	0.01	0.01
32	3.09	0.21	2.88	18	0	0.01	0.01	0.01
33	3.09	0.44	3.02	26	0	0.01	0.01	0.01
34	3.09	1.13	2.88	22	0	0.01	0.01	0.01
35	3.09	0.67	3.06	34	0	0.01	0.01	0.01
36	3.09	0.90	3.02	30	0	0.01	0.01	0.01

## DATI ASTE SPAZIALI

IDENTIFICAZIONE								GEOMETRIA				SCOST. INIZIALI			SCOST. FINALI				
Asta3d N.ro	Filo in.	Filo fin.	Q.iniz. (m)	Q.fin. (m)	Nod3d iniz.	Nod3d fin.	Cr. Pr.	Sez. N.ro	Sigla Sezione	Magr. (cm)	Rot. Grd	dx (cm)	dy (cm)	dz (cm)	dx (cm)	dy (cm)	dz (cm)	Cri Geo	Tipo Elemento ai fini sism.
1	2	2	0.58	0.00	13	3	101	1076	tubolare 88,9mm	0	0	0	0	0	0	0	0	NoGerarchia Acciaio	
2	4	4	0.58	0.00	14	4	101	1076	tubolare 88,9mm	0	0	0	0	0	0	0	0	NoGerarchia Acciaio	
3	2	6	0.58	0.58	13	15	101	1077	scatolare 80x40	0	0	0	0	0	0	0	0	NoGerarchia Acciaio	
4	6	8	0.58	0.58	15	16	101	1077	scatolare 80x40	0	0	0	0	0	0	0	0	NoGerarchia Acciaio	
5	8	4	0.58	0.58	16	14	101	1077	scatolare 80x40	0	0	0	0	0	0	0	0	NoGerarchia Acciaio	
6	2	6	2.33	2.33	17	19	101	1077	scatolare 80x40	0	0	0	0	0	0	0	0	NoGerarchia Acciaio	
7	6	8	2.33	2.33	19	20	101	1077	scatolare 80x40	0	0	0	0	0	0	0	0	NoGerarchia Acciaio	
8	8	4	2.33	2.33	20	18	101	1077	scatolare 80x40	0	0	0	0	0	0	0	0	NoGerarchia Acciaio	
9	1	2	2.33	2.33	21	17	101	1077	scatolare 80x40	0	0	0	0	0	0	0	0	NoGerarchia Acciaio	
10	3	4	2.33	2.33	22	18	101	1077	scatolare 80x40	0	0	0	0	0	0	0	0	NoGerarchia Acciaio	
11	1	3	2.33	2.33	21	22	101	1077	scatolare 80x40	0	0	0	0	0	0	0	0	NoGerarchia Acciaio	
12	1	13	2.33	2.64	21	23	101	1076	tubolare 88,9mm	0	0	0	0	0	0	0	0	NoGerarchia Acciaio	
13	9	2	2.64	2.33	24	17	101	1076	tubolare 88,9mm	0	0	0	0	0	0	0	0	NoGerarchia Acciaio	
14	13	17	2.64	2.88	23	25	101	1076	tubolare 88,9mm	0	0	0	0	0	0	0	0	NoGerarchia Acciaio	
15	17	25	2.88	3.02	25	26	101	1076	tubolare 88,9mm	0	0	0	0	0	0	0	0	NoGerarchia Acciaio	
16	21	9	2.88	2.64	27	24	101	1076	tubolare 88,9mm	0	0	0	0	0	0	0	0	NoGerarchia Acciaio	

DATI ASTE SPAZIALI													SCOST. INIZIALI			SCOST. FINALI				
IDENTIFICAZIONE								GEOMETRIA			SCOST. INIZIALI			SCOST. FINALI						
Asta3d N.ro	Filo in.	Filo fin.	Q.iniz. (m)	Q.fin. (m)	Nod3d iniz.	Nod3d fin.	Cr. Pr.	Sez. N.ro	Sigla Sezione	Magr. (cm)	Rot. Grd	dx (cm)	dy (cm)	dz (cm)	dx (cm)	dy (cm)	dz (cm)	Cri Geo	Tipo Elemento ai fini sism.	
17	25	33	3.02	3.06	26	28	101	1076	tubolare 88,9mm	0	0	0	0	0	0	0	0	NoGerarchia Acciaio		
18	29	21	3.02	2.88	29	27	101	1076	tubolare 88,9mm	0	0	0	0	0	0	0	0	NoGerarchia Acciaio		
19	33	29	3.06	3.02	28	29	101	1076	tubolare 88,9mm	0	0	0	0	0	0	0	0	NoGerarchia Acciaio		
20	3	14	2.33	2.64	22	30	101	1076	tubolare 88,9mm	0	0	0	0	0	0	0	0	NoGerarchia Acciaio		
21	10	4	2.64	2.33	31	18	101	1076	tubolare 88,9mm	0	0	0	0	0	0	0	0	NoGerarchia Acciaio		
22	14	18	2.64	2.88	30	32	101	1076	tubolare 88,9mm	0	0	0	0	0	0	0	0	NoGerarchia Acciaio		
23	18	26	2.88	3.02	32	33	101	1076	tubolare 88,9mm	0	0	0	0	0	0	0	0	NoGerarchia Acciaio		
24	22	10	2.88	2.64	34	31	101	1076	tubolare 88,9mm	0	0	0	0	0	0	0	0	NoGerarchia Acciaio		
25	26	34	3.02	3.06	33	35	101	1076	tubolare 88,9mm	0	0	0	0	0	0	0	0	NoGerarchia Acciaio		
26	30	22	3.02	2.88	36	34	101	1076	tubolare 88,9mm	0	0	0	0	0	0	0	0	NoGerarchia Acciaio		
27	34	30	3.06	3.02	35	36	101	1076	tubolare 88,9mm	0	0	0	0	0	0	0	0	NoGerarchia Acciaio		
28	2	2	2.33	0.58	17	13	3	1076	tubolare 88,9mm	0	0	0	0	0	0	0	0	NoGerarchia Acciaio		
29	4	4	2.33	0.58	18	14	3	1076	tubolare 88,9mm	0	0	0	0	0	0	0	0	NoGerarchia Acciaio		
30	8	8	2.33	0.58	20	16	3	1078	scatolare 40x40	0	0	0	0	0	0	0	0	NoGerarchia Acciaio		
31	6	6	2.33	0.58	19	15	3	1078	scatolare 40x40	0	0	0	0	0	0	0	0	NoGerarchia Acciaio		

DATI SHELL SPAZIALI													CARATTERISTICHE SEZIONE					SUDDIVIS.
IDENTIFICAZIONE								CARATTERISTICHE SEZIONE										
Shell N.ro	Filo 1	Filo 2	Filo 3	Filo 4	Quota1 (m)	Quota2 (m)	Quota3 (m)	Quota4 (m)	Nod3d 1	Nod3d 2	Nod3d 3	Nod3d 4	Sez. N.ro	Spess. (cm)	Kwinkl kg/cmc	Tipo Mat.	MeshX	MeshY
1	1	3	4	2	0.00	0.00	0.00	0.00	1	2	4	3	1	25.0	10.00	1	4	2
2	39	40	38	4	0.00	0.00	0.00	0.00	5	6	7	4	1	25.0	10.00	1	1	1
3	2	37	44	43	0.00	0.00	0.00	0.00	3	8	10	9	1	25.0	10.00	1	1	1
4	2	4	38	37	0.00	0.00	0.00	0.00	3	4	7	8	1	25.0	10.00	1	4	1
5	3	41	39	4	0.00	0.00	0.00	0.00	2	11	5	4	1	25.0	10.00	1	1	2
6	45	1	2	43	0.00	0.00	0.00	0.00	12	1	3	9	1	25.0	10.00	1	1	2

VINCOLI E CEDIMENTI NODALI																			
IDENTIFIC.		RIGIDEZZE TRASLANTI			RIGIDEZZE ROTAZIONALI			SCOSTAMENTI					VERSO SPOSTAMENTI UNILATERI						
Nodo3d N.ro	Cod. ice	Tx t/m	Ty t/m	Tz t/m	Rx t*m	Ry t*m	Rz t*m	Tr.X cm	Tr.Y cm	Tr.Z cm	Azim Grd	CoZe Grd	Ass. Grd	Tr.X	Tr.Y	Tr.Z	RotX	RotY	RotZ
1	W	-1	-1	0	0	0	-1	0	0	0	0	0	0	0	0	0	0	0	
2	W	-1	-1	0	0	0	-1	0	0	0	0	0	0	0	0	0	0	0	
3	W	-1	-1	0	0	0	-1	0	0	0	0	0	0	0	0	0	0	0	
4	W	-1	-1	0	0	0	-1	0	0	0	0	0	0	0	0	0	0	0	
5	W	-1	-1	0	0	0	-1	0	0	0	0	0	0	0	0	0	0	0	
6	W	-1	-1	0	0	0	-1	0	0	0	0	0	0	0	0	0	0	0	
7	W	-1	-1	0	0	0	-1	0	0	0	0	0	0	0	0	0	0	0	
8	W	-1	-1	0	0	0	-1	0	0	0	0	0	0	0	0	0	0	0	
9	W	-1	-1	0	0	0	-1	0	0	0	0	0	0	0	0	0	0	0	
10	W	-1	-1	0	0	0	-1	0	0	0	0	0	0	0	0	0	0	0	
11	W	-1	-1	0	0	0	-1	0	0	0	0	0	0	0	0	0	0	0	
12	W	-1	-1	0	0	0	-1	0	0	0	0	0	0	0	0	0	0	0	

CARICHI DISTRIBUITI ASTE																			
CONDIZIONE DI CARICO N.ro: 1								ALIQUOTA SISMICA: 100											
IDENT.		NODO INIZIALE						NODO FINALE											
Asta3d N.ro	Riferimento	Qx t/ml	Qy t/ml	Qz t/ml					Qx t/ml	Qy t/ml	Qz t/ml			Mt t*m/ml	Pretens t				
12	0	0.000	0.000	-0.015					0.000	0.000	-0.015			0.000	0.000				
13	0	0.000	0.000	-0.015					0.000	0.000	-0.015			0.000	0.000				
14	0	0.000	0.000	-0.015					0.000	0.000	-0.015			0.000	0.000				
15	0	0.000	0.000	-0.015					0.000	0.000	-0.015			0.000	0.000				
16	0	0.000	0.000	-0.015					0.000	0.000	-0.015			0.000	0.000				
17	0	0.000	0.000	-0.015					0.000	0.000	-0.015			0.000	0.000				
18	0	0.000	0.000	-0.015					0.000	0.000	-0.015			0.000	0.000				
19	0	0.000	0.000	-0.015					0.000	0.000	-0.015			0.000	0.000				
20	0	0.000	0.000	-0.015					0.000	0.000	-0.015			0.000	0.000				
21	0	0.000	0.000	-0.015					0.000	0.000	-0.015			0.000	0.000				
22	0	0.000	0.000	-0.015					0.000	0.000	-0.015			0.000	0.000				
23</td																			

Asta3d N.ro	Riferi mento	Qx t/ml	Qy t/ml	Qz t/ml	Qx t/ml	Qy t/ml	Qz t/ml	Mt t*m/ml	Pretens t
3	0	0.000	0.000	-0.015	0.000	0.000	-0.015	0.000	0.00
4	0	0.000	0.000	-0.015	0.000	0.000	-0.015	0.000	0.00
5	0	0.000	0.000	-0.015	0.000	0.000	-0.015	0.000	0.00
6	0	0.000	0.000	-0.015	0.000	0.000	-0.015	0.000	0.00
7	0	0.000	0.000	-0.015	0.000	0.000	-0.015	0.000	0.00
8	0	0.000	0.000	-0.015	0.000	0.000	-0.015	0.000	0.00
9	0	0.000	0.000	-0.015	0.000	0.000	-0.015	0.000	0.00
10	0	0.000	0.000	-0.015	0.000	0.000	-0.015	0.000	0.00
12	0	0.000	0.000	-0.015	0.000	0.000	-0.015	0.000	0.00
13	0	0.000	0.000	-0.015	0.000	0.000	-0.015	0.000	0.00
14	0	0.000	0.000	-0.015	0.000	0.000	-0.015	0.000	0.00
15	0	0.000	0.000	-0.015	0.000	0.000	-0.015	0.000	0.00
16	0	0.000	0.000	-0.015	0.000	0.000	-0.015	0.000	0.00
17	0	0.000	0.000	-0.015	0.000	0.000	-0.015	0.000	0.00
18	0	0.000	0.000	-0.015	0.000	0.000	-0.015	0.000	0.00
19	0	0.000	0.000	-0.015	0.000	0.000	-0.015	0.000	0.00
20	0	0.000	0.000	-0.015	0.000	0.000	-0.015	0.000	0.00
21	0	0.000	0.000	-0.015	0.000	0.000	-0.015	0.000	0.00
22	0	0.000	0.000	-0.015	0.000	0.000	-0.015	0.000	0.00
23	0	0.000	0.000	-0.015	0.000	0.000	-0.015	0.000	0.00
24	0	0.000	0.000	-0.015	0.000	0.000	-0.015	0.000	0.00
25	0	0.000	0.000	-0.015	0.000	0.000	-0.015	0.000	0.00
26	0	0.000	0.000	-0.015	0.000	0.000	-0.015	0.000	0.00
27	0	0.000	0.000	-0.015	0.000	0.000	-0.015	0.000	0.00

**CARICHI DISTRIBUITI ASTE**

CONDIZIONE DI CARICO N.ro: 4

ALIQUOTA SISMICA: 80

IDENT.	NODO INIZIALE				NODO FINALE				Mt t*m/ml	Pretens t
	Asta3d N.ro	Riferi mento	Qx t/ml	Qy t/ml	Qz t/ml	Qx t/ml	Qy t/ml	Qz t/ml		
12	0	0.000	0.000	-0.002	0.000	0.000	-0.002	0.000	0.00	0.00
13	0	0.000	0.000	-0.002	0.000	0.000	-0.002	0.000	0.00	0.00
20	0	0.000	0.000	-0.002	0.000	0.000	-0.002	0.000	0.00	0.00
21	0	0.000	0.000	-0.002	0.000	0.000	-0.002	0.000	0.00	0.00

**CARICHI DISTRIBUITI ASTE**

CONDIZIONE DI CARICO N.ro: 5

ALIQUOTA SISMICA: 0

IDENT.	NODO INIZIALE				NODO FINALE				Mt t*m/ml	Pretens t
	Asta3d N.ro	Riferi mento	Qx t/ml	Qy t/ml	Qz t/ml	Qx t/ml	Qy t/ml	Qz t/ml		
17	0	0.000	0.000	-0.243	0.000	0.000	-0.243	0.000	0.00	0.00
19	0	0.000	0.000	-0.243	0.000	0.000	-0.243	0.000	0.00	0.00
25	0	0.000	0.000	-0.243	0.000	0.000	-0.243	0.000	0.00	0.00
27	0	0.000	0.000	-0.243	0.000	0.000	-0.243	0.000	0.00	0.00

**CARICHI DISTRIBUITI ASTE**

CONDIZIONE DI CARICO N.ro: 7

ALIQUOTA SISMICA: 0

IDENT.	NODO INIZIALE				NODO FINALE				Mt t*m/ml	Pretens t
	Asta3d N.ro	Riferi mento	Qx t/ml	Qy t/ml	Qz t/ml	Qx t/ml	Qy t/ml	Qz t/ml		
12	1	0.000	0.000	0.062	0.000	0.000	0.062	0.000	0.00	0.00
13	1	0.000	0.000	-0.186	0.000	0.000	-0.186	0.000	0.00	0.00
14	1	0.000	0.000	0.062	0.000	0.000	0.062	0.000	0.00	0.00
15	1	0.000	0.000	0.062	0.000	0.000	0.062	0.000	0.00	0.00
16	1	0.000	0.000	-0.186	0.000	0.000	-0.186	0.000	0.00	0.00
17	1	0.000	0.000	0.062	0.000	0.000	0.062	0.000	0.00	0.00
18	1	0.000	0.000	-0.186	0.000	0.000	-0.186	0.000	0.00	0.00

CARICHI DISTRIBUITI ASTE									
CONDIZIONE DI CARICO N.ro: 7					ALIQUOTA SISMICA: 0				
IDENT.		NODO INIZIALE			NODO FINALE				
Asta3d N.ro	Riferimento	Qx t/ml	Qy t/ml	Qz t/ml	Qx t/ml	Qy t/ml	Qz t/ml	Mt t*m/ml	Pretens t
19	1	0.000	0.000	-0.186	0.000	0.000	-0.186	0.000	0.00
20	1	0.000	0.000	0.062	0.000	0.000	0.062	0.000	0.00
21	1	0.000	0.000	-0.186	0.000	0.000	-0.186	0.000	0.00
22	1	0.000	0.000	0.062	0.000	0.000	0.062	0.000	0.00
23	1	0.000	0.000	0.062	0.000	0.000	0.062	0.000	0.00
24	1	0.000	0.000	-0.186	0.000	0.000	-0.186	0.000	0.00
25	1	0.000	0.000	0.062	0.000	0.000	0.062	0.000	0.00
26	1	0.000	0.000	-0.186	0.000	0.000	-0.186	0.000	0.00
27	1	0.000	0.000	-0.186	0.000	0.000	-0.186	0.000	0.00
28	0	0.000	-0.032	0.000	0.000	-0.032	0.000	0.000	0.00
29	0	0.000	-0.032	0.000	0.000	-0.032	0.000	0.000	0.00
30	0	0.000	-0.052	0.000	0.000	-0.052	0.000	0.000	0.00
31	0	0.000	-0.052	0.000	0.000	-0.052	0.000	0.000	0.00

CARICHI DISTRIBUITI ASTE									
CONDIZIONE DI CARICO N.ro: 8					ALIQUOTA SISMICA: 0				
IDENT.		NODO INIZIALE			NODO FINALE				
Asta3d N.ro	Riferimento	Qx t/ml	Qy t/ml	Qz t/ml	Qx t/ml	Qy t/ml	Qz t/ml	Mt t*m/ml	Pretens t
12	1	0.000	0.000	-0.186	0.000	0.000	-0.186	0.000	0.00
13	1	0.000	0.000	0.062	0.000	0.000	0.062	0.000	0.00
14	1	0.000	0.000	-0.186	0.000	0.000	-0.186	0.000	0.00
15	1	0.000	0.000	-0.186	0.000	0.000	-0.186	0.000	0.00
16	1	0.000	0.000	0.062	0.000	0.000	0.062	0.000	0.00
17	1	0.000	0.000	-0.186	0.000	0.000	-0.186	0.000	0.00
18	1	0.000	0.000	0.062	0.000	0.000	0.062	0.000	0.00
19	1	0.000	0.000	0.062	0.000	0.000	0.062	0.000	0.00
20	1	0.000	0.000	-0.186	0.000	0.000	-0.186	0.000	0.00
21	1	0.000	0.000	0.062	0.000	0.000	0.062	0.000	0.00
22	1	0.000	0.000	-0.186	0.000	0.000	-0.186	0.000	0.00
23	1	0.000	0.000	-0.186	0.000	0.000	-0.186	0.000	0.00
24	1	0.000	0.000	0.062	0.000	0.000	0.062	0.000	0.00
25	1	0.000	0.000	-0.186	0.000	0.000	-0.186	0.000	0.00
26	1	0.000	0.000	0.062	0.000	0.000	0.062	0.000	0.00
27	1	0.000	0.000	0.062	0.000	0.000	0.062	0.000	0.00
28	0	0.000	0.032	0.000	0.000	0.032	0.000	0.000	0.00
29	0	0.000	0.032	0.000	0.000	0.032	0.000	0.000	0.00
30	0	0.000	0.052	0.000	0.000	0.052	0.000	0.000	0.00
31	0	0.000	0.052	0.000	0.000	0.052	0.000	0.000	0.00

CARICHI DISTRIBUITI ASTE									
CONDIZIONE DI CARICO N.ro: 9					ALIQUOTA SISMICA: 0				
IDENT.		NODO INIZIALE			NODO FINALE				
Asta3d N.ro	Riferimento	Qx t/ml	Qy t/ml	Qz t/ml	Qx t/ml	Qy t/ml	Qz t/ml	Mt t*m/ml	Pretens t
9	0	0.031	0.000	0.000	0.031	0.000	0.000	0.000	0.00
12	0	0.031	0.000	0.000	0.031	0.000	0.000	0.000	0.00
13	0	0.031	0.000	0.000	0.031	0.000	0.000	0.000	0.00
14	0	0.031	0.000	0.000	0.031	0.000	0.000	0.000	0.00
15	0	0.031	0.000	0.000	0.031	0.000	0.000	0.000	0.00
16	0	0.031	0.000	0.000	0.031	0.000	0.000	0.000	0.00
17	0	0.031	0.000	0.000	0.031	0.000	0.000	0.000	0.00
18	0	0.031	0.000	0.000	0.031	0.000	0.000	0.000	0.00
19	0	0.031	0.000	0.000	0.031	0.000	0.000	0.000	0.00

CARICHI SUGLI SHELL												
CONDIZIONE DI CARICO N.ro: 2 ALIQUOTA SISMICA: 100												
IDENT.	PRESSIONI					CARICHI PERIMETRALI				RISULTANTI IMPRONTA		
	Shell N.ro	Riferimento	P.a t/mq	P.b t/mq	P.c t/mq	P.d t/mq	Q.ab t/ml	Q.bc t/ml	Q.cd t/ml	Q.da t/ml	Fx (t)	Fy (t)
1	0	-0.10	-0.10	-0.10	-0.10	-0.10	0.00	0.00	0.00	0.00		
2	0	-0.10	-0.10	-0.10	-0.10	-0.10	0.00	0.00	0.00	0.00		
3	0	-0.10	-0.10	-0.10	-0.10	-0.10	0.00	0.00	0.00	0.00		
4	0	-0.10	-0.10	-0.10	-0.10	-0.10	0.00	0.00	0.00	0.00		
5	0	-0.10	-0.10	-0.10	-0.10	-0.10	0.00	0.00	0.00	0.00		
6	0	-0.10	-0.10	-0.10	-0.10	-0.10	0.00	0.00	0.00	0.00		

CARICHI SUGLI SHELL												
CONDIZIONE DI CARICO N.ro: 3 ALIQUOTA SISMICA: 60												
IDENT.	PRESSIONI					CARICHI PERIMETRALI				RISULTANTI IMPRONTA		
	Shell N.ro	Riferimento	P.a t/mq	P.b t/mq	P.c t/mq	P.d t/mq	Q.ab t/ml	Q.bc t/ml	Q.cd t/ml	Q.da t/ml	Fx (t)	Fy (t)
1	0	-0.05	-0.05	-0.05	-0.05	-0.05	0.00	0.00	0.00	0.00		
2	0	-0.05	-0.05	-0.05	-0.05	-0.05	0.00	0.00	0.00	0.00		
3	0	-0.05	-0.05	-0.05	-0.05	-0.05	0.00	0.00	0.00	0.00		
4	0	-0.05	-0.05	-0.05	-0.05	-0.05	0.00	0.00	0.00	0.00		
5	0	-0.05	-0.05	-0.05	-0.05	-0.05	0.00	0.00	0.00	0.00		
6	0	-0.05	-0.05	-0.05	-0.05	-0.05	0.00	0.00	0.00	0.00		

COMPOSIZIONE SHELL														
Macro Nro	Col.1	Col.2	Col.3	Col.4	Col.5	Col.6		Macro Nro	Col.1	Col.2	Col.3	Col.4	Col.5	Col.6
1	1	7	8	9				4	4	14	15	16		
	10	11	12	13										
5	5							6	6					
	17								18					

VERTICI MICRO SHELL																			
Micro Nro	Macro Nro	Vert.1	Vert.2	Vert.3	Vert.4		Micro Nro	Macro Nro	Vert.1	Vert.2	Vert.3	Vert.4		Micro Nro	Macro Nro	Vert.1	Vert.2	Vert.3	Vert.4
1	1	1	37	41	40		2	2	5	6	7	4		3	3	3	8	10	9
4	4	3	45	48	8		5	5	2	11	51	44		6	6	12	1	40	52
7	7	37	38	42	41		8	8	38	39	43	42		9	9	39	2	44	43
10	10	40	41	45	3		11	11	41	42	46	45		12	12	42	43	47	46
13	13	43	44	4	47		14	14	45	46	49	48		15	15	46	47	50	49
16	16	47	4	7	50		17	17	44	51	5	4		18	18	52	40	3	9

NODI INTERNI SHELL											
IDENT.	POSIZIONE NODO				ATTRIBUTI						
	Nodo3d N.ro	Coord.X (m)	Coord.Y (m)	Coord.Z (m)	Piano Sism.	Peso (t)					
	37	0.77	0.00	0.00	0.00	0.00					
	38	1.54	0.00	0.00	0.00	0.00					
	39	2.32	0.00	0.00	0.00	0.00					
	40	0.00	0.67	0.00	0.00	0.00					
	41	0.77	0.67	0.00	0.00	0.00					
	42	1.54	0.67	0.00	0.00	0.00					
	43	2.32	0.67	0.00	0.00	0.00					
	44	3.09	0.67	0.00	0.00	0.00					
	45	0.77	1.34	0.00	0.00	0.00					
	46	1.54	1.34	0.00	0.00	0.00					
	47	2.32	1.34	0.00	0.00	0.00					
	48	0.77	1.54	0.00	0.00	0.00					
	49	1.54	1.54	0.00	0.00	0.00					

**NODI INTERNI SHELL**

IDENT.	POSIZIONE NODO			ATTRIBUTI		
	Nodo3d N.ro	Coord.X (m)	Coord.Y (m)	Coord.Z (m)	Piano Sism.	Peso (t)
50	2.32	1.54	0.00	0.00	0.00	0.00
51	3.29	0.67	0.00	0.00	0.00	0.00
52	-0.20	0.67	0.00	0.00	0.00	0.00

**S.L.U. - AZIONI S.L.V. - NODI PIASTRA - QUOTA: 0 ELEMENTO: 1**

Nodo 3d N.ro	X3d (m)	Y3d (m)	Z3d (m)		Nodo 3d N.ro	X3d (m)	Y3d (m)	Z3d (m)
8	0.00	1.54	0.00		11	3.29	0.00	0.00
45	0.77	1.34	0.00		46	1.54	1.34	0.00
47	2.32	1.34	0.00		48	0.77	1.54	0.00
49	1.54	1.54	0.00		50	2.32	1.54	0.00
51	3.29	0.67	0.00		52	-0.20	0.67	0.00

**COMBINAZIONI CARICHI A1 - S.L.V. / S.L.D.**

DESCRIZIONI	1	2	3	4	5	6	7	8	9	10	11	12	13	14	15
Peso Strutturale	1.30	1.30	1.30	1.30	1.30	1.30	1.30	1.30	1.30	1.30	1.30	1.30	1.30	1.30	1.30
Perm.Non Strutturale	1.50	1.50	1.50	1.50	1.50	1.50	1.50	1.50	1.50	1.50	1.50	1.50	1.50	1.50	1.50
Var.Amb.affol.	1.50	1.05	1.05	1.05	1.05	1.05	1.05	1.05	1.05	1.05	1.05	1.05	1.05	1.05	1.05
Var.Bibl.Arch.	1.50	1.50	1.50	1.50	1.50	1.50	1.50	1.50	1.50	1.50	1.50	1.50	1.50	1.50	1.50
Var.Neve h<=1000	0.75	0.75	1.50	0.75	0.75	0.75	0.75	1.50	0.75	0.75	0.75	0.75	1.50	0.75	0.75
Var.Coperture	0.00	0.00	0.00	1.50	0.00	0.00	0.00	0.00	1.50	0.00	0.00	0.00	0.00	1.50	0.00
VENTO y-	0.00	0.00	0.00	0.00	0.00	0.00	0.00	0.00	0.00	0.00	0.00	0.00	0.00	0.00	0.00
VENTO Y+	0.00	0.00	0.00	0.00	0.00	0.00	0.00	0.00	0.00	0.00	0.00	0.00	0.00	0.00	0.00
VENTO x	0.00	0.00	0.00	0.00	0.00	0.00	0.00	0.00	0.00	0.00	0.00	0.00	0.00	0.00	0.00
Sisma direz. grd 0	0.00	0.00	0.00	0.00	0.00	0.00	0.00	0.00	0.00	0.00	0.00	0.00	0.00	0.00	0.00
Sisma direz. grd 90	0.00	0.00	0.00	0.00	0.00	0.00	0.00	0.00	0.00	0.00	0.00	0.00	0.00	0.00	0.00

**COMBINAZIONI CARICHI A1 - S.L.V. / S.L.D.**

DESCRIZIONI	16	17	18	19	20	21	22	23	24	25	26
Peso Strutturale	1.30	1.30	1.30	1.00	1.00	1.00	1.00	1.00	1.00	1.00	1.00
Perm.Non Strutturale	1.50	1.50	1.50	1.00	1.00	1.00	1.00	1.00	1.00	1.00	1.00
Var.Amb.affol.	0.00	0.00	0.00	0.60	0.60	0.60	0.60	0.60	0.60	0.60	0.60
Var.Bibl.Arch.	0.00	0.00	0.00	0.80	0.80	0.80	0.80	0.80	0.80	0.80	0.80
Var.Neve h<=1000	0.00	0.00	0.00	0.00	0.00	0.00	0.00	0.00	0.00	0.00	0.00
Var.Coperture	0.00	0.00	0.00	0.00	0.00	0.00	0.00	0.00	0.00	0.00	0.00
VENTO y-	1.50	0.00	0.00	0.00	0.00	0.00	0.00	0.00	0.00	0.00	0.00
VENTO Y+	0.00	1.50	0.00	0.00	0.00	0.00	0.00	0.00	0.00	0.00	0.00
VENTO x	0.00	0.00	1.50	0.00	0.00	0.00	0.00	0.00	0.00	0.00	0.00
Sisma direz. grd 0	0.00	0.00	0.00	1.00	1.00	-1.00	-1.00	0.30	0.30	-0.30	-0.30
Sisma direz. grd 90	0.00	0.00	0.00	0.30	-0.30	0.30	-0.30	1.00	-1.00	1.00	-1.00

**COMBINAZIONI RARE - S.L.E.**

DESCRIZIONI	1	2	3	4	5	6	7	8	9	10	11	12	13	14	15
Peso Strutturale	1.00	1.00	1.00	1.00	1.00	1.00	1.00	1.00	1.00	1.00	1.00	1.00	1.00	1.00	1.00
Perm.Non Strutturale	1.00	1.00	1.00	1.00	1.00	1.00	1.00	1.00	1.00	1.00	1.00	1.00	1.00	1.00	1.00
Var.Amb.affol.	1.00	0.70	0.70	0.70	1.00	0.70	0.70	0.70	0.70	1.00	0.70	0.70	0.70	0.70	0.70
Var.Bibl.Arch.	1.00	1.00	1.00	1.00	1.00	1.00	1.00	1.00	1.00	1.00	1.00	1.00	1.00	1.00	1.00
Var.Neve h<=1000	0.50	0.50	1.00	0.50	0.50	0.50	0.50	1.00	0.50	0.50	0.50	0.50	1.00	0.50	0.50
Var.Coperture	0.00	0.00	0.00	1.00	0.00	0.00	0.00	0.00	1.00	0.00	0.00	0.00	0.00	1.00	0.00
VENTO y-	0.60	0.60	0.60	0.60	1.00	0.00	0.00	0.00	0.00	0.00	0.00	0.00	0.00	0.00	0.00
VENTO Y+	0.00	0.00	0.00	0.00	0.60	0.60	0.60	0.60	1.00	0.00	0.00	0.00	0.00	0.00	0.00
VENTO x	0.00	0.00	0.00	0.00	0.00	0.00	0.00	0.00	0.00	0.00	0.60	0.60	0.60	0.60	1.00
Sisma direz. grd 0	0.00	0.00	0.00	0.00	0.00	0.00	0.00	0.00	0.00	0.00	0.00	0.00	0.00	0.00	0.00
Sisma direz. grd 90	0.00	0.00	0.00	0.00	0.00	0.00	0.00	0.00	0.00	0.00	0.00	0.00	0.00	0.00	0.00

**COMBINAZIONI FREQUENTI - S.L.E.**

DESCRIZIONI	1	2	3	4	5	6	7
Peso Strutturale	1.00	1.00	1.00	1.00	1.00	1.00	1.00
Perm.Non Strutturale	1.00	1.00	1.00	1.00	1.00	1.00	1.00
Var.Amb.affol.	0.70	0.60	0.60	0.60	0.60	0.60	0.60
Var.Bibl.Arch.	0.80	0.90	0.80	0.80	0.80	0.80	0.80
Var.Neve h<=1000	0.00	0.00	0.20	0.00	0.00	0.00	0.00
Var.Coperture	0.00	0.00	0.00	0.00	0.00	0.00	0.00
VENTO y-	0.00	0.00	0.00	0.00	0.20	0.00	0.00
VENTO Y+	0.00	0.00	0.00	0.00	0.00	0.20	0.00
VENTO x	0.00	0.00	0.00	0.00	0.00	0.00	0.20
Sisma direz. grd 0	0.00	0.00	0.00	0.00	0.00	0.00	0.00
Sisma direz. grd 90	0.00	0.00	0.00	0.00	0.00	0.00	0.00

**COMBINAZIONI PERMANENTI - S.L.E.**

DESCRIZIONI	1
Peso Strutturale	1.00
Perm.Non Strutturale	1.00
Var.Amb.affol.	0.60

Studio Tecnico Dott. Ing. V. Ripamonti  
 SOFTWARE: C.D.S. - Full - Rel.2022 - Lic. Nro: 3585

**COMBINAZIONI PERMANENTI - S.L.E.**

DESCRIZIONI	1
Var.Bibl.Arch.	0.80
Var.Neve h<=1000	0.00
Var.Coperture	0.00
VENTO y-	0.00
VENTO Y+	0.00
VENTO x	0.00
Sisma direz. grd 0	0.00
Sisma direz. grd 90	0.00

## • SPECIFICHE CAMPI TABELLE DI STAMPA TRAVI

<b>Tratto</b>	: Le aste adiacenti a setti e piastre vengono suddivise in sottoelementi per garantire la congruenza. Il numero di "TRATTO" identifica la posizione sequenziale del sottoelemento attuale a partire dall'estremo iniziale
<b>Filo in.</b>	: Filo iniziale
<b>Filo fin.</b>	: Filo finale

Le altre grandezze descritte di seguito si riferiscono a ciascun estremo dell'asta:

<b>Alt.</b>	: Altezza dell'estremità dell'asta dallo spiccato di fondazione
<b>Tx</b>	: Taglio lungo la direzione dell'asse 'X' del sistema di riferimento locale di asta (principale d'inerzia)
<b>Ty</b>	: Taglio lungo la direzione dell'asse 'Y' del sistema di riferimento locale di asta
<b>N</b>	: Sforzo assiale
<b>Mx</b>	: Momento agente con asse vettore parallelo all'asse 'X' del sistema di riferimento locale di asta
<b>My</b>	: Momento agente con asse vettore parallelo all'asse 'Y' del sistema di riferimento locale di asta
<b>Mt</b>	: Momento torcente dell'asta (agente con asse vettore parallelo all'asse 'Z' locale)

## • SPECIFICHE CAMPI TABELLE DI STAMPA SHELL

SISTEMA DI RIFERIMENTO LOCALE (s.r.l.): Il sistema di riferimento locale dell'elemento shell è così definito:

<b>Origine</b>	: I° punto di inserimento dello shell
<b>Asse 1</b>	: Asse X nel s.r.l., definito dal punto origine e dal II° punto di inserimento, nel verso di quest'ultimo
<b>Piano12</b>	: Piano XY nel s.r.l., definito dai punti origine, II° e III° di inserimento
<b>Asse 2</b>	: Asse Y nel s.r.l., ottenuto nel piano 12 con una rotazione antioraria di 90° dell'asse X intorno al punto origine, in modo che l'asse I-II si sovrapponga all'asse I-III con un angolo <180°
<b>Asse 3</b>	: Asse Z nel s.r.l., ortogonale al piano 12, in modo da formare una terna destra con gli assi 1 e 2

Le tensioni di lastra (S) sono costanti lungo lo spessore. Le tensioni di piastra (M) variano linearmente lungo lo spessore, annullandosi in corrispondenza del piano medio (diagramma emisimmetrico o "a farfalla"). I valori del tensore degli sforzi sono riferiti alla faccia positiva (superiore nel s.r.l.) di normale 3 (esempio:  $X_{ij}$  tensione X agente sulla faccia di normale i e diretta lungo j).

Le altre grandezze descritte di seguito si riferiscono a ciascun nodo dell'elemento bidimensionale:

<b>Shell Nro</b>	: numero dell'elemento bidimensionale
<b>nodo N.ro</b>	: numero del nodo dell'elemento bidimensionale a cui sono riferite le tensioni S di lastra e M piastra
<b>S11</b>	: tensione normale di lastra
<b>S22</b>	: tensione normale di lastra
<b>S12</b>	: tensione tangenziale di lastra ( $S12 = S21$ )
<b>M11</b>	: tensione normale di piastra sulla faccia positiva
<b>M22</b>	: tensione normale di piastra sulla faccia positiva
<b>M12</b>	: tensione tangenziale di piastra sulla faccia positiva

Tabulato di stampa dei carichi nodali equivalenti applicati nei nodi degli shell.

<b>Shell Nro</b>	: numero dell'elemento bidimensionale
<b>nodo N.ro</b>	: numero del nodo dell'elemento bidimensionale a cui sono i carichi nodali degli shell
<b>Tx</b>	: Forza nodale in direzione X del sistema di riferimento locale
<b>Ty</b>	: Forza nodale in direzione Y del sistema di riferimento locale
<b>Tz</b>	: Forza nodale in direzione Z del sistema di riferimento locale
<b>Mx</b>	: Momento nodale con asse vettore parallelo all'asse X del sistema di riferimento locale

<b>My</b>	: <i>Momento nodale con asse vettore parallelo all'asse Y del sistema di riferimento locale</i>
<b>Mz</b>	: <i>Momento nodale con asse vettore parallelo all'asse Z del sistema di riferimento locale</i>

- SPECIFICHE CAMPI TABELLE DI STAMPA TRAVI**

<b>Tratto</b>	: Le asta adiacenti a setti e piastre vengono suddivise in sottoelementi per garantire la congruenza. Il numero di "TRATTO" identifica la posizione sequenziale del sottoelemento attuale a partire dall'estremo iniziale
<b>Filo in.</b>	: Filo iniziale
<b>Filo fin.</b>	: Filo finale

Le altre grandezze descritte di seguito si riferiscono a ciascun estremo dell'asta:

<b>Alt.</b>	: Altezza dell'estremità dell'asta dallo spiccato di fondazione
<b>Tx</b>	: Taglio lungo la direzione dell'asse 'X' del sistema di riferimento locale di asta (principale d'inerzia)
<b>Ty</b>	: Taglio lungo la direzione dell'asse 'Y' del sistema di riferimento locale di asta
<b>N</b>	: Sforzo assiale
<b>Mx</b>	: Momento agente con asse vettore parallelo all'asse 'X' del sistema di riferimento locale di asta
<b>My</b>	: Momento agente con asse vettore parallelo all'asse 'Y' del sistema di riferimento locale di asta
<b>Mt</b>	: Momento torcente dell'asta (agente con asse vettore parallelo all'asse 'Z' locale)

- SPECIFICHE CAMPI TABELLE DI STAMPA SHELL**

SISTEMA DI RIFERIMENTO LOCALE (s.r.l.): Il sistema di riferimento locale dell'elemento shell è così definito:

<b>Origine</b>	: I° punto di inserimento dello shell
<b>Asse 1</b>	: Asse X nel s.r.l., definito dal punto origine e dal II° punto di inserimento, nel verso di quest'ultimo
<b>Piano12</b>	: Piano XY nel s.r.l., definito dai punti origine, II° e III° di inserimento
<b>Asse 2</b>	: Asse Y nel s.r.l., ottenuto nel piano 12 con una rotazione antioraria di 90° dell'asse X intorno al punto origine, in modo che l'asse I-II si sovrapponga all'asse I-III con un angolo <180°
<b>Asse 3</b>	: Asse Z nel s.r.l., ortogonale al piano 12, in modo da formare una terna destra con gli assi 1 e 2

Le tensioni di lastra (S) sono costanti lungo lo spessore. Le tensioni di piastra (M) variano linearmente lungo lo spessore, annullandosi in corrispondenza del piano medio (diagramma emisimmetrico o "a farfalla"). I valori del tensore degli sforzi sono riferiti alla faccia positiva (superiore nel s.r.l.) di normale 3 (esempio:  $X_{ij}$  tensione X agente sulla faccia di normale i e diretta lungo j).

Le altre grandezze descritte di seguito si riferiscono a ciascun nodo dell'elemento bidimensionale:

<b>Shell Nro</b>	: numero dell'elemento bidimensionale
<b>nodo N.ro</b>	: numero del nodo dell'elemento bidimensionale a cui sono riferite le tensioni S di lastra e M piastra
<b>S11</b>	: tensione normale di lastra
<b>S22</b>	: tensione normale di lastra
<b>S12</b>	: tensione tangenziale di lastra ( $S12 = S21$ )
<b>M11</b>	: tensione normale di piastra sulla faccia positiva
<b>M22</b>	: tensione normale di piastra sulla faccia positiva
<b>M12</b>	: tensione tangenziale di piastra sulla faccia positiva

Tabulato di stampa dei carichi nodali equivalenti applicati nei nodi degli shell.

<b>Shell Nro</b>	: numero dell'elemento bidimensionale
<b>nodo N.ro</b>	: numero del nodo dell'elemento bidimensionale a cui sono i carichi nodali degli shell
<b>Tx</b>	: Forza nodale in direzione X del sistema di riferimento locale
<b>Ty</b>	: Forza nodale in direzione Y del sistema di riferimento locale
<b>Tz</b>	: Forza nodale in direzione X del sistema di riferimento locale
<b>Mx</b>	: Momento nodale con asse vettore parallelo all'asse X del sistema di riferimento

**My**                    *locale*  
                      : *Momento nodale con asse vettore parallelo all'asse Y del sistema di riferimento locale*

**Mz**                    *locale*  
                      : *Momento nodale con asse vettore parallelo all'asse Z del sistema di riferimento locale*

**T SPECIFICHE CAMPI TABELLA DI STAMPA**

<b>Filo N.ro</b>	: Numero del filo del nodo inferiore o superiore
<b>Quota inf/sup</b>	: Quota del nodo inferiore e del nodo superiore
<b>Nodo inf/sup</b>	: Numero dei nodi inferiore e superiore per la determinazione degli spostamenti sismici relativi
<b>Sisma N.ro</b>	: Numero del sisma per cui è massimo il valore dello spostamento totale calcolato per lo S.L.D.
<b>Combin N.ro</b>	: Numero della combinazione per cui è massimo il valore dello spostamento totale calcolato per lo S.L.D.
<b>Spostam. Calcolo</b>	: valore dello spostamento totale calcolato per lo S.L.D.
<b>Spostam. Limite</b>	: valore dello spostamento limite per lo S.L.D.
<b>Sisma N.ro</b>	: Numero del sisma per cui è massimo il valore dello spostamento totale calcolato per lo S.L.O.
<b>Combin N.ro</b>	: Numero della combinazione per cui è massimo il valore dello spostamento totale calcolato per lo S.L.O.
<b>Spostam. Calcolo</b>	: valore dello spostamento totale calcolato per lo S.L.O.
<b>Spostam. Limite</b>	: valore dello spostamento limite per lo S.L.O.

- **VERIFICHE ASTE IN ACCIAIO / LEGNO**

Si riporta appresso la spiegazione delle sigle usate nelle tabelle di verifica aste in acciaio e di verifica aste in legno.

<b>Fili N.ro</b>	: Sulla prima riga numero del filo del nodo iniziale, sulla terza quello del nodo finale
<b>Quota</b>	: Sulla prima riga quota del nodo iniziale, sulla terza quota del nodo finale
<b>Tratto</b>	: Se una trave è suddivisa in più tratti sulla prima riga è riportato il numero del tratto, sulla terza il numero di suddivisioni della trave
<b>Cmb N.r</b>	: Numero della combinazione per la quale si è avuta la condizione più gravosa (rapporto di verifica massimo). La combinazione 0, se presente, si riferisce alle verifiche delle aste in legno, costruita con la sola presenza dei carichi permanenti ( $1.3 \cdot G_1 + 1.5 \cdot G_2$ ). Seguono le caratteristiche associate alla combinazione:
<b>N Sd</b>	: Sforzo normale di calcolo
<b>MxSd</b>	: Momento flettente di calcolo asse vettore X locale
<b>MySd</b>	: Momento flettente di calcolo asse vettore Y locale
<b>VxSd</b>	: Taglio di calcolo in direzione dell'asse X locale
<b>VySd</b>	: Taglio di calcolo in direzione dell'asse Y locale
<b>T Sd</b>	: Torsione di calcolo
<b>N Rd</b>	: Sforzo normale resistente ridotto per presenza dell'azione tagliante
<b>MxV.Rd</b>	: Momento flettente resistente con asse vettore X locale ridotto per presenza di azione tagliante. Per le sezioni di classe 3 è sempre il momento limite elastico, per quelle di classe 1 e 2 è il momento plastico. Se inoltre la tipologia della sezione è doppio T, tubo tondo, tubo rettangolare e piatto, il momento è ridotto dall'eventuale presenza dello sforzo normale
<b>MyV.Rd</b>	: Momento flettente resistente con asse vettore Y locale ridotto per presenza di azione tagliante. Vale quanto riportato per il dato precedente
<b>VxplRd</b>	: Taglio resistente plastico in direzione dell'asse X locale
<b>VyplRd</b>	: Taglio resistente plastico in direzione dell'asse X locale
<b>T Rd</b>	: Torsione resistente
<b>fy rid</b>	: Resistenza di calcolo del materiale ridotta per presenza dell'azione tagliante
<b>Rap %</b>	: Rapporto di verifica moltiplicato per 100. Sezione verificata per valori minori o uguali a 100. La formula utilizzata in verifica è la n.ro 6.41 di EC3. Tale formula nel caso di sezione a doppio T coincide con le formule del DM 2008 n.ro 4.2.39 e del DM 2018 n.ro 4.2.39.
<b>Sez.N</b>	: Numero di archivio della sezione
<b>Ac</b>	: Coefficiente di amplificazione dei carichi statici. Sostituisce il dato 'Sez.N.' se l'incremento dei carichi statici è maggiore di 1
<b>Qn</b>	: Carico distribuito normale all'asse della trave in kg/m, incluso il peso proprio
<b>Asta</b>	: Numerazione dell'asta

Per le strutture dissipative, nei pilastri, sono stati tenuti in conto i fattori di sovraresistenza riportati nella Tab. 7.5.I delle NTC 2008 e par 7.5.1 delle NTC2018

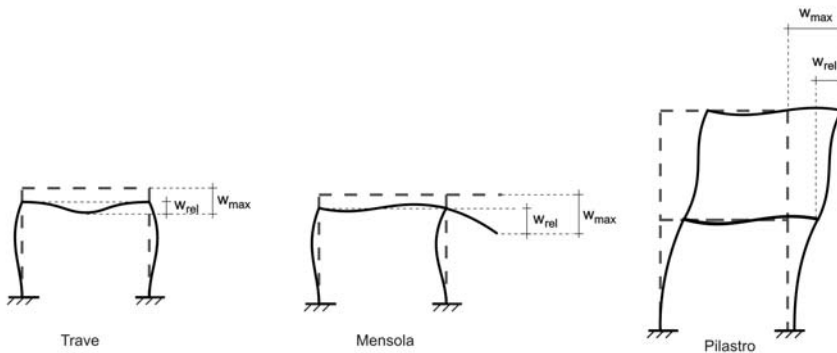
L'ultima riga delle quattro relative a ciascuna asta, si riferisce ai valori utili ad effettuare le verifiche di instabilità:

<b>I</b>	: Lunghezza della trave
<b><math>\beta^*I</math></b>	: Lunghezza libera di inflessione
<b>clas.</b>	: Classe di verifica della trave
<b><math>\epsilon</math></b>	: $(235/fy)^{1/2}$ . Se il valore è maggiore di 1 significa che il programma ha classificato la sezione, originariamente di classe 4, come sezione di classe 3 secondo il comma (9) del punto 5.5.2 dell'EC3 in base alla tensione di compressione massima. Per tali aste non sono state effettuate le verifiche di instabilità' come previsto nel comma (10)

<b>Lmd</b>	dell'EC3 (vedi anche pto C4.2.3.1).
<b>R%pf</b>	: Snellezza lambda
<b>R%ft</b>	: Rapporto di verifica per l'instabilità alla presso-flessione moltiplicato per 100 determinato dalla formula [C4.2.32]. Sezione verificata per valori minori o uguali a 100
<b>R%ft</b>	: Rapporto di verifica per l'instabilità flesso-torsionale moltiplicato per 100 determinato dalla formula [C4.2.36]
<b>Wmax</b>	: Spostamento massimo
<b>Wrel</b>	: Spostamento relativo, depurato dalla traslazione rigida dei nodi
<b>Wlim</b>	: Spostamento limite

Gli spostamenti Wmax e Wrel, essendo legati alle verifiche di esercizio, sono calcolati combinando i canali di carico con i coefficienti delle matrici SLE.

Per una più agevole comprensione del significato dei dati Wmax e Wrel, si può fare riferimento alla figura seguente:



Quindi ai fini della verifica è sufficiente che risulti  $Wrel \leq Wlim$ , essendo del tutto normale che l'asta possa risultare verificata anche con  $Wmax > Wlim$ .

Se:

<b>Rap %</b>	: 111 La sezione non verifica per taglio elevato
<b>Rap %</b>	: 444 Sezione non verificata in automatico perché di classe 4

Per le sezioni in legno vengono modificate le seguenti colonne:

<b>N Rd <math>\rightarrow \sigma_n</math></b>	: Tensione normale dovuta a sforzo normale
<b>MxV.Rd <math>\rightarrow \sigma M_x</math></b>	: Tensione normale dovuta a momento $M_x$
<b>MyV.Rd <math>\rightarrow \sigma M_y</math></b>	: Tensione normale dovuta a momento $M_y$
<b>VxplRd <math>\rightarrow \tau_x</math></b>	: Tensione tangenziale dovuta a taglio $T_x$
<b>VyplRd <math>\rightarrow \tau_y</math></b>	: Tensione tangenziale dovuta a taglio $T_y$
<b>T Rd <math>\rightarrow \tau M_t</math></b>	: Tensione tangenziale da momento torcente
<b>fy rid <math>\rightarrow</math> Rapp. Fless</b>	: Rapporto di verifica per la flessione composta secondo le formule dei DM 2008/2018 [4.4.6a], [4.4.6b], [4.4.7a], [4.4.7b]. Viene riportato il valore più alto fra tutte le varie combinazioni e si intende verificato, come tutti gli altri rapporti, se il valore è minore di uno
<b>Rap % <math>\rightarrow</math> Rapp.Taglio</b>	: Rapporto di verifica per il taglio o la torsione secondo le formule dei DM 2008/2018 [4.4.8], [4.4.9] avendo sovrapposto gli effetti con la [4.4.10] nel caso di taglio e torsione agenti contemporaneamente
<b>clas. <math>\rightarrow</math> KcC</b>	: Coefficiente di instabilità di colonna ( $K_{crit,c}$ ) determinato dalle formule dei DM 2008/2018 [4.4.15]
<b>lmd <math>\rightarrow</math> KcM</b>	: Coefficiente di instabilità di trave ( $K_{crit,m}$ ) determinato dalle formule dei DM 2008/2018 [4.4.12]
<b>R%pf <math>\rightarrow</math> Rx</b>	: Rapporto globale di verifica di instabilità che tiene in conto sia dell'instabilità di colonna che quella di trave; il coefficiente Km è applicato al termine del momento Y

**R%ft → Ry**

: Rapporto globale di verifica di instabilità che tiene in conto sia dell'instabilità di colonna che quella di trave; il coefficiente  $K_m$  è applicato al termine del momento  $X$

Gli spostamenti  $W_{max}$  e  $W_{rel}$  sono calcolati secondo le formule [2.2] e [2.3] dell'Eurocodice 5. In particolare si sommano gli spostamenti istantanei delle combinazioni SLE Rare con quelli a tempo infinito delle combinazioni SLE Quasi Permanent. Quindi indicando con  $U^P$  gli spostamenti istantanei dei carichi permanenti e con  $U^Q$  quelli dei carichi variabili lo spostamento finale vale:

$$U_{fin} = U^P + K_{def} * U^P + U^Q + K_{def} * \varphi_2 * U^Q$$

- SPECIFICHE CAMPI TABELLA DI STAMPA**

Si riporta di seguito la spiegazione delle sigle usate nella tabella di stampa della verifica degli elementi bidimensionali allo stato limite ultimo.

<b>Quota N.ro:</b>	: Quota a cui si trova l'elemento
<b>Perim. N.ro</b>	: Numero identificativo del macroelemento il cui perimetro è stato definito prima di eseguire la verifica
<b>Nodo 3d N.ro</b>	: Numero del nodo relativo alla suddivisione del macroelemento in microelementi
<b>Nx</b>	: Sforzo sul piano dell'elemento bidimensionale diretto come l'asse x del sistema locale (il sistema di riferimento locale è quello delle armature)
<b>Ny</b>	: Sforzo sul piano dell'elemento bidimensionale diretto come l'asse y del sistema locale
<b>Txy</b>	: Sforzo tagliante sul piano dell'elemento con direzione y e agente sulla faccia di normale x del sistema locale (ovvero anche, per la simmetria delle tensioni tangenziali, sforzo tagliante sul piano dell'elemento con direzione x e agente sulla faccia di normale y del sistema locale)
<b>Mx</b>	: Momento flettente agente sulla sezione di normale x del sistema locale. Per le verifiche è accoppiato allo sforzo normale Nx. Questo momento è incrementato per tenere in conto il valore del momento torcente Mxy
<b>My</b>	: Momento flettente agente sulla sezione di normale y del sistema locale. Per le verifiche è accoppiato allo sforzo normale Ny. Questo momento è incrementato per tenere in conto il valore del momento torcente Mxy
<b>Mxy</b>	: Momento torcente con asse vettore x e agente sulla sezione di normale x (ovvero anche, per la simmetria delle tensioni tangenziali momento torcente con asse vettore y e agente sulla sezione di normale y)
<b><math>\epsilon_{ex} *10000</math></b>	: Deformazione del calcestruzzo nella faccia di normale x *10000 (Es. 0.35% = 35)
<b><math>\epsilon_{ey} *10000</math></b>	: Deformazione del calcestruzzo nella faccia di normale y *10000 (Es. 0.35% = 35)
<b><math>\epsilon_{fx} *10000</math></b>	: Deformazione dell'acciaio nella faccia di normale x *10000 (Es. 1% = 100)
<b><math>\epsilon_{fy} *10000</math></b>	: Deformazione dell'acciaio nella faccia di normale y *10000 (Es. 1% = 100)
<b>Ax superiore</b>	: Area totale armatura superiore diretta lungo x. Area totale è l'area della presso-flessione più l'area per il taglio riportata dopo)
<b>Ay superiore</b>	: Area totale armatura superiore diretta lungo y
<b>Ax inferiore</b>	: Area totale armatura inferiore diretta lungo x
<b>Ay inferiore</b>	: Area totale armatura inferiore diretta lungo y
<b>Atag</b>	: Area per il taglio su ciascuna faccia per le due direzioni
<b><math>\sigma_t</math></b>	: Tensione massima di contatto con il terreno
<b>Eta</b>	: Abbassamento verticale del nodo in esame
<b>Fpunz</b>	: Forza di punzonamento determinata amplificando il massimo valore della forza punzonante (ottenuta dall'inviluppo fra le varie combinazioni di carico agenti) per un coefficiente beta raccomandato nell'eurocodice 2 (figura 6.21). Per le piastre di fondazione la forza di punzonamento è stata ridotta dell'effetto favorevole della pressione del suolo
<b>FpunzLi</b>	: Resistenza al punzonamento ottenuta dall'applicazione della formula (6.47) dell'eurocodice 2, utilizzando il perimetro di base definito nelle figure 6.13 e 6.15
<b>Apunz</b>	: Armatura di punzonamento calcolata dalla formula (6.52) dell'eurocodice 2
<b>VEd</b>	: Azione di taglio-punzonamento secondo la formula (6.53) dell'eurocodice 2
<b>VRd,max</b>	: Resistenza di taglio-punzonamento secondo la formula (6.53) dell'eurocodice 2

Nel caso di stampa di riverifiche degli elementi con le armature effettivamente disposte sul disegno ferri le colonne delle  $\epsilon$  vengono sostituite con:

<b>Molt.</b>	: Moltiplicatore delle sollecitazioni che porta a rottura la sezione, rispettivamente nelle direzioni X e Y
<b>x/d</b>	: Posizione adimensionalizzata dell'asse neutro rispettivamente nelle direzioni X e Y

- SPECIFICHE CAMPI TABELLA DI STAMPA**

Si riporta di seguito la spiegazione delle sigle usate nella tabella di stampa delle verifiche agli stati limite di esercizio degli elementi bidimensionali.

<b>Quota</b>	: Quota a cui si trova l'elemento
<b>Perim.</b>	: Numero identificativo del macro-elemento il cui perimetro è stato definito prima di eseguire la verifica
<b>Nodo</b>	: Numero del nodo relativo alla suddivisione del macro-elemento in microelementi
<b>Comb Cari</b>	: Indicatore della matrice di combinazione; la prima riga individua la matrice delle combinazioni rare, la seconda la matrice delle combinazioni frequenti, la terza quella permanenti
<b>Fes lim</b>	: Fessura limite espressa in mm
<b>Fess.</b>	: Fessura di calcolo espressa in mm; se sull'elemento non si aprono fessure tutta la riga sarà nulla
<b>Dist mm</b>	: Distanza fra le fessure
<b>Combin</b>	: Numero della combinazione ed in sequenza sollecitazioni per cui si è avuta la massima fessura
<b>Mf X</b>	: Momento flettente agente sulla sezione di normale x del sistema locale. (Il sistema di riferimento locale è quello delle armature)
<b>N X</b>	: Sforzo sul piano dell'elemento bidimensionale diretto come l'asse x del sistema locale
<b>Mf Y</b>	: Momento flettente agente sulla sezione di normale y del sistema locale. (Il sistema di riferimento locale è quello delle armature)
<b>N Y</b>	: Sforzo sul piano dell'elemento bidimensionale diretto come l'asse y del sistema locale
<b>Cos teta</b>	: Coseno dell'angolo teta tra l'armatura in direzione X e la direzione della tensione principale di trazione
<b>Sin teta</b>	: Seno dell'angolo teta
<b>Combina</b>	: Indicatore della matrice di combinazione; la prima riga individua la matrice delle combinazioni rare per la verifica della tensione sul cls, la seconda la matrice delle combinazioni rare per la verifica della tensione sull'acciaio, la terza la matrice delle combinazioni permanenti per la verifica della tensione sul cls
<b>Carico</b>	
<b>s lim</b>	: Valore della tensione limite in Kg/cmq
<b>s cal</b>	: Valore della tensione di calcolo in Kg/cmq sulla faccia di normale x
<b>Conbin</b>	: Numero della combinazione ed in sequenza sollecitazioni per cui si è avuta la massima tensione
<b>Mf X</b>	: Momento flettente agente sulla sezione di normale x del sistema locale. (Il sistema di riferimento locale è quello delle armature)
<b>N X</b>	: Sforzo sul piano dell'elemento bidimensionale diretto come l'asse x del sistema locale
<b>s cal</b>	: Valore della tensione di calcolo in Kg/cmq sulla faccia di normale y
<b>Combin</b>	: Numero della combinazione ed in sequenza sollecitazioni per cui si è avuta la massima tensione
<b>Mf Y</b>	: Momento flettente agente sulla sezione di normale y del sistema locale
<b>N Y</b>	: Sforzo sul piano dell'elemento bidimensionale diretto come l'asse y del sistema locale

FREQUENZE E MASSE ECCITATE										Eccitat Totale	SISMA N.ro 1		SISMA N.ro 2		SISMA N.ro 3		
Modo N.ro	Pulsazione (rad/sec)	Periodo (sec)	Smorz Mod(%)	Sd/g SLO	Sd/g SLD	Sd/g SLV X	Sd/g SLV Y	Sd/g SLV Z	Sd/g SLC		Massa Mod .46	Perc. .46	Massa .46	Perc. 99.68	Massa .43	Perc. 92.76	Massa .46
1	16.206	0.38770	5.0		0.133	0.256	0.256			0.00	0	0.37	79				
2	23.426	0.26822	5.0		0.152	0.263	0.263			0.07	15	0.00	0				
3	29.449	0.21336	5.0		0.152	0.263	0.263			0.28	60	0.00	0				
4	73.254	0.08577	5.0		0.130	0.230	0.230			0.03	6	0.00	0				
5	88.056	0.07135	5.0		0.119	0.218	0.218			0.00	0	0.04	8				
6	103.322	0.06081	5.0		0.110	0.209	0.209			0.00	0	0.01	2				
7	135.750	0.04629	5.0		0.099	0.197	0.197			0.00	0	0.00	0				
8	185.699	0.03384	5.0		0.089	0.187	0.187			0.00	1	0.00	0				
9	204.794	0.03068	5.0		0.087	0.185	0.185			0.00	0	0.01	3				
10	213.470	0.02943	5.0		0.086	0.184	0.184			0.00	0	0.00	0				
11	226.871	0.02770	5.0		0.084	0.182	0.182			0.00	0	0.00	0				
12	267.313	0.02350	5.0		0.081	0.179	0.179			0.00	1	0.00	0				
13	446.600	0.01407	5.0		0.073	0.171	0.171			0.08	16	0.00	0				

CARATTERISTICHE MEDIEATE: SISMA 0°: ASTE																
Tra tto	Filo In.	Alt. (m)	Tx (t)	Ty (t)	N (t)	Mx (t*m)	My (t*m)	Mt (t*m)	Filo Fin.	Alt. (m)	Tx (t)	Ty (t)	N (t)	Mx (t*m)	My (t*m)	Mt (t*m)
2	0.58	-0.04	0.02	-0.04	0.02	0.01	-0.01	2	0.00	0.04	-0.02	0.04	-0.04	-0.04	-0.04	0.01
4	0.58	-0.04	-0.02	0.04	-0.02	0.01	-0.01	4	0.00	0.04	0.02	-0.04	0.04	-0.04	-0.04	0.01
2	0.58	0.00	-0.01	-0.01	0.02	0.00	0.00	6	0.58	0.00	0.01	0.01	0.00	0.00	0.00	0.00
6	0.58	0.00	-0.02	0.00	0.01	0.00	0.00	8	0.58	0.00	0.02	0.00	0.01	0.00	0.00	0.00
8	0.58	0.00	-0.01	0.01	0.00	0.00	0.00	4	0.58	0.00	0.01	-0.01	0.02	0.00	0.00	0.00
2	2.33	0.01	-0.03	0.01	0.03	0.01	0.00	6	2.33	-0.01	0.03	-0.01	0.00	0.00	0.00	0.00
6	2.33	0.01	-0.02	0.00	0.01	0.00	0.00	8	2.33	-0.01	0.02	0.00	0.01	0.00	0.00	0.00
8	2.33	0.01	-0.03	-0.01	0.00	0.00	0.00	4	2.33	-0.01	0.03	0.01	0.01	0.03	0.01	0.00
1	2.33	-0.01	0.00	0.01	0.00	-0.01	0.00	2	2.33	0.01	0.00	-0.01	0.00	-0.01	0.00	-0.01
3	2.33	-0.01	0.00	-0.01	0.00	-0.01	0.00	4	2.33	0.01	0.00	0.01	0.00	-0.01	0.00	-0.01
1	2.33	0.01	-0.01	0.00	0.01	0.01	0.00	3	2.33	-0.01	0.01	0.00	0.01	0.01	0.00	0.00
1	2.33	0.00	0.01	-0.01	0.00	-0.01	-0.01	13	2.64	0.00	-0.01	0.01	0.00	-0.01	0.00	-0.01
9	2.64	-0.02	0.01	0.00	0.00	0.01	-0.01	2	2.33	0.02	-0.01	0.00	0.00	-0.01	0.00	-0.01
13	2.64	0.00	0.01	-0.01	0.00	-0.01	-0.01	17	2.88	0.00	-0.01	0.01	0.00	0.01	0.00	0.01
17	2.88	-0.01	0.00	-0.01	0.00	-0.01	-0.01	25	3.02	0.01	0.00	0.01	0.00	0.01	0.00	0.01
21	2.88	-0.02	0.01	0.00	0.00	0.00	-0.01	9	2.64	0.02	-0.01	0.00	0.00	-0.01	0.00	-0.01
25	3.02	-0.01	0.00	0.01	0.00	0.00	-0.01	33	3.06	0.01	0.00	-0.01	0.00	0.00	0.00	0.01
29	3.02	-0.01	0.01	0.00	0.00	0.00	-0.01	21	2.88	0.01	-0.01	0.00	0.00	0.00	0.00	0.01
33	3.06	-0.01	0.00	0.01	0.00	0.00	-0.01	29	3.02	0.01	0.00	-0.01	0.00	0.00	0.00	0.01
3	2.33	0.00	-0.01	0.01	0.00	-0.01	-0.01	14	2.64	0.00	0.01	-0.01	0.00	-0.01	0.00	-0.01
10	2.64	-0.02	-0.01	0.00	0.00	0.01	-0.01	4	2.33	0.02	0.01	0.00	0.00	-0.01	0.00	-0.01
14	2.64	0.00	-0.01	0.01	0.00	-0.01	-0.01	18	2.88	0.00	0.01	-0.01	0.00	0.01	0.00	0.01
18	2.88	-0.01	0.00	0.01	0.00	-0.01	-0.01	26	3.02	0.01	0.00	-0.01	0.00	0.00	0.00	0.01
22	2.88	-0.02	-0.01	0.00	0.00	0.00	-0.01	10	2.64	0.02	0.01	0.00	0.00	-0.01	0.00	-0.01
26	3.02	-0.01	0.00	-0.01	0.00	0.00	-0.01	34	3.06	0.01	0.00	0.01	0.00	0.00	0.00	0.01
30	3.02	-0.01	-0.01	0.00	0.00	0.00	-0.01	22	2.88	0.01	0.01	0.00	0.00	0.00	0.00	0.01
34	3.06	-0.01	0.00	-0.01	0.00	0.00	-0.01	30	3.02	0.01	0.00	0.01	0.00	0.00	0.00	0.01
2	2.33	-0.03	0.02	-0.03	0.01	-0.02	-0.01	2	0.58	0.03	-0.02	0.03	-0.03	-0.03	-0.03	0.01
4	2.33	-0.03	-0.02	0.03	-0.01	-0.02	-0.01	4	0.58	0.03	0.02	-0.03	0.03	-0.03	-0.03	0.01
8	2.33	-0.01	0.00	-0.01	0.00	-0.01	-0.01	8	0.58	0.01	0.00	0.01	0.00	-0.01	0.00	0.00
6	2.33	-0.01	0.00	0.01	0.00	-0.01	-0.01	6	0.58	0.01	0.00	-0.01	0.00	-0.01	0.00	0.00

CARATTERISTICHE MEDIEATE: SISMA 0°: SHELL																
Shell Nro	Nodo N.ro	S11 kg/cmq	S22 kg/cmq	S12 kg/cmq	M11 kg/cmq	M22 kg/cmq	M12 kg/cmq	Nodo N.ro	S11 kg/cmq	S22 kg/cmq	S12 kg/cmq	M11 kg/cmq	M22 kg/cmq	M12 kg/cmq		
1	40	0.00	0.00	0.00	0.08	0.12	0.09	41	0.00	0.00	0.00	0.20	0.06	0.09		
1	1	0.00	0.00	0.00	0.12	0.01	0.06	37	0.00	0.00	0.00	0.12	0.01	0.06		
2	4	0.00	0.00	0.00	0.32	0.50	0.05	7	0.00	0.00	0.00	0.02	0.61	0.28		
5	0.00	0.00	0.00	0.51	0.04	0.26	6	0.00	0.00	0.00	0.07	0.11	0.15			
3	9	0.00	0.00	0.00	0.51	0.04	0.26	10	0.00	0.00	0.00	0.07	0.11	0.15		
3	0	0.00	0.00	0.32	0.50	0.05	8	0.00	0.00	0.00	0.02	0.61	0.28			
4	8	0.00	0.00	0.00	0.29	0.06	0.12	48	0.00	0.00	0.00	0.25	0.04	0.27		
3	0	0.00	0.00	0.60	0.38	0.16	45	0.00	0.00	0.00	0.13	0.17	0.30			
5	44	0.00	0.00	0.24	0.13	0.10	51	0.00	0.00	0.00	0.01	0.15	0.11			
2	0.00	0.00	0.00	0.02	0.01	0.05	11	0.00	0.00	0.00	0.04	0.04	0.06			
6	52	0.00	0.00	0.01	0.15	0.11	40	0.00	0.00	0.00	0.24	0.13	0.10			
12	0.00	0.00	0.00	0.04	0.04	0.06	1	0.00	0.00	0.00	0.02	0.01	0.05			
7	41	0.00	0.00	0.16	0.06	0.07	42	0.00	0.00	0.00	0.00	0.00	0.00			
37	0.00	0.00	0.13	0.01	0.07	38	0.00	0.00	0.00	0.01	0.00	0.07	0.07			
8	42	0.00	0.00	0.00	0.00	0.07	43	0.00	0.00	0.00	0.16	0.06	0.07			
38	0.00	0.00	0.01	0.00	0.07	39	0.00	0.00	0.00	0.00	0.13	0.01	0.07			
9	43	0.00	0.													

## CARATTERISTICHE MEDIE: SISMA 0°: SHELL

Shell Nro	Nodo N.ro	S11 kg/cmq	S22 kg/cmq	S12 kg/cmq	M11 kg/cmq	M22 kg/cmq	M12 kg/cmq	Nodo N.ro	S11 kg/cmq	S22 kg/cmq	S12 kg/cmq	M11 kg/cmq	M22 kg/cmq	M12 kg/cmq
17	4	0.00	0.00	0.00	0.53	0.68	0.21	5	0.00	0.00	0.00	0.03	0.46	0.13
	44	0.00	0.00	0.00	0.24	0.10	0.24	51	0.00	0.00	0.00	0.02	0.22	0.17
18	9	0.00	0.00	0.00	0.03	0.46	0.13	3	0.00	0.00	0.00	0.53	0.68	0.21
	52	0.00	0.00	0.00	0.02	0.22	0.17	40	0.00	0.00	0.00	0.24	0.10	0.24

## CARATTERISTICHE MEDIE: SISMA 90°: ASTE

Tra tto	Filo In.	Alt. (m)	Tx (t)	Ty (t)	N (t)	Mx (t*m)	My (t*m)	Mt (t*m)	Filo Fin.	Alt. (m)	Tx (t)	Ty (t)	N (t)	Mx (t*m)	My (t*m)	Mt (t*m)
2	0.58	0.00	0.05	0.00	0.10	0.00	0.00	0.00	2	0.00	0.00	-0.05	0.00	-0.12	0.00	0.00
4	0.58	0.00	0.05	0.00	0.10	0.00	0.00	0.00	4	0.00	0.00	-0.05	0.00	-0.12	0.00	0.00
2	0.58	0.00	0.00	0.00	0.00	0.00	0.00	0.00	6	0.58	0.00	0.00	0.00	0.00	0.00	0.00
6	0.58	0.00	0.00	0.00	0.00	0.00	0.00	0.00	8	0.58	0.00	0.00	0.00	0.00	0.00	0.00
8	0.58	0.00	0.00	0.00	0.00	0.00	0.00	0.00	4	0.58	0.00	0.00	0.00	0.00	0.00	0.00
2	2.33	-0.01	0.00	0.00	0.00	0.00	0.00	0.00	6	2.33	0.01	0.00	0.00	0.00	0.00	0.00
6	2.33	0.00	0.00	0.00	0.00	0.00	0.00	0.00	8	2.33	0.00	0.00	0.00	0.00	0.00	0.00
8	2.33	0.01	0.00	0.00	0.00	0.00	0.00	0.00	4	2.33	-0.01	0.00	0.00	0.00	0.00	0.00
1	2.33	0.00	0.00	0.01	0.00	0.00	0.00	0.00	2	2.33	0.00	0.00	-0.01	0.00	0.00	0.00
3	2.33	0.00	0.00	0.01	0.00	0.00	0.00	0.00	4	2.33	0.00	0.00	-0.01	0.00	0.00	0.00
1	2.33	0.00	0.00	0.00	0.00	0.00	0.00	0.00	3	2.33	0.00	0.00	0.00	0.00	0.00	0.00
1	2.33	0.00	0.00	0.00	0.00	0.00	0.00	0.00	13	2.64	0.00	0.00	0.00	0.00	0.00	0.00
9	2.64	0.00	0.02	0.01	0.00	0.00	0.00	0.00	2	2.33	0.00	-0.02	-0.01	-0.01	0.00	0.00
13	2.64	0.00	0.00	0.00	0.00	0.00	0.00	0.00	17	2.88	0.00	0.00	0.00	0.00	0.00	0.00
17	2.88	0.00	-0.01	0.00	0.00	0.00	0.00	0.00	25	3.02	0.00	0.01	0.00	0.00	0.00	0.00
21	2.88	0.00	0.01	0.01	0.00	0.00	0.00	0.00	9	2.64	0.00	-0.01	-0.01	0.00	0.00	0.00
25	3.02	0.00	0.00	0.01	0.00	0.00	0.00	0.00	33	3.06	0.00	0.00	-0.01	0.00	0.00	0.00
29	3.02	0.00	0.01	0.01	0.00	0.00	0.00	0.00	21	2.88	0.00	-0.01	-0.01	0.00	0.00	0.00
33	3.06	0.00	0.00	0.01	0.00	0.00	0.00	0.00	29	3.02	0.00	-0.01	-0.01	0.00	0.00	0.00
3	2.33	0.00	0.00	0.00	0.00	0.00	0.00	0.00	14	2.64	0.00	0.00	0.00	0.00	0.00	0.00
10	2.64	0.00	0.02	0.01	0.00	0.00	0.00	0.00	4	2.33	0.00	-0.02	-0.01	-0.01	0.00	0.00
14	2.64	0.00	0.00	0.00	0.00	0.00	0.00	0.00	18	2.88	0.00	0.00	0.00	0.00	0.00	0.00
18	2.88	0.00	-0.01	0.00	0.00	0.00	0.00	0.00	26	3.02	0.00	0.01	0.00	0.00	0.00	0.00
22	2.88	0.00	0.01	0.01	0.00	0.00	0.00	0.00	10	2.64	0.00	-0.01	-0.01	0.00	0.00	0.00
26	3.02	0.00	0.00	0.01	0.00	0.00	0.00	0.00	34	3.06	0.00	0.00	-0.01	0.00	0.00	0.00
30	3.02	0.00	0.01	0.01	0.00	0.00	0.00	0.00	22	2.88	0.00	-0.01	-0.01	0.00	0.00	0.00
34	3.06	0.00	0.00	0.01	0.00	0.00	0.00	0.00	30	3.02	0.00	0.00	-0.01	0.00	0.00	0.00
2	2.33	0.00	0.05	0.00	0.01	0.00	0.00	0.00	2	0.58	0.00	-0.05	0.00	-0.09	0.00	0.00
4	2.33	0.00	0.05	0.00	0.01	0.00	0.00	0.00	4	0.58	0.00	-0.05	0.00	-0.09	0.00	0.00
8	2.33	0.00	0.00	0.00	0.00	0.00	0.00	0.00	8	0.58	0.00	0.00	0.00	0.00	0.00	0.00
6	2.33	0.00	0.00	0.00	0.00	0.00	0.00	0.00	6	0.58	0.00	0.00	0.00	0.00	0.00	0.00

## CARATTERISTICHE MEDIE: SISMA 90°: SHELL

Shell Nro	Nodo N.ro	S11 kg/cmq	S22 kg/cmq	S12 kg/cmq	M11 kg/cmq	M22 kg/cmq	M12 kg/cmq	Nodo N.ro	S11 kg/cmq	S22 kg/cmq	S12 kg/cmq	M11 kg/cmq	M22 kg/cmq	M12 kg/cmq	
1	40	0.00	0.00	0.00	0.15	0.41	0.03	41	0.00	0.00	0.00	0.11	0.22	0.03	
	1	0.00	0.00	0.00	0.02	0.01	0.01	37	0.00	0.00	0.00	0.06	0.00	0.01	
2	4	0.00	0.00	0.00	1.18	0.25	0.03	7	0.00	0.00	0.00	0.04	1.37	0.66	
	5	0.00	0.00	0.00	0.99	0.12	0.38	6	0.00	0.00	0.00	0.22	0.15	0.31	
3	9	0.00	0.00	0.00	0.99	0.12	0.38	10	0.00	0.00	0.00	0.22	0.15	0.31	
	3	0.00	0.00	0.00	1.18	0.25	0.03	8	0.00	0.00	0.00	0.04	1.37	0.66	
4	8	0.00	0.00	0.00	0.33	0.17	0.32	48	0.00	0.00	0.00	0.01	0.12	0.66	
	3	0.00	0.00	0.00	0.60	1.25	0.47	45	0.00	0.00	0.00	0.00	0.35	0.71	0.81
5	44	0.00	0.00	0.00	0.08	0.40	0.04	51	0.00	0.00	0.00	0.01	0.40	0.03	
	2	0.00	0.00	0.00	0.00	0.02	0.02	11	0.00	0.00	0.00	0.00	0.01	0.01	
6	52	0.00	0.00	0.00	0.01	0.40	0.03	40	0.00	0.00	0.00	0.08	0.40	0.04	
	12	0.00	0.00	0.00	0.00	0.01	0.01	1	0.00	0.00	0.00	0.00	0.00	0.02	
7	41	0.00	0.00	0.00	0.04	0.24	0.05	42	0.00	0.00	0.00	0.05	0.12	0.02	
	37	0.00	0.00	0.00	0.08	0.00	0.01	38	0.00	0.00	0.00	0.00	0.13	0.01	
8	42	0.00	0.00	0.00	0.05	0.12	0.02	43	0.00	0.00	0.00	0.04	0.24	0.05	
	38	0.00	0.00	0.00	0.13	0.01	0.01	39	0.00	0.00	0.00	0.08	0.00	0.01	
9	43	0.00	0.00	0.00	0.11	0.22	0.03	44	0.00	0.00	0.00	0.15	0.41	0.03	
	39	0.00	0.00	0.00	0.06	0.00	0.01	2	0.00	0.00	0.00	0.02	0.01	0.01	
10	3	0.00	0.00	0.00	0.05	1.99	0.53	45	0.00	0.00	0.00	0.21	0.00	0.56	
	40	0.00	0.00	0.00	0.10	0.15	0.11	41	0.00	0.00	0.00	0.08	0.38	0.08	
11	45	0.00	0.00	0.00	0.03	0.05	0.22	46	0.00	0.00	0.00	0.25	0.16	0.05	
	41	0.00	0.00	0.00	0.01	0.40	0.16	42	0.00	0.00	0.00	0.06	0.06	0.01	
12	46	0.00	0.00	0.00	0.25	0.16	0.05	47	0.00	0.00	0.00	0.03	0.22	0.05	
	42	0.00	0.00	0.00	0.06	0.06	0.01	43	0.00	0.00	0.00	0.01	0.40	0.16	
13	47	0.00	0.00	0.00	0.21	0.00	0.56	4	0.00	0.00	0.00	0.05	1.99	0.53	
	43	0.00	0.00	0.00	0.08	0.38	0.08	44	0.00	0.00	0.00	0.10	0.15	0.11	
14	48	0.00	0.00	0.00	0.65	0.01	0.60	49	0.00	0.00	0.00	0.05	0.00	0.18	
	45	0.00	0.00	0.00	0.11	0.66	0.52	46	0.00	0.00	0.00	0.18	0.20	0.27	
15	49	0.00	0.00	0.00	0.05	0.00	0.18	50	0.00	0.00	0.00	0.65	0.01	0.60	
	46	0.00	0.00	0.00	0.18	0.20	0.27	47	0.00	0.00	0.00	0.11	0.66	0.52	
16	50	0.00	0.00	0.00	0.01	0.12	0.66	7	0.00	0.00	0.00	0.33	0.17	0.32	
	47	0.00	0.00	0.00	0.35	0.71	0.81	4	0.00	0.00</td					

CARATT. PESO PROPRIO: ASTE																
Tra tto	Filo In.	Alt. (m)	Tx (t)	Ty (t)	N (t)	Mx (t*m)	My (t*m)	Mt (t*m)	Filo Fin.	Alt. (m)	Tx (t)	Ty (t)	N (t)	Mx (t*m)	My (t*m)	Mt (t*m)
	6	2.33	0.00	0.00	0.01	0.00	0.00	0.00	8	2.33	0.00	0.00	-0.01	0.00	0.00	0.00
	8	2.33	0.00	0.00	0.01	0.00	0.00	0.00	4	2.33	0.00	0.01	-0.01	0.00	0.00	0.00
	1	2.33	0.00	-0.02	0.04	0.01	0.00	0.00	2	2.33	0.00	0.03	-0.04	0.02	0.00	0.00
	3	2.33	0.00	-0.02	0.04	0.01	0.00	0.00	4	2.33	0.00	0.03	-0.04	0.02	0.00	0.00
	1	2.33	0.00	0.01	0.00	0.00	0.00	0.00	3	2.33	0.00	0.01	0.00	0.00	0.00	0.00
	1	2.33	0.00	0.04	0.00	-0.01	0.00	0.00	13	2.64	0.00	-0.04	0.00	0.00	0.00	0.00
	9	2.64	0.00	-0.04	0.04	-0.03	0.00	0.00	2	2.33	0.00	0.04	-0.04	0.04	0.00	0.00
	13	2.64	0.00	0.03	-0.02	0.00	0.00	0.00	17	2.88	0.00	-0.03	0.02	-0.01	0.00	0.00
	17	2.88	0.00	0.01	-0.03	0.01	0.00	0.00	25	3.02	0.00	-0.01	0.04	-0.01	0.00	0.00
	21	2.88	0.00	-0.05	0.01	-0.01	0.00	0.00	9	2.64	0.00	0.05	-0.01	0.03	0.00	0.00
	25	3.02	0.00	-0.01	-0.04	0.01	0.00	0.00	33	3.06	0.00	0.01	0.04	-0.01	0.00	0.00
	29	3.02	0.00	-0.04	-0.02	0.00	0.00	0.00	21	2.88	0.00	0.05	0.01	0.01	0.00	0.00
	33	3.06	0.00	-0.03	-0.03	0.01	0.00	0.00	29	3.02	0.00	0.03	0.03	0.00	0.00	0.00
	3	2.33	0.00	0.04	0.00	-0.01	0.00	0.00	14	2.64	0.00	-0.04	0.00	0.00	0.00	0.00
	10	2.64	0.00	-0.04	0.04	-0.03	0.00	0.00	4	2.33	0.00	0.04	-0.04	0.04	0.00	0.00
	14	2.64	0.00	0.03	-0.02	0.00	0.00	0.00	18	2.88	0.00	-0.03	0.02	-0.01	0.00	0.00
	18	2.88	0.00	0.01	-0.03	0.01	0.00	0.00	26	3.02	0.00	-0.01	0.04	-0.01	0.00	0.00
	22	2.88	0.00	-0.05	0.01	-0.01	0.00	0.00	10	2.64	0.00	0.05	-0.01	0.03	0.00	0.00
	26	3.02	0.00	-0.01	-0.04	0.01	0.00	0.00	34	3.06	0.00	0.01	0.04	-0.01	0.00	0.00
	30	3.02	0.00	-0.04	-0.02	0.00	0.00	0.00	22	2.88	0.00	0.05	0.01	0.01	0.00	0.00
	34	3.06	0.00	-0.03	-0.03	0.01	0.00	0.00	30	3.02	0.00	0.03	0.03	0.00	0.00	0.00
	2	2.33	0.01	0.00	0.09	-0.06	-0.01	0.00	2	0.58	-0.01	0.00	-0.11	0.06	0.00	0.00
	4	2.33	-0.01	0.00	0.09	-0.06	-0.01	0.00	4	0.58	0.01	0.00	-0.11	0.06	0.00	0.00
	8	2.33	0.00	0.00	0.00	0.00	0.00	0.00	8	0.58	0.00	0.00	-0.01	0.00	0.00	0.00
	6	2.33	0.00	0.00	0.00	0.00	0.00	0.00	6	0.58	0.00	0.00	-0.01	0.00	0.00	0.00

TENS. PESO PROPRIO: SHELL																
Shell Nro	Nodo N.ro	S11 kg/cmq	S22 kg/cmq	S12 kg/cmq	M11 kg/cmq	M22 kg/cmq	M12 kg/cmq	Nodo N.ro	S11 kg/cmq	S22 kg/cmq	S12 kg/cmq	M11 kg/cmq	M22 kg/cmq	M12 kg/cmq		
1	40	0.00	0.00	0.00	0.02	0.06	0.08	41	0.00	0.00	0.00	-0.26	0.07	0.08		
	1	0.00	0.00	0.00	-0.09	0.00	0.05	37	0.00	0.00	0.00	-0.18	0.00	0.05		
2	4	0.00	0.00	0.00	-0.41	0.02	0.13	7	0.00	0.00	0.00	0.01	-0.42	-0.22		
	5	0.00	0.00	0.00	0.63	-0.03	0.25	6	0.00	0.00	0.00	-0.12	0.05	-0.09		
3	9	0.00	0.00	0.00	0.63	-0.03	-0.25	10	0.00	0.00	0.00	-0.12	0.05	0.09		
	3	0.00	0.00	0.00	-0.41	0.02	-0.13	8	0.00	0.00	0.00	0.01	-0.42	0.22		
4	8	0.00	0.00	0.00	-0.08	0.07	-0.08	48	0.00	0.00	0.00	-0.27	-0.04	-0.20		
	3	0.00	0.00	0.00	-0.10	-0.43	-0.15	45	0.00	0.00	0.00	-0.21	0.29	-0.27		
5	44	0.00	0.00	0.00	-0.02	0.05	-0.06	51	0.00	0.00	0.00	0.00	0.05	-0.05		
	2	0.00	0.00	0.00	-0.07	0.01	-0.04	11	0.00	0.00	0.00	-0.01	0.02	-0.04		
6	52	0.00	0.00	0.00	0.00	0.05	0.05	40	0.00	0.00	0.00	-0.02	0.05	0.06		
	12	0.00	0.00	0.00	-0.01	0.02	0.04	1	0.00	0.00	0.00	-0.07	0.01	0.04		
7	41	0.00	0.00	0.00	-0.24	0.08	0.05	42	0.00	0.00	0.00	-0.30	0.04	0.00		
	37	0.00	0.00	0.00	-0.20	-0.01	0.05	38	0.00	0.00	0.00	-0.25	0.00	0.00		
8	42	0.00	0.00	0.00	-0.30	0.04	0.00	43	0.00	0.00	0.00	-0.24	0.08	-0.05		
	38	0.00	0.00	0.00	-0.25	0.00	0.00	39	0.00	0.00	0.00	-0.20	-0.01	-0.05		
9	43	0.00	0.00	0.00	-0.26	0.07	-0.08	44	0.00	0.00	0.00	0.02	0.06	-0.08		
	39	0.00	0.00	0.00	-0.18	0.00	-0.05	2	0.00	0.00	0.00	-0.09	0.00	-0.05		
10	3	0.00	0.00	0.00	0.22	1.18	-0.14	45	0.00	0.00	0.00	-0.28	-0.06	-0.14		
	40	0.00	0.00	0.00	-0.01	-0.08	0.17	41	0.00	0.00	0.00	-0.24	0.16	0.17		
11	45	0.00	0.00	0.00	-0.33	-0.07	0.00	46	0.00	0.00	0.00	-0.26	0.04	-0.02		
	41	0.00	0.00	0.00	-0.22	0.17	0.01	42	0.00	0.00	0.00	-0.30	0.01	0.00		
12	46	0.00	0.00	0.00	-0.26	0.04	0.02	47	0.00	0.00	0.00	-0.33	-0.07	0.00		
	42	0.00	0.00	0.00	-0.30	0.01	0.00	43	0.00	0.00	0.00	-0.22	0.17	-0.01		
13	47	0.00	0.00	0.00	-0.28	-0.06	0.14	4	0.00	0.00	0.00	0.22	1.18	0.14		
	43	0.00	0.00	0.00	-0.24	0.16	-0.17	44	0.00	0.00	0.00	-0.01	-0.08	-0.17		
14	48	0.00	0.00	0.00	-0.10	-0.01	-0.15	49	0.00	0.00	0.00	-0.35	0.01	0.06		
	45	0.00	0.00	0.00	-0.26	0.28	-0.11	46	0.00	0.00	0.00	-0.30	-0.13	0.10		
15	49	0.00	0.00	0.00	-0.35	0.01	-0.06	50	0.00	0.00	0.00	-0.10	-0.01	0.15		
	46	0.00	0.00	0.00	-0.30	-0.13	-0.10	47	0.00	0.00	0.00	-0.26	0.28	0.11		
16	50	0.00	0.00	0.00	-0.27	-0.04	0.20	7	0.00	0.00	0.00	-0.08	0.07	0.08		
	47	0.00	0.00	0.00	-0.21	0.29	0.27	4	0.00	0.00	0.00	-0.10	-0.43	0.15		
17	4	0.00	0.00	0.00	0.35	1.20	-0.13	5	0.00	0.00	0.00	-0.01	0.73	-0.13		
	44	0.00	0.00	0.00	-0.04	-0.09	0.10	51	0.00	0.00	0.00	0.02	0.17	0.10		
18	9	0.00	0.00	0.00	-0.01	0.73	0.13	3	0.00	0.00	0.00	0.35	1.20	0.13		
	52	0.00	0.00	0.00	0.02	0.17	-0.10	40	0.00	0.00	0.00	-0.04	-0.09	-0.10		

CARATT. SOVRACCARICO PERMAN.: ASTE																
Tra tto	Filo In.	Alt. (m)	Tx (t)	Ty (t)	N (t)	Mx (t*m)	My (t*m)	Mt (t*m)	Filo Fin.	Alt. (m)	Tx (t)	Ty (t)	N (t)	Mx (t*m)	My (t*m)	Mt (t*m)
2	0.58	0.02	0.00	0.10	-0.04	0.01	0.00	2	0.00	-0.02	0.00	-0.10	0.04	0.00	0.00	0.00
4	0.58	-0.02	0.00	0.10	-0.04	-0.01	0.00	4	0.00	0.02	0.00	-0.10	0.04	0.00	0.00	0.00
2	0.58	0.00	0.03	0.01	-0.01	0.00	0.00	6	0.58	0.00	-0.01	-0.01	-0.01	0.00	0.00	0.

## CARATT. SOVRACCARICO PERMAN.: ASTE

Tra tto	Filo In.	Alt. (m)	Tx (t)	Ty (t)	N (t)	Mx (t*m)	My (t*m)	Mt (t*m)	Filo Fin.	Alt. (m)	Tx (t)	Ty (t)	N (t)	Mx (t*m)	My (t*m)	Mt (t*m)
	14	2.64	0.00	0.02	-0.01	0.00	0.00	0.00	18	2.88	0.00	-0.01	0.01	0.00	0.00	0.00
	18	2.88	0.00	0.01	-0.02	0.00	0.00	0.00	26	3.02	0.00	0.00	0.02	-0.01	0.00	0.00
	22	2.88	0.00	-0.03	0.01	-0.01	0.00	0.00	10	2.64	0.00	0.03	-0.01	0.01	0.00	0.00
	26	3.02	0.00	0.00	-0.02	0.01	0.00	0.00	34	3.06	0.00	0.01	0.02	0.00	0.00	0.00
	30	3.02	0.00	-0.02	-0.01	0.00	0.00	0.00	22	2.88	0.00	0.03	0.01	0.01	0.00	0.00
	34	3.06	0.00	-0.01	-0.02	0.00	0.00	0.00	30	3.02	0.00	0.02	0.02	0.00	0.00	0.00
	2	2.33	0.01	0.00	0.08	-0.03	0.01	0.00	2	0.58	-0.01	0.00	-0.08	0.03	0.01	0.00
	4	2.33	-0.01	0.00	0.08	-0.03	-0.01	0.00	4	0.58	0.01	0.00	-0.08	0.03	-0.01	0.00
	8	2.33	0.00	0.00	0.00	0.00	0.00	0.00	8	0.58	0.00	0.00	0.00	0.00	0.00	0.00
	6	2.33	0.00	0.00	0.00	0.00	0.00	0.00	6	0.58	0.00	0.00	0.00	0.00	0.00	0.00

## TENS. SOVRACCARICO PERMAN.: SHELL

Shell Nro	Nodo N.ro	S11 kg/cmq	S22 kg/cmq	S12 kg/cmq	M11 kg/cmq	M22 kg/cmq	M12 kg/cmq	Nodo N.ro	S11 kg/cmq	S22 kg/cmq	S12 kg/cmq	M11 kg/cmq	M22 kg/cmq	M12 kg/cmq
1	40	0.00	0.00	0.00	0.00	0.01	0.06	41	0.00	0.00	0.00	-0.19	0.04	0.06
	1	0.00	0.00	0.00	-0.07	0.00	0.04	37	0.00	0.00	0.00	-0.13	0.00	0.04
2	4	0.00	0.00	0.00	-0.21	0.06	0.09	7	0.00	0.00	0.00	0.01	-0.23	-0.12
	5	0.00	0.00	0.00	0.40	-0.01	0.17	6	0.00	0.00	0.00	-0.07	0.03	-0.04
3	9	0.00	0.00	0.00	0.40	-0.01	-0.17	10	0.00	0.00	0.00	-0.07	0.03	0.04
	3	0.00	0.00	0.00	-0.21	0.06	-0.09	8	0.00	0.00	0.00	0.01	-0.23	0.12
4	8	0.00	0.00	0.00	-0.05	0.04	-0.04	48	0.00	0.00	0.00	-0.21	-0.02	-0.09
	3	0.00	0.00	0.00	-0.06	-0.23	-0.08	45	0.00	0.00	0.00	-0.18	0.16	-0.13
5	44	0.00	0.00	0.00	-0.03	0.01	-0.05	51	0.00	0.00	0.00	0.00	0.00	-0.04
	2	0.00	0.00	0.00	-0.05	0.01	-0.03	11	0.00	0.00	0.00	-0.01	0.01	-0.03
6	52	0.00	0.00	0.00	0.00	0.00	0.04	40	0.00	0.00	0.00	-0.03	0.01	0.05
	12	0.00	0.00	0.00	-0.01	0.01	0.03	1	0.00	0.00	0.00	-0.05	0.01	0.03
7	41	0.00	0.00	0.00	-0.18	0.04	0.04	42	0.00	0.00	0.00	-0.22	0.02	0.00
	37	0.00	0.00	0.00	-0.15	-0.01	0.04	38	0.00	0.00	0.00	-0.18	0.00	0.00
8	42	0.00	0.00	0.00	-0.22	0.02	0.00	43	0.00	0.00	0.00	-0.18	0.04	-0.04
	38	0.00	0.00	0.00	-0.18	0.00	0.00	39	0.00	0.00	0.00	-0.15	-0.01	-0.04
9	43	0.00	0.00	0.00	-0.19	0.04	-0.06	44	0.00	0.00	0.00	0.00	0.01	-0.06
	39	0.00	0.00	0.00	-0.13	0.00	-0.04	2	0.00	0.00	0.00	-0.07	0.00	-0.04
10	3	0.00	0.00	0.00	0.13	0.72	-0.05	45	0.00	0.00	0.00	-0.22	-0.04	-0.07
	40	0.00	0.00	0.00	-0.02	-0.07	0.13	41	0.00	0.00	0.00	-0.18	0.09	0.11
11	45	0.00	0.00	0.00	-0.25	-0.05	0.01	46	0.00	0.00	0.00	-0.21	0.02	-0.01
	41	0.00	0.00	0.00	-0.17	0.09	0.02	42	0.00	0.00	0.00	-0.22	0.00	0.00
12	46	0.00	0.00	0.00	-0.21	0.02	0.01	47	0.00	0.00	0.00	-0.25	-0.05	-0.01
	42	0.00	0.00	0.00	-0.22	0.00	0.00	43	0.00	0.00	0.00	-0.17	0.09	-0.02
13	47	0.00	0.00	0.00	-0.22	-0.04	0.07	4	0.00	0.00	0.00	0.13	0.72	0.05
	43	0.00	0.00	0.00	-0.18	0.09	-0.11	44	0.00	0.00	0.00	-0.02	-0.07	-0.13
14	48	0.00	0.00	0.00	-0.13	-0.01	-0.06	49	0.00	0.00	0.00	-0.27	0.01	0.03
	45	0.00	0.00	0.00	-0.21	0.15	-0.04	46	0.00	0.00	0.00	-0.23	-0.08	0.05
15	49	0.00	0.00	0.00	-0.27	0.01	-0.03	50	0.00	0.00	0.00	-0.13	-0.01	0.06
	46	0.00	0.00	0.00	-0.23	-0.08	-0.05	47	0.00	0.00	0.00	-0.21	0.15	0.04
16	50	0.00	0.00	0.00	-0.21	-0.02	0.09	7	0.00	0.00	0.00	-0.05	0.04	0.04
	47	0.00	0.00	0.00	-0.18	0.16	0.13	4	0.00	0.00	0.00	-0.06	-0.23	0.08
17	4	0.00	0.00	0.00	0.25	0.74	-0.10	5	0.00	0.00	0.00	0.00	0.46	-0.09
	44	0.00	0.00	0.00	-0.05	-0.07	0.04	51	0.00	0.00	0.00	0.01	0.07	0.04
18	9	0.00	0.00	0.00	0.00	0.46	0.09	3	0.00	0.00	0.00	0.25	0.74	0.10
	52	0.00	0.00	0.00	0.01	0.07	-0.04	40	0.00	0.00	0.00	-0.05	-0.07	-0.04

## CARATT. Var.Amb.affol.: ASTE

Tra tto	Filo In.	Alt. (m)	Tx (t)	Ty (t)	N (t)	Mx (t*m)	My (t*m)	Mt (t*m)	Filo Fin.	Alt. (m)	Tx (t)	Ty (t)	N (t)	Mx (t*m)	My (t*m)	Mt (t*m)
2	0.58	0.00	0.00	0.00	0.00	0.00	0.00	0.00	2	0.00	0.00	0.00	0.00	0.00	0.00	0.00
4	0.58	0.00	0.00	0.00	0.00	0.00	0.00	0.00	4	0.00	0.00	0.00	0.00	0.00	0.00	0.00
2	0.58	0.00	0.00	0.00	0.00	0.00	0.00	0.00	6	0.58	0.00	0.00	0.00	0.00	0.00	0.00
6	0.58	0.00	0.00	0.00	0.00	0.00	0.00	0.00	8	0.58	0.00	0.00	0.00	0.00	0.00	0.00
8	0.58	0.00	0.00	0.00	0.00	0.00	0.00	0.00	4	0.58	0.00	0.00	0.00	0.00	0.00	0.00
2	2.33	0.00	0.00	0.00	0.00	0.00	0.00	0.00	6	2.33	0.00	0.00	0.00	0.00	0.00	0.00
6	2.33	0.00	0.00	0.00	0.00	0.00	0.00	0.00	8	2.33	0.00	0.00	0.00	0.00	0.00	0.00
8	2.33	0.00	0.00	0.00	0.00	0.00	0.00	0.00	4	2.33	0.00	0.00	0.00	0.00	0.00	0.00
2	2.33	0.00	0.00	0.00	0.00	0.00	0.00	0.00	2	2.33	0.00	0.00	0.00	0.00	0.00	0.00
1	2.33	0.00	0.00	0.00	0.00	0.00	0.00	0.00	3	2.33	0.00	0.00	0.00	0.00	0.00	0.00
1	2.33	0.00	0.00	0.00	0.00	0.00	0.00	0.00	13	2.64	0.00	0.00	0.00	0.00	0.00	0.00
9	2.64	0.00	0.00	0.00	0.00	0.00	0.00	0.00	2	2.33	0.00	0.00	0.00	0.00	0.00	0.00
13	2.64	0.00	0.00	0.00	0.00	0.00	0.00	0.00	17	2.88	0.00	0.00	0.00	0.00	0.00	0.00
17	2.88	0.00	0.00	0.00	0.00	0.00	0.00	0.00	25	3.02	0.00	0.00	0.00	0.00	0.00	0.00
21	2.88	0.00	0.00	0.00	0.00	0.00	0.00	0.00	9	2.64	0.00	0.00	0.00	0.00	0.00	0.00
25	3.02	0.00	0.00	0.00	0.00	0.00	0.00	0.00	33	3.06	0.00	0.00	0.00	0.00	0.00	0.00
33	3.06	0.00	0.00	0.00	0.00	0.00	0.00	0.00	29	3.02	0.00	0.00	0.00	0.00	0.00	0.00
3	2.33	0.00	0.00	0.00	0.00	0.00	0.00	0.00	14	2.64	0.00	0.00	0.00	0.00	0.00	0.00
10	2.64	0.00	0.00	0.00	0.00	0.00	0.00	0.00	4	2.33	0.00	0.00	0.00	0.00	0.00	0.00
14	2.64	0.00	0.00	0.00	0.00	0.00	0.00	0.00	18	2.88	0.00	0.00	0.00	0.00	0.00	0.00
18	2.88	0.00	0.00	0.00	0.00	0.00	0.00	0.00	26	3.02	0.00	0.00	0.00	0.00	0.00	0.00
22	2.88	0.00	0.00													

## TENS. Var.Amb.affol.: SHELL

Shell Nro	Nodo N.ro	S11 kg/cmq	S22 kg/cmq	S12 kg/cmq	M11 kg/cmq	M22 kg/cmq	M12 kg/cmq	Nodo N.ro	S11 kg/cmq	S22 kg/cmq	S12 kg/cmq	M11 kg/cmq	M22 kg/cmq	M12 kg/cmq
1	40	0.00	0.00	0.00	0.00	0.00	0.00	41	0.00	0.00	0.00	0.00	0.00	0.00
	1	0.00	0.00	0.00	0.00	0.00	0.00	37	0.00	0.00	0.00	0.00	0.00	0.00
2	4	0.00	0.00	0.00	0.00	0.00	0.00	7	0.00	0.00	0.00	0.00	-0.01	0.00
	5	0.00	0.00	0.00	0.01	0.00	0.00	6	0.00	0.00	0.00	0.00	0.00	0.00
3	9	0.00	0.00	0.00	0.00	0.00	0.00	10	0.00	0.00	0.00	0.00	0.00	0.00
	3	0.00	0.00	0.00	0.00	0.00	0.00	8	0.00	0.00	0.00	0.00	0.00	0.00
4	8	0.00	0.00	0.00	0.00	0.00	0.00	48	0.00	0.00	0.00	0.00	0.00	0.00
	3	0.00	0.00	0.00	0.00	0.00	0.00	45	0.00	0.00	0.00	0.00	0.00	0.00
5	44	0.00	0.00	0.00	0.00	0.00	0.00	51	0.00	0.00	0.00	0.00	0.00	0.00
	2	0.00	0.00	0.00	0.00	0.00	0.00	11	0.00	0.00	0.00	0.00	0.00	0.00
6	52	0.00	0.00	0.00	0.00	0.00	0.00	40	0.00	0.00	0.00	0.00	0.00	0.00
	12	0.00	0.00	0.00	0.00	0.00	0.00	1	0.00	0.00	0.00	0.00	0.00	0.00
7	41	0.00	0.00	0.00	0.00	0.00	0.00	42	0.00	0.00	0.00	0.00	0.00	0.00
	37	0.00	0.00	0.00	0.00	0.00	0.00	38	0.00	0.00	0.00	0.00	0.00	0.00
8	42	0.00	0.00	0.00	0.00	0.00	0.00	43	0.00	0.00	0.00	0.00	0.00	0.00
	38	0.00	0.00	0.00	0.00	0.00	0.00	39	0.00	0.00	0.00	0.00	0.00	0.00
9	43	0.00	0.00	0.00	0.00	0.00	0.00	44	0.00	0.00	0.00	0.00	0.00	0.00
	39	0.00	0.00	0.00	0.00	0.00	0.00	2	0.00	0.00	0.00	0.00	0.00	0.00
10	3	0.00	0.00	0.00	0.00	0.00	0.00	45	0.00	0.00	0.00	0.00	0.00	0.00
	40	0.00	0.00	0.00	0.00	0.00	0.00	41	0.00	0.00	0.00	0.00	0.00	0.00
11	45	0.00	0.00	0.00	0.00	0.00	0.00	46	0.00	0.00	0.00	0.00	0.00	0.00
	41	0.00	0.00	0.00	0.00	0.00	0.00	42	0.00	0.00	0.00	0.00	0.00	0.00
12	46	0.00	0.00	0.00	0.00	0.00	0.00	47	0.00	0.00	0.00	0.00	0.00	0.00
	42	0.00	0.00	0.00	0.00	0.00	0.00	43	0.00	0.00	0.00	0.00	0.00	0.00
13	47	0.00	0.00	0.00	0.00	0.00	0.00	4	0.00	0.00	0.00	0.00	0.00	0.00
	43	0.00	0.00	0.00	0.00	0.00	0.00	44	0.00	0.00	0.00	0.00	0.00	0.00
14	48	0.00	0.00	0.00	0.00	0.00	0.00	49	0.00	0.00	0.00	0.00	0.00	0.00
	45	0.00	0.00	0.00	0.00	0.00	0.00	46	0.00	0.00	0.00	0.00	0.00	0.00
15	49	0.00	0.00	0.00	0.00	0.00	0.00	50	0.00	0.00	0.00	0.00	0.00	0.00
	46	0.00	0.00	0.00	0.00	0.00	0.00	47	0.00	0.00	0.00	0.00	0.00	0.00
16	50	0.00	0.00	0.00	0.00	0.00	0.00	7	0.00	0.00	0.00	0.00	0.00	0.00
	47	0.00	0.00	0.00	0.00	0.00	0.00	4	0.00	0.00	0.00	0.00	0.00	0.00
17	4	0.00	0.00	0.00	0.00	0.00	0.00	5	0.00	0.00	0.00	0.00	0.00	0.00
	44	0.00	0.00	0.00	0.00	0.00	0.00	51	0.00	0.00	0.00	0.00	0.00	0.00
18	9	0.00	0.00	0.00	0.00	0.00	0.00	3	0.00	0.00	0.00	0.00	0.00	0.00
	52	0.00	0.00	0.00	0.00	0.00	0.00	40	0.00	0.00	0.00	0.00	0.00	0.00

## CARATT. Var.Bibl.Arch.: ASTE

Tra tto	Filo In.	Alt. (m)	Tx (t)	Ty (t)	N (t)	Mx (t*m)	My (t*m)	Mt (t*m)	Filo Fin.	Alt. (m)	Tx (t)	Ty (t)	N (t)	Mx (t*m)	My (t*m)	Mt (t*m)
2	0.58	0.00	0.00	0.00	0.00	0.00	0.00	0.00	2	0.00	0.00	0.00	0.00	0.00	0.00	0.00
4	0.58	0.00	0.00	0.00	0.00	0.00	0.00	0.00	4	0.00	0.00	0.00	0.00	0.00	0.00	0.00
2	0.58	0.00	0.00	0.00	0.00	0.00	0.00	0.00	6	0.58	0.00	0.00	0.00	0.00	0.00	0.00
6	0.58	0.00	0.00	0.00	0.00	0.00	0.00	0.00	8	0.58	0.00	0.00	0.00	0.00	0.00	0.00
8	0.58	0.00	0.00	0.00	0.00	0.00	0.00	0.00	4	0.58	0.00	0.00	0.00	0.00	0.00	0.00
2	2.33	0.00	0.00	0.00	0.00	0.00	0.00	0.00	6	2.33	0.00	0.00	0.00	0.00	0.00	0.00
6	2.33	0.00	0.00	0.00	0.00	0.00	0.00	0.00	8	2.33	0.00	0.00	0.00	0.00	0.00	0.00
8	2.33	0.00	0.00	0.00	0.00	0.00	0.00	0.00	4	2.33	0.00	0.00	0.00	0.00	0.00	0.00
1	2.33	0.00	0.00	0.00	0.00	0.00	0.00	0.00	2	2.33	0.00	0.00	0.00	0.00	0.00	0.00
3	2.33	0.00	0.00	0.00	0.00	0.00	0.00	0.00	4	2.33	0.00	0.00	0.00	0.00	0.00	0.00
1	2.33	0.00	0.00	0.00	0.00	0.00	0.00	0.00	3	2.33	0.00	0.00	0.00	0.00	0.00	0.00
1	2.33	0.00	0.00	0.00	0.00	0.00	0.00	0.00	13	2.64	0.00	0.00	0.00	0.00	0.00	0.00
9	2.64	0.00	0.00	0.00	0.00	0.00	0.00	0.00	2	2.33	0.00	0.00	0.00	0.00	0.00	0.00
13	2.64	0.00	0.00	0.00	0.00	0.00	0.00	0.00	17	2.88	0.00	0.00	0.00	0.00	0.00	0.00
17	2.88	0.00	0.00	0.00	0.00	0.00	0.00	0.00	25	3.02	0.00	0.00	0.00	0.00	0.00	0.00
21	2.88	0.00	0.00	0.00	0.00	0.00	0.00	0.00	9	2.64	0.00	0.00	0.00	0.00	0.00	0.00
25	3.02	0.00	0.00	0.00	0.00	0.00	0.00	0.00	33	3.06	0.00	0.00	0.00	0.00	0.00	0.00
29	3.02	0.00	0.00	0.00	0.00	0.00	0.00	0.00	21	2.88	0.00	0.00	0.00	0.00	0.00	0.00
33	3.06	0.00	0.00	0.00	0.00	0.00	0.00	0.00	29	3.02	0.00	0.00	0.00	0.00	0.00	0.00
3	2.33	0.00	0.00	0.00	0.00	0.00	0.00	0.00	14	2.64	0.00	0.00	0.00	0.00	0.00	0.00
10	2.64	0.00	0.00	0.00	0.00	0.00	0.00	0.00	4	2.33	0.00	0.00	0.00	0.00	0.00	0.00
14	2.64	0.00	0.00	0.00	0.00	0.00	0.00	0.00	18	2.88	0.00	0.00	0.00	0.00	0.00	0.00
18	2.88	0.00	0.00	0.00	0.00	0.00	0.00	0.00	26	3.02	0.00	0.00	0.00	0.00	0.00	0.00
22	2.88	0.00	0.00	0.00	0.00	0.00	0.00	0.00	10	2.64	0.00	0.00	0.00	0.00	0.00	0.00
26	3.02	0.00	0.00	0.00	0.00	0.00	0.00	0.00	34	3.06	0.00	0.00	0.00	0.00	0.00	0.00
30	3.02	0.00	0.00	0.00	0.00	0.00	0.00	0.00	22	2.88	0.00	0.00	0.00	0.00	0.00	0.00
34	3.06	0.00	0.00	0.00	0.00	0.00	0.00	0.00	30	3.02	0.00	0.00	0.00	0.00	0.00	0.00
2	2.33	0.00	0.00	0.00	0.00	0.00	0.00	0.00	2	0.58	0.00	0.00	0.00	0.00	0.00	0.00
4	2.33	0.00	0.00	0.00	0.00	0.00	0.00	0.00	4	0.58	0.00	0.00	0.00	0.00	0.00	0.00
8	2.33	0.00	0.00	0.00	0.00	0.00	0.00	0.00	8	0.58	0.00	0.00	0.00	0.00	0.00	0.00
6	2.33	0.00	0.00	0.00	0.00	0.00	0.00	0.00	6	0.58	0.00	0.00	0.00	0.00	0.00	0.00

## TENS. Var.Bibl.Arch.: SHELL

Shell Nro	Nodo N.ro	S11 kg/cmq	S22 kg/cmq	S12 kg/cmq	M11 kg/cmq	M22 kg/cmq	M12 kg/cmq	Nodo N.ro	S11 kg/cmq	S22 kg/cmq	S12 kg/cmq	M11 kg/cmq	M22 kg/cmq
-----------	-----------	------------	------------	------------	------------	------------	------------	-----------	------------	------------	------------	------------	------------

## TENS. Var.Bibl.Arch.: SHELL

Shell Nro	Nodo N.ro	S11 kg/cmq	S22 kg/cmq	S12 kg/cmq	M11 kg/cmq	M22 kg/cmq	M12 kg/cmq	Nodo N.ro	S11 kg/cmq	S22 kg/cmq	S12 kg/cmq	M11 kg/cmq	M22 kg/cmq	M12 kg/cmq
9	38	0.00	0.00	0.00	0.00	0.00	0.00	39	0.00	0.00	0.00	0.00	0.00	0.00
9	43	0.00	0.00	0.00	0.00	0.00	0.00	44	0.00	0.00	0.00	0.00	0.00	0.00
10	39	0.00	0.00	0.00	0.00	0.00	0.00	2	0.00	0.00	0.00	0.00	0.00	0.00
10	3	0.00	0.00	0.00	0.00	0.01	0.00	45	0.00	0.00	0.00	0.00	0.00	0.00
11	40	0.00	0.00	0.00	0.00	0.00	0.00	41	0.00	0.00	0.00	0.00	0.00	0.00
11	45	0.00	0.00	0.00	0.00	0.00	0.00	46	0.00	0.00	0.00	0.00	0.00	0.00
12	41	0.00	0.00	0.00	0.00	0.00	0.00	42	0.00	0.00	0.00	0.00	0.00	0.00
12	46	0.00	0.00	0.00	0.00	0.00	0.00	47	0.00	0.00	0.00	0.00	0.00	0.00
13	42	0.00	0.00	0.00	0.00	0.00	0.00	43	0.00	0.00	0.00	0.00	0.00	0.00
13	47	0.00	0.00	0.00	0.00	0.00	0.00	4	0.00	0.00	0.00	0.00	0.01	0.00
14	43	0.00	0.00	0.00	0.00	0.00	0.00	44	0.00	0.00	0.00	0.00	0.00	0.00
14	48	0.00	0.00	0.00	0.00	0.00	0.00	49	0.00	0.00	0.00	0.00	0.00	0.00
15	45	0.00	0.00	0.00	0.00	0.00	0.00	46	0.00	0.00	0.00	0.00	0.00	0.00
15	49	0.00	0.00	0.00	0.00	0.00	0.00	50	0.00	0.00	0.00	0.00	0.00	0.00
16	46	0.00	0.00	0.00	0.00	0.00	0.00	47	0.00	0.00	0.00	0.00	0.00	0.00
16	50	0.00	0.00	0.00	0.00	0.00	0.00	7	0.00	0.00	0.00	0.00	0.00	0.00
17	47	0.00	0.00	0.00	0.00	0.00	0.00	4	0.00	0.00	0.00	0.00	-0.01	0.00
17	4	0.00	0.00	0.00	0.01	0.00	0.00	5	0.00	0.00	0.00	0.00	0.01	0.00
17	44	0.00	0.00	0.00	0.00	0.00	0.00	51	0.00	0.00	0.00	0.00	0.00	0.00
18	9	0.00	0.00	0.00	0.01	0.00	0.00	3	0.00	0.00	0.00	0.00	0.01	0.00
18	52	0.00	0.00	0.00	0.00	0.00	0.00	40	0.00	0.00	0.00	0.00	0.00	0.00

## CARATT. Var.Neve h&lt;=1000: ASTE

Tra tto	Filo In.	Alt. (m)	Tx (t)	Ty (t)	N (t)	Mx (t*m)	My (t*m)	Mt (t*m)	Filo Fin.	Alt. (m)	Tx (t)	Ty (t)	N (t)	Mx (t*m)	My (t*m)	Mt (t*m)
2	0.58	0.00	0.00	0.11	-0.08	0.00	0.00	2	0.00	0.00	0.00	-0.11	0.08	0.00	0.00	0.00
4	0.58	0.00	0.00	0.11	-0.08	0.00	0.00	4	0.00	0.00	0.00	-0.11	0.08	0.00	0.00	0.00
2	0.58	0.00	0.00	0.00	0.00	0.00	0.00	6	0.58	0.00	0.00	0.00	0.00	0.00	0.00	0.00
6	0.58	0.00	0.00	0.00	0.00	0.00	0.00	8	0.58	0.00	0.00	0.00	0.00	0.00	0.00	0.00
8	0.58	0.00	0.00	0.00	0.00	0.00	0.00	4	0.58	0.00	0.00	0.00	0.00	0.00	0.00	0.00
2	2.33	0.00	0.00	0.00	0.00	0.00	0.00	6	2.33	0.00	0.00	0.00	0.00	0.00	0.00	0.00
6	2.33	0.00	0.00	0.00	0.00	0.00	0.00	8	2.33	0.00	0.00	0.00	0.00	0.00	0.00	0.00
8	2.33	0.00	0.00	0.00	0.00	0.00	0.00	4	2.33	0.00	0.00	0.00	0.00	0.00	0.00	0.00
1	2.33	0.00	-0.03	0.02	0.02	0.00	0.00	2	2.33	0.00	0.03	-0.02	0.03	0.00	0.00	0.00
3	2.33	0.00	-0.03	0.02	0.02	0.00	0.00	4	2.33	0.00	0.03	-0.02	0.03	0.00	0.00	0.00
1	2.33	0.00	0.00	0.00	0.00	0.00	0.00	3	2.33	0.00	0.00	0.00	0.00	0.00	0.00	0.00
1	2.33	0.00	0.03	0.03	-0.02	0.00	0.00	13	2.64	0.00	-0.03	-0.03	0.01	0.00	0.00	0.00
9	2.64	0.00	-0.04	0.08	-0.04	0.00	0.00	2	2.33	0.00	0.04	-0.08	0.05	0.00	0.00	0.00
13	2.64	0.00	0.04	0.01	-0.01	0.00	0.00	17	2.88	0.00	-0.04	-0.01	0.00	0.00	0.00	0.00
17	2.88	0.00	0.04	0.00	0.00	0.00	0.00	25	3.02	0.00	-0.04	0.00	-0.02	0.00	0.00	0.00
21	2.88	0.00	-0.07	0.05	-0.02	0.00	0.00	9	2.64	0.00	0.07	-0.05	0.04	0.00	0.00	0.00
25	3.02	0.00	0.04	-0.02	0.02	0.00	0.00	33	3.06	0.00	0.02	0.03	-0.02	0.00	0.00	0.00
29	3.02	0.00	-0.08	0.02	0.00	0.00	0.00	21	2.88	0.00	0.08	-0.02	0.02	0.00	0.00	0.00
33	3.06	0.00	-0.03	-0.02	0.02	0.00	0.00	29	3.02	0.00	0.08	0.01	0.00	0.00	0.00	0.00
3	2.33	0.00	0.03	0.03	-0.02	0.00	0.00	14	2.64	0.00	-0.03	-0.03	0.01	0.00	0.00	0.00
10	2.64	0.00	-0.04	0.08	-0.04	0.00	0.00	4	2.33	0.00	0.04	-0.08	0.05	0.00	0.00	0.00
14	2.64	0.00	0.04	0.01	-0.01	0.00	0.00	18	2.88	0.00	-0.04	-0.01	0.00	0.00	0.00	0.00
18	2.88	0.00	0.04	0.00	0.00	0.00	0.00	26	3.02	0.00	-0.04	0.00	-0.02	0.00	0.00	0.00
22	2.88	0.00	-0.07	0.05	-0.02	0.00	0.00	10	2.64	0.00	0.07	-0.05	0.04	0.00	0.00	0.00
26	3.02	0.00	0.04	-0.02	0.02	0.00	0.00	34	3.06	0.00	0.02	0.03	-0.02	0.00	0.00	0.00
30	3.02	0.00	-0.08	0.02	0.00	0.00	0.00	22	2.88	0.00	0.08	-0.02	0.02	0.00	0.00	0.00
34	3.06	0.00	-0.03	-0.02	0.02	0.00	0.00	30	3.02	0.00	0.08	0.01	0.00	0.00	0.00	0.00
2	2.33	0.00	0.00	0.11	-0.07	0.00	0.00	2	0.58	0.00	0.00	-0.11	0.07	0.00	0.00	0.00
4	2.33	0.00	0.00	0.11	-0.07	0.00	0.00	4	0.58	0.00	0.00	-0.11	0.07	0.00	0.00	0.00
8	2.33	0.00	0.00	0.00	-0.07	0.00	0.00	8	0.58	0.00	0.00	-0.11	0.07	0.00	0.00	0.00
6	2.33	0.00	0.00	0.00	0.00	0.00	0.00	6	0.58	0.00	0.00	0.00	0.00	0.00	0.00	0.00

## TENS. Var.Neve h&lt;=1000: SHELL

Shell Nro	Nodo N.ro	S11 kg/cmq	S22 kg/cmq	S12 kg/cmq	M11 kg/cmq	M22 kg/cmq	M12 kg/cmq	Nodo N.ro	S11 kg/cmq	S22 kg/cmq	S12 kg/cmq	M11 kg/cmq	M22 kg/cmq	M12 kg/cmq	
1	40	0.00	0.00	0.05	0.14	0.06	41	0.00	0.00	0.00	-0.23	0.11	0.06		
1	1	0.00	0.00	0.00	-0.08	0.00	0.04	37	0.00	0.00	0.00	-0.16	0.00	0.05	
2	4	0.00	0.00	0.00	-0.59	-0.05	0.12	7	0.00	0.00	0.00	0.00	-0.61	-0.14	
2	5	0.00	0.00	0.00	0.71	-0.05	0.28	6	0.00	0.00	0.00	-0.14	0.07	-0.14	
3	9	0.00	0.00	0.00	0.71	-0.05	-0.28	10	0.00	0.00	0.00	-0.14	0.07	0.14	
3	3	0.00	0.00	0.00	-0.59	-0.05	-0.12	8	0.00	0.00	0.00	0.00	-0.61	0.31	
4	8	0.00	0.00	0.00	-0.12	0.10	-0.13	48	0.00	0.00	0.00	0.00	-0.22	-0.06	
3	3	0.00	0.00	0.00	-0.19	-0.61	-0.22	45	0.00	0.00	0.00	0.00	-0.10	-0.38	
5	44	0.00	0.00	0.00	0.01	0.13	-0.04	51	0.00	0.00	0.00	0.00	0.00	-0.03	
2	2	0.00	0.00	0.00	-0.06	0.00	-0.03	11	0.00	0.00	0.00	-0.01	0.01	-0.03	
6	52	0.00	0.00	0.00	0.13	0.03	0.00	40	0.00	0.00	0.00	0.01	0.13	0.04	
12	0.00	0.00	0.00	-0.01	0.01	0.03	1	0.00	0.00	0.00	-0.06	0.00	0.03		
7	41	0.00	0.00	0.00	-0.20	0.11	0.03	42	0.00	0.00	0.00	-0.25	0.05	-0.01	
37	0.00	0.00	0.00	-0.18	-0.01	0.04	38	0.00	0.00	0.00	-0.23	0.01	0.00		
8	42	0.00	0.00	0.00	-0.25	0.05	0.01	43							

TENS. Var.Neve h<1000: SHELL														
Shell Nro	Nodo N.ro	S11 kg/cmq	S22 kg/cmq	S12 kg/cmq	M11 kg/cmq	M22 kg/cmq	M12 kg/cmq	Nodo N.ro	S11 kg/cmq	S22 kg/cmq	S12 kg/cmq	M11 kg/cmq	M22 kg/cmq	M12 kg/cmq
16	50	0.00	0.00	0.00	-0.22	-0.06	0.30	7	0.00	0.00	0.00	-0.12	0.10	0.13
	47	0.00	0.00	0.00	-0.10	0.38	0.39	4	0.00	0.00	0.00	-0.19	-0.61	0.22
17	4	0.00	0.00	0.00	0.35	1.41	-0.11	5	0.00	0.00	0.00	-0.02	0.83	-0.12
	44	0.00	0.00	0.00	-0.02	-0.04	0.16	51	0.00	0.00	0.00	0.03	0.28	0.15
18	9	0.00	0.00	0.00	-0.02	0.83	0.12	3	0.00	0.00	0.00	0.35	1.41	0.11
	52	0.00	0.00	0.00	0.03	0.28	-0.15	40	0.00	0.00	0.00	-0.02	-0.04	-0.16

CARATT. Var.Copertura: ASTE																
Tra tto	Filo In.	Alt. (m)	Tx (t)	Ty (t)	N (t)	Mx (t*m)	My (t*m)	Mt (t*m)	Filo Fin.	Alt. (m)	Tx (t)	Ty (t)	N (t)	Mx (t*m)	My (t*m)	Mt (t*m)
	2	0.58	0.00	0.00	0.00	0.00	0.00	0.00	2	0.00	0.00	0.00	0.00	0.00	0.00	0.00
	4	0.58	0.00	0.00	0.00	0.00	0.00	0.00	4	0.00	0.00	0.00	0.00	0.00	0.00	0.00
	2	0.58	0.00	0.00	0.00	0.00	0.00	0.00	6	0.58	0.00	0.00	0.00	0.00	0.00	0.00
	6	0.58	0.00	0.00	0.00	0.00	0.00	0.00	8	0.58	0.00	0.00	0.00	0.00	0.00	0.00
	8	0.58	0.00	0.00	0.00	0.00	0.00	0.00	4	0.58	0.00	0.00	0.00	0.00	0.00	0.00
	2	2.33	0.00	0.00	0.00	0.00	0.00	0.00	6	2.33	0.00	0.00	0.00	0.00	0.00	0.00
	6	2.33	0.00	0.00	0.00	0.00	0.00	0.00	8	2.33	0.00	0.00	0.00	0.00	0.00	0.00
	8	2.33	0.00	0.00	0.00	0.00	0.00	0.00	4	2.33	0.00	0.00	0.00	0.00	0.00	0.00
	1	2.33	0.00	0.00	0.00	0.00	0.00	0.00	2	2.33	0.00	0.00	0.00	0.00	0.00	0.00
	3	2.33	0.00	0.00	0.00	0.00	0.00	0.00	4	2.33	0.00	0.00	0.00	0.00	0.00	0.00
	1	2.33	0.00	0.00	0.00	0.00	0.00	0.00	3	2.33	0.00	0.00	0.00	0.00	0.00	0.00
	1	2.33	0.00	0.00	0.00	0.00	0.00	0.00	13	2.64	0.00	0.00	0.00	0.00	0.00	0.00
	9	2.64	0.00	0.00	0.00	0.00	0.00	0.00	2	2.33	0.00	0.00	0.00	0.00	0.00	0.00
	13	2.64	0.00	0.00	0.00	0.00	0.00	0.00	17	2.88	0.00	0.00	0.00	0.00	0.00	0.00
	17	2.88	0.00	0.00	0.00	0.00	0.00	0.00	25	3.02	0.00	0.00	0.00	0.00	0.00	0.00
	21	2.88	0.00	0.00	0.00	0.00	0.00	0.00	9	2.64	0.00	0.00	0.00	0.00	0.00	0.00
	25	3.02	0.00	0.00	0.00	0.00	0.00	0.00	33	3.06	0.00	0.00	0.00	0.00	0.00	0.00
	29	3.02	0.00	0.00	0.00	0.00	0.00	0.00	21	2.88	0.00	0.00	0.00	0.00	0.00	0.00
	33	3.06	0.00	0.00	0.00	0.00	0.00	0.00	29	3.02	0.00	0.00	0.00	0.00	0.00	0.00
	3	2.33	0.00	0.00	0.00	0.00	0.00	0.00	14	2.64	0.00	0.00	0.00	0.00	0.00	0.00
	10	2.64	0.00	0.00	0.00	0.00	0.00	0.00	4	2.33	0.00	0.00	0.00	0.00	0.00	0.00
	14	2.64	0.00	0.00	0.00	0.00	0.00	0.00	18	2.88	0.00	0.00	0.00	0.00	0.00	0.00
	18	2.88	0.00	0.00	0.00	0.00	0.00	0.00	26	3.02	0.00	0.00	0.00	0.00	0.00	0.00
	22	2.88	0.00	0.00	0.00	0.00	0.00	0.00	10	2.64	0.00	0.00	0.00	0.00	0.00	0.00
	26	3.02	0.00	0.00	0.00	0.00	0.00	0.00	34	3.06	0.00	0.00	0.00	0.00	0.00	0.00
	30	3.02	0.00	0.00	0.00	0.00	0.00	0.00	22	2.88	0.00	0.00	0.00	0.00	0.00	0.00
	34	3.06	0.00	0.00	0.00	0.00	0.00	0.00	30	3.02	0.00	0.00	0.00	0.00	0.00	0.00
	2	2.33	0.00	0.00	0.00	0.00	0.00	0.00	2	0.58	0.00	0.00	0.00	0.00	0.00	0.00
	4	2.33	0.00	0.00	0.00	0.00	0.00	0.00	4	0.58	0.00	0.00	0.00	0.00	0.00	0.00
	8	2.33	0.00	0.00	0.00	0.00	0.00	0.00	8	0.58	0.00	0.00	0.00	0.00	0.00	0.00
	6	2.33	0.00	0.00	0.00	0.00	0.00	0.00	6	0.58	0.00	0.00	0.00	0.00	0.00	0.00

TENS. Var.Copertura: SHELL														
Shell Nro	Nodo N.ro	S11 kg/cmq	S22 kg/cmq	S12 kg/cmq	M11 kg/cmq	M22 kg/cmq	M12 kg/cmq	Nodo N.ro	S11 kg/cmq	S22 kg/cmq	S12 kg/cmq	M11 kg/cmq	M22 kg/cmq	M12 kg/cmq
1	40	0.00	0.00	0.00	0.00	0.00	0.00	41	0.00	0.00	0.00	0.00	0.00	0.00
	1	0.00	0.00	0.00	0.00	0.00	0.00	37	0.00	0.00	0.00	0.00	0.00	0.00
2	4	0.00	0.00	0.00	0.00	0.00	0.00	7	0.00	0.00	0.00	0.00	0.00	0.00
	5	0.00	0.00	0.00	0.00	0.00	0.00	6	0.00	0.00	0.00	0.00	0.00	0.00
3	9	0.00	0.00	0.00	0.00	0.00	0.00	10	0.00	0.00	0.00	0.00	0.00	0.00
	3	0.00	0.00	0.00	0.00	0.00	0.00	8	0.00	0.00	0.00	0.00	0.00	0.00
4	8	0.00	0.00	0.00	0.00	0.00	0.00	48	0.00	0.00	0.00	0.00	0.00	0.00
	3	0.00	0.00	0.00	0.00	0.00	0.00	45	0.00	0.00	0.00	0.00	0.00	0.00
5	44	0.00	0.00	0.00	0.00	0.00	0.00	51	0.00	0.00	0.00	0.00	0.00	0.00
	2	0.00	0.00	0.00	0.00	0.00	0.00	11	0.00	0.00	0.00	0.00	0.00	0.00
6	52	0.00	0.00	0.00	0.00	0.00	0.00	40	0.00	0.00	0.00	0.00	0.00	0.00
	12	0.00	0.00	0.00	0.00	0.00	0.00	1	0.00	0.00	0.00	0.00	0.00	0.00
7	41	0.00	0.00	0.00	0.00	0.00	0.00	42	0.00	0.00	0.00	0.00	0.00	0.00
	37	0.00	0.00	0.00	0.00	0.00	0.00	38	0.00	0.00	0.00	0.00	0.00	0.00
8	42	0.00	0.00	0.00	0.00	0.00	0.00	43	0.00	0.00	0.00	0.00	0.00	0.00
	38	0.00	0.00	0.00	0.00	0.00	0.00	39	0.00	0.00	0.00	0.00	0.00	0.00
9	43	0.00	0.00	0.00	0.00	0.00	0.00	44	0.00	0.00	0.00	0.00	0.00	0.00
	39	0.00	0.00	0.00	0.00	0.00	0.00	2	0.00	0.00	0.00	0.00	0.00	0.00
10	3	0.00	0.00	0.00	0.00	0.00	0.00	45	0.00	0.00	0.00	0.00	0.00	0.00
	40	0.00	0.00	0.00	0.00	0.00	0.00	41	0.00	0.00	0.00	0.00	0.00	0.00
11	45	0.00	0.00	0.00	0.00	0.00	0.00	46	0.00	0.00	0.00	0.00	0.00	0.00
	41	0.00	0.00	0.00	0.00	0.00	0.00	42	0.00	0.00	0.00	0.00	0.00	0.00
12	46	0.00	0.00	0.00	0.00	0.00	0.00	47	0.00	0.00	0.00	0.00	0.00	0.00
	42	0.00	0.00	0.00	0.00	0.00	0.00	43	0.00	0.00	0.00	0.00	0.00	0.00
13	47	0.00	0.00	0.00	0.00	0.00	0.00	4	0.00	0.00	0.00	0.00	0.00	0.00
	43	0.00	0.00	0.00	0.00	0.00	0.00	44	0.00	0.00	0.00	0.00	0.00	0.00
14	48	0.00	0.00	0.00	0.00	0.00	0.00	49	0.00	0.00	0.00	0.00	0.00	0.00
	45	0.00	0.00	0.00	0.00	0.00	0.00	46	0.00	0.00	0.00	0.00	0.00	0.00
15	49	0.00	0.00	0.00	0.00	0.00	0.00	50	0.00	0.00	0.00	0.00	0.00	0.00
	46	0.00	0.00	0.00	0.00	0.00	0.00	47	0.00	0.00	0.00	0.00	0.00	0.00
16	50	0.00	0.00	0.00	0.00	0.00	0.00	7	0.00	0.00	0.00	0.00	0.00	0.00
	47	0.00	0.00	0.00	0.00	0.00	0.00	4	0.00	0.00	0.00	0.00	0.00	0.00
17	4	0.00	0.00	0.00	0.00	0.00	0.00	5	0.00	0.00	0.00	0.00	0.00	0.00
	44	0.00	0.00	0.00	0.00	0.00	0.00	51	0.00	0.00	0.00	0.00	0.00	0.00
18	9	0.00	0.00	0.00	0.00	0.00	0.00	3	0.00	0.00	0.00	0.00	0.00	0.00
	52	0.00	0.00	0.00	0.00	0.00	0.00	40	0.00	0.00	0.00	0.00	0.00	0.00

CARATT. VENTO y-: ASTE																
Tra tto	Filo In.	Alt. (m)	Tx (t)	Ty (t)	N (t)	Mx (t*m)	My (t*m)	Mt (t*m)	Filo Fin.	Alt. (m)	Tx (t)	Ty (t)	N (t)	Mx (t*m)	My (t*m)	Mt (t*m)
2	0.58	0.00	-0.23	-0.18	-0.25	0.00	0.03	2	0.00	0.00	0.23	0.18	0.38	0.00	0.00	-0.03
4	0.58	0.00	-0.23	-0.18	-0.25	0.00	-0.03	4	0.00	0.00	0.23	0.18	0.38	0.00	0.00	0.03
2	0.58	0.05	0.00	0.00	0.00	0.03	-0.02	6	0.58	-0.05	0.00	0.00	0.00	0.00	0.02	0.02
6	0.58	0.00	0.00	0.00	0.00	-0.02	0.00	8	0.58	0.00	0.00	0.00	0.00	0.02	0.00	0.00

## CARATT. VENTO y- ASTE

Tra tto	Filo In.	Alt. (m)	Tx (t)	Ty (t)	N (t)	Mx (t*m)	My (t*m)	Mt (t*m)	Filo Fin.	Alt. (m)	Tx (t)	Ty (t)	N (t)	Mx (t*m)	My (t*m)	Mt (t*m)
8	0.58	-0.05	0.00	0.00	0.00	-0.02	0.02	4	0.58	0.05	0.00	0.00	0.00	-0.03	-0.02	
2	2.33	0.04	0.00	0.02	0.00	0.03	0.01	6	2.33	-0.04	0.00	-0.02	0.00	0.02	-0.01	
6	2.33	0.00	0.00	0.02	0.00	-0.02	0.00	8	2.33	0.00	0.00	-0.02	0.00	0.02	0.00	
8	2.33	-0.04	0.00	0.02	0.00	-0.02	-0.01	4	2.33	0.04	0.00	-0.02	0.00	-0.03	0.01	
1	2.33	-0.01	0.02	-0.03	-0.01	0.00	0.00	2	2.33	0.01	-0.02	0.03	-0.02	-0.01	-0.01	0.00
3	2.33	0.01	0.02	-0.03	-0.01	0.00	0.00	4	2.33	-0.01	-0.02	0.03	-0.02	0.01	0.00	
1	2.33	0.00	0.00	-0.02	0.00	0.00	0.00	3	2.33	0.00	0.00	0.02	0.00	0.00	0.00	
1	2.33	-0.01	-0.03	-0.01	0.01	0.00	0.00	13	2.64	0.01	0.03	-0.01	0.00	0.00	0.00	
9	2.64	-0.01	-0.03	-0.11	0.02	0.00	-0.02	2	2.33	0.01	0.03	0.17	-0.01	-0.01	0.02	
13	2.64	-0.01	-0.03	0.02	0.00	0.00	0.00	17	2.88	0.01	0.03	-0.04	0.01	-0.01	0.00	
17	2.88	-0.01	-0.01	0.04	-0.01	0.01	0.00	25	3.02	0.01	0.01	-0.06	0.01	-0.01	0.00	
21	2.88	-0.01	0.02	-0.06	0.01	0.01	-0.01	9	2.64	0.01	-0.02	0.11	-0.02	-0.01	0.01	
25	3.02	-0.01	0.01	0.06	-0.01	0.01	0.00	33	3.06	0.01	-0.01	-0.08	0.01	-0.01	0.00	
29	3.02	-0.01	0.04	0.01	0.00	0.01	-0.01	21	2.88	0.01	-0.04	0.04	-0.01	-0.01	0.01	
33	3.06	-0.01	0.04	0.07	-0.01	0.01	-0.01	29	3.02	0.01	-0.04	-0.02	0.00	-0.01	0.01	
3	2.33	0.01	-0.03	-0.01	0.01	0.00	0.00	14	2.64	-0.01	0.03	-0.01	0.00	0.00	0.00	
10	2.64	0.01	-0.03	-0.11	0.02	0.00	0.02	4	2.33	-0.01	0.03	0.17	-0.01	0.01	-0.02	
14	2.64	0.01	-0.03	0.02	0.00	0.00	0.00	18	2.88	-0.01	0.03	-0.04	0.01	0.01	0.00	
18	2.88	0.01	-0.01	0.04	-0.01	-0.01	0.00	26	3.02	-0.01	0.01	-0.06	0.01	0.01	0.00	
22	2.88	0.01	0.02	-0.06	0.01	-0.01	0.01	10	2.64	-0.01	-0.02	0.11	-0.02	0.01	-0.01	
26	3.02	0.01	0.01	0.06	-0.01	-0.01	0.00	34	3.06	-0.01	-0.01	-0.08	0.01	0.01	0.00	
30	3.02	0.01	0.04	0.01	0.00	-0.01	0.01	22	2.88	-0.01	-0.04	0.04	-0.01	0.01	-0.01	
34	3.06	0.01	0.04	0.07	-0.01	-0.01	0.01	30	3.02	-0.01	-0.04	-0.02	0.00	0.01	-0.01	
2	2.33	0.00	-0.12	-0.18	0.04	0.00	0.00	2	0.58	0.00	0.18	0.18	0.23	0.00	0.00	
4	2.33	0.00	-0.12	-0.18	0.04	0.00	0.00	4	0.58	0.00	0.18	0.18	0.23	0.00	0.00	
8	2.33	0.00	0.04	0.00	-0.01	0.00	0.00	8	0.58	0.00	0.05	0.00	0.02	0.00	0.00	
6	2.33	0.00	0.04	0.00	-0.01	0.00	0.00	6	0.58	0.00	0.05	0.00	0.02	0.00	0.00	

## TENS. VENTO y- SHELL

Shell Nro	Nodo N.ro	S11 kg/cmq	S22 kg/cmq	S12 kg/cmq	M11 kg/cmq	M22 kg/cmq	M12 kg/cmq	Nodo N.ro	S11 kg/cmq	S22 kg/cmq	S12 kg/cmq	M11 kg/cmq	M22 kg/cmq	M12 kg/cmq
1	40	0.00	0.00	0.00	0.56	1.48	-0.23	41	0.00	0.00	0.00	-0.08	0.75	-0.23
	1	0.00	0.00	0.00	0.04	-0.04	-0.03	37	0.00	0.00	0.00	0.00	0.02	-0.03
2	4	0.00	0.00	0.00	-3.89	-0.96	-0.06	7	0.00	0.00	0.00	-0.14	-4.63	-2.20
	5	0.00	0.00	0.00	2.90	-0.41	1.09	6	0.00	0.00	0.00	-0.66	0.53	-1.05
3	9	0.00	0.00	0.00	2.90	-0.41	-1.09	10	0.00	0.00	0.00	-0.66	0.53	1.05
	3	0.00	0.00	0.00	-3.89	-0.96	0.06	8	0.00	0.00	0.00	-0.14	-4.63	2.20
4	8	0.00	0.00	0.00	-1.17	0.55	-1.10	48	0.00	0.00	0.00	0.31	-0.39	-2.21
	3	0.00	0.00	0.00	-2.17	-4.14	-1.57	45	0.00	0.00	0.00	1.60	2.29	-2.69
5	44	0.00	0.00	0.00	0.29	1.42	0.20	51	0.00	0.00	0.00	0.05	1.45	0.16
	2	0.00	0.00	0.00	0.08	-0.03	0.13	11	0.00	0.00	0.00	0.01	-0.06	0.09
6	52	0.00	0.00	0.00	0.05	1.45	-0.16	40	0.00	0.00	0.00	0.29	1.42	-0.20
	12	0.00	0.00	0.00	0.01	-0.06	-0.09	1	0.00	0.00	0.00	0.08	-0.03	-0.13
7	41	0.00	0.00	0.00	0.16	0.80	-0.25	42	0.00	0.00	0.00	0.21	0.39	-0.09
	37	0.00	0.00	0.00	-0.05	0.01	-0.12	38	0.00	0.00	0.00	-0.16	0.04	0.05
8	42	0.00	0.00	0.00	0.21	0.39	0.09	43	0.00	0.00	0.00	0.16	0.80	0.25
	38	0.00	0.00	0.00	-0.16	0.04	-0.05	39	0.00	0.00	0.00	-0.05	0.01	0.12
9	43	0.00	0.00	0.00	-0.08	0.75	0.23	44	0.00	0.00	0.00	0.56	1.48	0.23
	39	0.00	0.00	0.00	0.00	0.02	0.03	2	0.00	0.00	0.00	0.04	-0.04	0.03
10	3	0.00	0.00	0.00	-0.15	5.93	-1.80	45	0.00	0.00	0.00	1.16	0.07	-1.91
	40	0.00	0.00	0.00	0.40	0.69	0.19	41	0.00	0.00	0.00	0.02	1.23	0.08
11	45	0.00	0.00	0.00	0.32	-0.10	-0.84	46	0.00	0.00	0.00	1.30	0.54	-0.17
	41	0.00	0.00	0.00	0.25	1.27	-0.62	42	0.00	0.00	0.00	0.18	0.22	0.05
12	46	0.00	0.00	0.00	1.30	0.54	0.17	47	0.00	0.00	0.00	0.32	-0.10	0.84
	42	0.00	0.00	0.00	0.18	0.22	-0.05	43	0.00	0.00	0.00	0.25	1.27	0.62
13	47	0.00	0.00	0.00	1.16	0.07	1.91	4	0.00	0.00	0.00	-0.15	5.93	1.80
	43	0.00	0.00	0.00	0.02	1.23	-0.08	44	0.00	0.00	0.00	0.40	0.69	-0.19
14	48	0.00	0.00	0.00	2.55	0.05	-2.06	49	0.00	0.00	0.00	0.65	0.00	0.60
	45	0.00	0.00	0.00	0.76	2.12	-1.80	46	0.00	0.00	0.00	1.07	-0.57	0.87
15	49	0.00	0.00	0.00	0.65	0.00	-0.60	50	0.00	0.00	0.00	2.55	0.05	2.06
	46	0.00	0.00	0.00	1.07	-0.57	-0.87	47	0.00	0.00	0.00	0.76	2.12	1.80
16	50	0.00	0.00	0.00	0.31	-0.39	2.21	7	0.00	0.00	0.00	-1.17	0.55	1.10
	47	0.00	0.00	0.00	1.60	2.29	2.69	4	0.00	0.00	0.00	-2.17	-4.14	1.57
17	4	0.00	0.00	0.00	1.06	6.17	-0.07	5	0.00	0.00	0.00	-0.31	3.37	-0.19
	44	0.00	0.00	0.00	0.13	0.63	1.22	51	0.00	0.00	0.00	0.21	2.25	1.11
18	9	0.00	0.00	0.00	-0.31	3.37	0.19	3	0.00	0.00	0.00	1.06	6.17	0.07
	52	0.00	0.00	0.00	0.21	2.25	-1.11	40	0.00	0.00	0.00	0.13	0.63	-1.22

## CARATT. VENTO Y+: ASTE

Tra tto	Filo In.	Alt. (m)	Tx (t)	Ty (t)	N (t)	Mx (t*m)	My (t*m)	Mt (t*m)	Filo Fin.	Alt. (m)	Tx (t)	Ty (t)	N (t)	Mx (t*m)	My (t*m)	Mt (t*m)
2	0.58	0.00	0.06	0.18	-0.23	0.00	-0.03	2	0.00	0.00	-0.06	-0.18	0.20	0.00	0.03	
4	0.58	0.00	0.06	0.18	-0.23	0.00	0.03	4	0.00	0.00	-0.06	-0.18	0.20	0.00	-0.03	
2	0.58	-0.05	0.00	0.00	-0.03	0.00	0.00	6	0.58	0.05	0.00	0.00	0.00	0.00	-0.02	0.00
6	0.58	0.00	0.00	0.00	0.02	0.00	0.00	8	0.58	0.00	0.00	0.00	0.00	0.00	-0.02	0.00
8	0.58	0.05	0.00	0.00	0.00	0.02	0.00	4	0.58	-0.05	0.00	0.00	0.00	0.00	0.03</	

## CARATT. VENTO Y+: ASTE

Tra tto	Filo In.	Alt. (m)	Tx (t)	Ty (t)	N (t)	Mx (t*m)	My (t*m)	Mt (t*m)	Filo Fin.	Alt. (m)	Tx (t)	Ty (t)	N (t)	Mx (t*m)	My (t*m)	Mt (t*m)
3	2.33	-0.01	0.10	0.07	-0.04	0.00	0.00	14	2.64	0.01	-0.10	-0.01	0.01	0.00	0.00	0.00
10	2.64	-0.01	-0.19	0.05	-0.09	0.00	-0.02	4	2.33	0.01	0.19	-0.07	0.14	-0.01	0.02	
14	2.64	-0.01	0.10	-0.03	-0.01	0.00	0.00	18	2.88	0.01	-0.10	0.09	-0.02	-0.01	0.00	
18	2.88	-0.01	0.05	-0.12	0.02	0.01	0.00	26	3.02	0.01	-0.05	0.17	-0.03	-0.01	0.00	
22	2.88	-0.01	-0.19	-0.05	-0.03	0.01	-0.02	10	2.64	0.01	0.19	0.03	0.09	-0.01	0.02	
26	3.02	-0.01	-0.01	-0.18	0.03	0.01	0.00	34	3.06	0.01	0.01	0.22	-0.03	-0.01	0.00	
30	3.02	-0.01	-0.15	-0.14	0.01	0.01	-0.01	22	2.88	0.01	0.15	0.13	0.03	-0.01	0.01	
34	3.06	-0.01	-0.09	-0.20	0.03	0.01	-0.01	30	3.02	0.01	0.09	0.19	-0.01	-0.01	0.01	
2	2.33	0.00	-0.04	0.18	-0.21	0.00	0.00	2	0.58	0.00	-0.02	-0.18	0.23	0.00	0.00	
4	2.33	0.00	-0.04	0.18	-0.21	0.00	0.00	4	0.58	0.00	-0.02	-0.18	0.23	0.00	0.00	
8	2.33	0.00	-0.05	0.00	0.00	0.00	0.00	8	0.58	0.00	-0.05	0.00	0.00	0.00	0.00	
6	2.33	0.00	-0.05	0.00	0.00	0.00	0.00	6	0.58	0.00	-0.05	0.00	0.00	0.00	0.00	

## TENS. VENTO Y+: SHELL

Shell Nro	Nodo N.ro	S11 kg/cmq	S22 kg/cmq	S12 kg/cmq	M11 kg/cmq	M22 kg/cmq	M12 kg/cmq	Nodo N.ro	S11 kg/cmq	S22 kg/cmq	S12 kg/cmq	M11 kg/cmq	M22 kg/cmq	M12 kg/cmq
1	40	0.00	0.00	0.00	0.17	0.47	0.07	41	0.00	0.00	0.00	-0.43	0.31	0.08
	1	0.00	0.00	0.00	-0.14	0.00	0.07	37	0.00	0.00	0.00	-0.29	0.00	0.08
2	4	0.00	0.00	0.00	-1.65	-0.24	0.20	7	0.00	0.00	0.00	-0.03	-1.81	-0.89
	5	0.00	0.00	0.00	1.73	-0.15	0.67	6	0.00	0.00	0.00	-0.36	0.20	-0.42
3	9	0.00	0.00	0.00	1.73	-0.15	-0.67	10	0.00	0.00	0.00	-0.36	0.20	0.42
	3	0.00	0.00	0.00	-1.65	-0.24	-0.20	8	0.00	0.00	0.00	-0.03	-1.81	0.89
4	8	0.00	0.00	0.00	-0.40	0.26	-0.40	48	0.00	0.00	0.00	-0.35	-0.17	-0.88
	3	0.00	0.00	0.00	-0.66	-1.73	-0.64	45	0.00	0.00	0.00	0.06	1.04	-1.12
5	44	0.00	0.00	0.00	0.06	0.44	-0.03	51	0.00	0.00	0.00	0.01	0.44	-0.03
	2	0.00	0.00	0.00	-0.10	0.00	-0.03	11	0.00	0.00	0.00	-0.02	0.01	-0.03
6	52	0.00	0.00	0.00	0.01	0.44	0.03	40	0.00	0.00	0.00	0.06	0.44	0.03
	12	0.00	0.00	0.00	-0.02	0.01	0.03	1	0.00	0.00	0.00	-0.10	0.00	0.03
7	41	0.00	0.00	0.00	-0.34	0.32	0.02	42	0.00	0.00	0.00	-0.43	0.16	-0.02
	37	0.00	0.00	0.00	-0.33	-0.01	0.06	38	0.00	0.00	0.00	-0.44	0.02	0.01
8	42	0.00	0.00	0.00	-0.43	0.16	0.02	43	0.00	0.00	0.00	-0.34	0.32	-0.02
	38	0.00	0.00	0.00	-0.44	0.02	-0.01	39	0.00	0.00	0.00	-0.33	-0.01	-0.06
9	43	0.00	0.00	0.00	-0.43	0.31	-0.08	44	0.00	0.00	0.00	0.17	0.47	-0.07
	39	0.00	0.00	0.00	-0.29	0.00	-0.08	2	0.00	0.00	0.00	-0.14	0.00	-0.07
10	3	0.00	0.00	0.00	0.37	3.42	-0.68	45	0.00	0.00	0.00	-0.16	-0.08	-0.70
	40	0.00	0.00	0.00	0.08	0.04	0.32	41	0.00	0.00	0.00	-0.38	0.57	0.30
11	45	0.00	0.00	0.00	-0.45	-0.14	-0.21	46	0.00	0.00	0.00	-0.10	0.19	-0.07
	41	0.00	0.00	0.00	-0.29	0.59	-0.13	42	0.00	0.00	0.00	-0.45	0.06	0.01
12	46	0.00	0.00	0.00	-0.10	0.19	0.07	47	0.00	0.00	0.00	-0.45	-0.14	0.21
	42	0.00	0.00	0.00	-0.45	0.06	-0.01	43	0.00	0.00	0.00	-0.29	0.59	0.13
13	47	0.00	0.00	0.00	-0.16	-0.08	0.70	4	0.00	0.00	0.00	0.37	3.42	0.68
	43	0.00	0.00	0.00	-0.38	0.57	-0.30	44	0.00	0.00	0.00	0.08	0.04	-0.32
14	48	0.00	0.00	0.00	0.48	0.00	-0.75	49	0.00	0.00	0.00	-0.42	0.01	0.26
	45	0.00	0.00	0.00	-0.23	0.98	-0.63	46	0.00	0.00	0.00	-0.21	-0.36	0.38
15	49	0.00	0.00	0.00	-0.42	0.01	-0.26	50	0.00	0.00	0.00	0.48	0.00	0.75
	46	0.00	0.00	0.00	-0.21	-0.36	-0.38	47	0.00	0.00	0.00	-0.23	0.98	0.63
16	50	0.00	0.00	0.00	-0.35	-0.17	0.88	7	0.00	0.00	0.00	-0.40	0.26	0.40
	47	0.00	0.00	0.00	0.06	1.04	1.12	4	0.00	0.00	0.00	-0.66	-1.73	0.64
17	4	0.00	0.00	0.00	0.79	3.50	-0.22	5	0.00	0.00	0.00	-0.09	2.02	-0.25
	44	0.00	0.00	0.00	-0.02	0.02	0.48	51	0.00	0.00	0.00	0.09	0.85	0.44
18	9	0.00	0.00	0.00	-0.09	2.02	0.25	3	0.00	0.00	0.00	0.79	3.50	0.22
	52	0.00	0.00	0.00	0.09	0.85	-0.44	40	0.00	0.00	0.00	-0.02	0.02	-0.48

## CARATT. VENTO x: ASTE

Tra tto	Filo In.	Alt. (m)	Tx (t)	Ty (t)	N (t)	Mx (t*m)	My (t*m)	Mt (t*m)	Filo Fin.	Alt. (m)	Tx (t)	Ty (t)	N (t)	Mx (t*m)	My (t*m)	Mt (t*m)
2	0.58	-0.06	-0.02	-0.06	-0.01	0.02	-0.01	2	0.00	0.06	0.02	0.06	0.02	-0.05	0.01	
4	0.58	-0.05	0.02	0.06	0.01	0.02	-0.01	4	0.00	0.05	-0.02	-0.06	-0.02	-0.05	0.01	
2	0.58	0.00	-0.01	-0.02	0.02	0.00	0.00	6	0.58	0.00	0.01	0.02	-0.01	0.00	0.00	
6	0.58	0.00	-0.03	-0.01	0.02	0.00	0.00	8	0.58	0.00	0.03	0.01	0.01	0.00	0.00	
8	0.58	0.00	-0.02	0.00	0.00	0.00	0.00	4	0.58	0.00	0.02	0.00	0.02	0.00	0.00	
2	2.33	0.01	-0.04	0.05	0.04	0.01	0.00	6	2.33	-0.01	0.04	-0.05	0.00	0.00	0.00	
6	2.33	0.01	-0.02	0.04	0.01	0.00	0.00	8	2.33	-0.01	0.02	-0.04	0.01	0.00	0.00	
8	2.33	0.01	-0.03	0.02	0.00	0.00	0.00	4	2.33	-0.01	0.03	-0.02	0.03	0.01	0.00	
1	2.33	0.01	0.00	-0.02	0.00	-0.01	0.00	2	2.33	0.04	0.00	0.02	0.00	-0.01	0.00	
3	2.33	-0.02	0.00	0.02	0.00	-0.01	0.00	4	2.33	0.02	0.00	-0.02	0.00	-0.01	0.00	
1	2.33	0.01	-0.01	0.03	0.02	0.01	0.00	3	2.33	-0.01	0.01	-0.03	0.01	0.01	0.00	
1	2.33	0.02	-0.01	0.00	0.00	0.01	-0.01	13	2.64	-0.01	0.01	0.00	0.00	-0.01	0.01	
9	2.64	-0.04	0.01	0.00	0.00	0.01	-0.01	2	2.33	0.05	-0.01	0.00	-0.01	0.00	-0.02	0.01
13	2.64	0.01	-0.01	0.01	0.00	0.00	-0.01	17	2.88	0.00	0.01	-0.01	0.00	0.00	0.00	0.01
17	2.88	0.00	0.01	0.00	0.00	-0.01	0.00	25	3.02	0.01	0.00	-0.01	0.00	0.00	0.00	0.01
21	2.88	-0.03	0.01	0.00	0.00	-0.01	0.00	9	2.64	0.04	-0.01	0.00	0.00	-0.01	0.01	0.01
25	3.02	-0.01	0.00	0.01	0.00	-0.01	0.01	33	3.06	0.01	0.01	-0.01	0.00	0.00	0.00	0.01
29	3.02	-0.02	0.01	0.01	0.00	-0.01	0.01	21	2.88	0.03	-0.01	-0.01	0.00	0.00	0.00	0.01
33	3.06	-0.01	0.01	0.01	0.00	-0.01	0.01	29	3.02	0.02	-0.01	-0.01	0.00	0.00	0.00	0.01
3	2.33	-0.01	0.01	0.00	0.00	0.01	0.00	14	2.64	0.01	-0.01	0.00</td				

Shell Nro	Nodo N.ro	S11 kg/cmq	S22 kg/cmq	S12 kg/cmq	M11 kg/cmq	M22 kg/cmq	M12 kg/cmq	Nodo N.ro	S11 kg/cmq	S22 kg/cmq	S12 kg/cmq	M11 kg/cmq	M22 kg/cmq	M12 kg/cmq
1	40	0.00	0.00	0.00	0.13	0.16	-0.14	41	0.00	0.00	0.00	0.26	0.06	-0.14
	1	0.00	0.00	0.00	0.17	0.01	-0.09	37	0.00	0.00	0.00	0.19	0.01	-0.10
2	4	0.00	0.00	0.00	0.43	0.73	-0.06	7	0.00	0.00	0.00	0.01	-0.16	-0.06
	5	0.00	0.00	0.00	0.35	0.06	0.24	6	0.00	0.00	0.00	0.00	0.08	0.24
3	9	0.00	0.00	0.00	-0.36	-0.06	0.24	10	0.00	0.00	0.00	0.00	-0.08	0.24
	3	0.00	0.00	0.00	-0.43	-0.74	-0.06	8	0.00	0.00	0.00	-0.01	0.17	-0.06
4	8	0.00	0.00	0.00	0.32	0.02	0.03	48	0.00	0.00	0.00	0.25	-0.02	-0.41
	3	0.00	0.00	0.00	0.62	-0.16	0.00	45	0.00	0.00	0.00	0.22	0.14	-0.45
5	44	0.00	0.00	0.00	-0.35	-0.20	-0.15	51	0.00	0.00	0.00	0.01	-0.23	-0.17
	2	0.00	0.00	0.00	-0.04	0.02	-0.07	11	0.00	0.00	0.00	-0.06	0.06	-0.09
6	52	0.00	0.00	0.00	-0.01	0.23	-0.17	40	0.00	0.00	0.00	0.35	0.20	-0.15
	12	0.00	0.00	0.00	0.06	-0.06	-0.09	1	0.00	0.00	0.00	0.04	-0.02	-0.07
7	41	0.00	0.00	0.00	0.21	0.05	-0.10	42	0.00	0.00	0.00	-0.01	0.00	-0.10
	37	0.00	0.00	0.00	0.19	0.01	-0.11	38	0.00	0.00	0.00	0.01	0.00	-0.11
8	42	0.00	0.00	0.00	0.01	0.00	-0.10	43	0.00	0.00	0.00	-0.21	-0.05	-0.10
	38	0.00	0.00	0.00	-0.01	0.00	-0.11	39	0.00	0.00	0.00	-0.18	-0.01	-0.11
9	43	0.00	0.00	0.00	-0.26	-0.06	-0.14	44	0.00	0.00	0.00	-0.13	-0.16	-0.14
	39	0.00	0.00	0.00	-0.18	-0.01	-0.10	2	0.00	0.00	0.00	-0.17	-0.01	-0.09
10	3	0.00	0.00	0.00	0.71	0.30	-0.35	45	0.00	0.00	0.00	0.20	0.05	-0.11
	40	0.00	0.00	0.00	0.12	0.12	-0.27	41	0.00	0.00	0.00	0.26	0.07	-0.03
11	45	0.00	0.00	0.00	0.21	0.05	-0.13	46	0.00	0.00	0.00	0.05	0.01	-0.10
	41	0.00	0.00	0.00	0.22	0.06	-0.12	42	0.00	0.00	0.00	-0.01	0.00	-0.09
12	46	0.00	0.00	0.00	-0.05	-0.01	-0.10	47	0.00	0.00	0.00	-0.21	-0.05	-0.13
	42	0.00	0.00	0.00	0.01	0.00	-0.09	43	0.00	0.00	0.00	-0.21	-0.06	-0.12
13	47	0.00	0.00	0.00	-0.20	-0.05	-0.11	4	0.00	0.00	0.00	-0.71	-0.30	-0.35
	43	0.00	0.00	0.00	-0.26	-0.07	-0.03	44	0.00	0.00	0.00	-0.12	-0.12	-0.26
14	48	0.00	0.00	0.00	0.51	0.03	-0.18	49	0.00	0.00	0.00	-0.20	-0.04	-0.06
	45	0.00	0.00	0.00	0.23	0.15	-0.17	46	0.00	0.00	0.00	0.05	0.01	-0.06
15	49	0.00	0.00	0.00	0.20	0.04	-0.06	50	0.00	0.00	0.00	-0.50	-0.03	-0.17
	46	0.00	0.00	0.00	-0.05	-0.01	-0.06	47	0.00	0.00	0.00	-0.23	-0.15	-0.17
16	50	0.00	0.00	0.00	-0.25	0.02	-0.41	7	0.00	0.00	0.00	-0.31	-0.02	0.03
	47	0.00	0.00	0.00	-0.22	-0.14	-0.44	4	0.00	0.00	0.00	-0.61	0.16	-0.01
17	4	0.00	0.00	0.00	0.64	-0.03	-0.28	5	0.00	0.00	0.00	0.02	0.16	-0.17
	44	0.00	0.00	0.00	-0.34	-0.16	-0.38	51	0.00	0.00	0.00	-0.01	-0.34	-0.27
18	9	0.00	0.00	0.00	-0.02	-0.16	-0.18	3	0.00	0.00	0.00	-0.65	0.03	-0.29
	52	0.00	0.00	0.00	0.01	0.35	-0.27	40	0.00	0.00	0.00	0.34	0.16	-0.38

## SPOSTAMENTI SISMICI RELATIVI

IDENTIFICATIVO					INVILUPPO S.L.D.				INVILUPPO S.L.O.					
Filo N.ro	Quota inf. (m)	Quota sup. (m)	Nodo inf. N.ro	Nodo sup. N.ro	Sis ma Nro	Com bin Nro	Spostam. Calcolo (mm)	Spostam. Limite (mm)	Sis ma Nro	Com bin Nro	Spostam. Calcolo (mm)	Spostam. Limite (mm)	Stringa di Controllo Verifica	
1	0.00	2.33	1	21	2	26	13.789	23.300						VERIFICATO
2	0.00	0.58	3	13	2	26	0.980	5.800						VERIFICATO
2	0.58	2.33	13	17	2	26	12.803	17.500						VERIFICATO
3	0.00	2.33	2	22	2	24	13.789	23.300						VERIFICATO
4	0.00	0.58	4	14	2	24	0.980	5.800						VERIFICATO
4	0.58	2.33	14	18	2	24	12.803	17.500						VERIFICATO
6	0.58	2.33	15	19	2	26	12.655	17.500						VERIFICATO
8	0.58	2.33	16	20	2	24	12.655	17.500						VERIFICATO
33	0.00	3.06	40	28	2	26	22.155	30.600						VERIFICATO
34	0.00	3.06	44	35	2	24	22.155	30.600						VERIFICATO

## STAMPA PROGETTO S.L.U. - AZIONI S.L.V. - ACCIAIO + VERIFICA S.L.E.

## VERIFICHE ASTE IN ACCIAIO 3D

DATI DI ASTA	Fili N.ro	Quota (m)	Tra Cmb N.r	N Sd (kg)	MxSd (kg*m)	MySd (kg*m)	VxSd (kg)	VySd (kg)	T Sd (kg*m)	N Rd kg	MxV.Rd kg*m	MyV.Rd kg*m	VxpIRd Kg	VypIRd Kg	T Rd kg*m	fy rid Kg/cmq	Rap %
Sez.N. 1076	2	0.58	26	-244	-201	6	35	-54	5	34967	679	679	10131	10131	785	2238	30
tubolare 8	qn= 0	16	-53	-606	4	38	-345	46	34970	924	924	12854	12854	785	2238	43	
Asta: 1	2	0.00	16	-57	-706	-7	38	-345	46	34970	924	924	12854	12854	785	2238	58
Instab.:l=	58.0	$\beta^*l=$	58.0	-57	626	6	cl= 1	$\varepsilon=$ 1.00	lmd= 19	Rpf= 69	Rft= 0	Wmax/rel/lim=	2.9	0.7	3.9	mm	
Sez.N. 1076	4	0.58	24	-244	-201	-6	-35	-54	-5	34967	679	679	10131	10131	785	2238	30
tubolare 8	qn= 0	16	-53	-606	-4	-38	-345	-46	34970	924	924	12854	12854	785	2238	43	
Asta: 2	4	0.00	16	-57	-706	7	-38	-345	-46	34970	924	924	12854	12854	785	2238	58
Instab.:l=	58.0	$\beta^*l=$	58.0	-57	626	6	cl= 1	$\varepsilon=$ 1.00	lmd= 19	Rpf= 69	Rft= 0	Wmax/rel/lim=	2.9	0.7	3.9	mm	
Sez.N. 1077	2	0.58	21	-18	-37	-2	0	53	-2	19742	391	257	3564	6575	282	2238	10
scatolare	qn= -22	21	-18	-14	-2	0	42	-2	19743	391	257	3564	6575	282	2238	4	
Asta: 3	6	0.58	19	3	14	2	-3	8	-5	19741	391	257	3564	6575	282	2238	4
Instab.:l=	103.0	$\beta^*l=$	72.1	-14	23	19	cl= 1	$\varepsilon=$ 1.00	lmd= 44	Rpf= 11	Rft= 0	Wmax/rel/lim=	5.3	0.2	6.9	mm	
Sez.N. 1077	6	0.58	19	-5	20	1	1	-12	-2	19743	391	257	3564	6575	282	2238	6
scatolare	qn= -22	25	-5	11	2	0	-1	1	19744	391	257	3564	6575	282	2238	4	
Asta: 4	8	0.58	21	-5	20	1	-1	12	2	19743	391	257	3564	6575	282	2238	6
Instab.:l=	103.0	$\beta^*l=$	72.1	-11	15	29	cl= 1	$\varepsilon=$ 1.00	lmd= 44	Rpf= 13	Rft= 0	Wmax/rel/lim=	5.8	0.5	6.9	mm	
Sez.N. 1077	8	0.58	21	3	14	2	3	-8	5	19741	391	257	3564	6575	282	2238	4
scatolare	qn= -22	19	-18	-12	-1	0	-41	2	19743	391	257	3564	6575	282	2238	4	
Asta: 5	4	0.58	19	-18	-37	-2	0	-53	2	19742	391	257	3564	6575	282	2238	10
Instab.:l=	103.0	$\beta^*l=$	72.1	-16	50	3	cl= 1	$\varepsilon=$ 1.00	lmd= 44	Rpf= 11	Rft= 0	Wmax/rel/lim=	5.3	0.2	6.9	mm	
Sez.N. 1077	2	2.33	21	-10	-42	-11	-8	60	8	19731	391	257	3564	6575	282	2237	15
scatolare	qn= -22	20	-21	15	10	8	0	1	19744	391	257	3564	6575	282	2238	8	

Studio Tecnico Dott. Ing. V. Ripamonti

STAMPA PROGETTO S.L.U. - AZIONI S.L.V. - ACCIAIO + VERIFICA S.L.E.																		
VERIFICHE ASTE IN ACCIAIO 3D																		
DATI DI ASTA	Fili N.ro	Quota (m)	Tra tto	Cmb N.r	N Sd (kg)	MxSd (kg*m)	MySd (kg*m)	VxSd (kg)	VySd (kg)	T Sd (kg*m)	N Rd kg	MxV.Rd kg*m	MyV.Rd kg*m	VxpIRd Kg	VypIRd Kg	T Rd kg*m	fy rid Kg/cmq	Rap %
Asta: 6 Instab.:l=	6 103.0	2.33 $\beta^*l=$	22 72.1	-11 -94	9 37	-4 11	-5 cl= 1	37 $\varepsilon=$ 1.00	9 lmd=	19732 44	391 Rpf= 12	257 Rft= 0	3564 Wmax/rel/lim=	6575 35.6	282 0.3	2237 6.9	4 mm	
Sez.N. scatolare Ast: Asta: Instab.:l=	1077 7 103.0	6 8 4	2.33 2.33 2.33	19 21 19	-17 -17 -10	14 14 -42	5 5 -11	8 -8 -60	-4 4 -8	19742 19742 19731	391 391 391	257 257 257	3564 3564 3564	6575 6575 6575	282 282 282	2238 2238 2238	5 5 15	
Sez.N. scatolare Ast: Asta: Instab.:l=	1077 8 103.0	8 4 103.0	2.33 2.33 $\beta^*l=$	20 19 72.1	-11 -21 -57	9 15 50	-4 -8 10	5 -1 -1	-37 -1 -1	19732 19744 19731	391 391 391	257 257 257	3564 3564 3564	6575 6575 6575	282 282 282	2237 2238 2238	4 8 mm	
Sez.N. scatolare Ast: Asta: Instab.:l=	1077 9 134.0	1 2 2	2.33 2.33 $\beta^*l=$	22 17 -210	-38 -112 -120	19 -19 -161	6 0 -16	10 1 16	-31 -106 -204	19743 19744 19744	391 492 492	257 298 298	3564 3799 3799	6575 7599 7599	282 282 282	2238 2238 2238	8 16 mm	
Sez.N. scatolare Ast: Asta: Instab.:l=	1077 10 134.0	3 4 2	2.33 2.33 $\beta^*l=$	20 17 -210	-38 -112 -210	19 -19 -161	-6 0 16	-10 -1 -16	-31 -106 -204	19743 19744 19744	391 492 492	257 298 298	3564 3799 3799	6575 7599 7599	282 282 282	2238 2238 2238	8 16 mm	
Sez.N. scatolare Ast: Asta: Instab.:l=	1077 11 309.0	1 3 3	2.33 2.33 $\beta^*l=$	22 20 -216.3	1 -1 -39	-11 -1 16	-10 -6 -16	-6 0 -4	19742 19742 19742	391 391 391	257 257 257	3564 3564 3564	6575 6575 6575	282 282 282	2238 2238 2238	7 7 mm		
Sez.N. tubolare Ast: Asta: Instab.:l=	1076 8 12 31.4	1 7 13 $\beta^*l=$	2.33 -7 2.64 22.0	20 20 21 0	-3 -11 -11 0	-22 -2 -5 0	-9 -2 -5 0	-5 -6 -6 0	67 66 66 0	34967 34967 34968 0	679 679 679 Rpf= 0	679 679 679 Rft= 0	10131 10131 10131 Wmax/rel/lim=	10131 10131 10131 36.9	785 785 785 0.0	2238 2238 2238 2.1 mm		
Sez.N. tubolare Ast: Asta: Instab.:l=	1076 8 13 31.4	9 -7 2 $\beta^*l=$	2.64 -7 2.33 22.0	26 26 26 0	-48 -55 -62 0	-44 -58 -72 0	0 0 -1 0	4 -1 -4 0	-89 -90 -91 0	34969 34969 34969 0	679 679 679 Rpf= 0	679 679 679 Rft= 0	10131 10131 10131 Wmax/rel/lim=	10131 10131 10131 43.5	785 785 785 0.1	2238 2238 2238 mm		
Sez.N. tubolare Ast: Asta: Instab.:l=	1076 8 14 28.8	13 -24 17 $\beta^*l=$	2.64 -24 2.88 20.2	19 19 48 0	38 7 14 0	-9 -8 -8 0	-5 -5 -5 0	52 48 45 0	-5 -5 -5 0	34968 34968 34968 0	679 679 679 Rpf= 0	679 679 679 Rft= 0	10131 10131 10131 Wmax/rel/lim=	10131 10131 10131 23.8	785 785 785 0.0	2238 2238 2238 1.9 mm		
Sez.N. tubolare Ast: Asta: Instab.:l=	1076 8 15 26.9	17 -37 25 $\beta^*l=$	2.88 -37 3.02 18.8	19 19 22 0	60 63 51 0	14 15 18 0	-7 -7 5 0	-8 -8 5 0	17 12 13 0	34969 34969 34969 0	679 679 679 Rpf= 0	679 679 679 Rft= 0	10131 10131 10131 Wmax/rel/lim=	10131 10131 10131 7.6	785 785 785 0.0	2238 2238 2238 1.8 mm		
Sez.N. tubolare Ast: Asta: Instab.:l=	1076 8 16 28.8	21 -24 2.88 20.2	2.88 -24 3.02 0	19 26 22 0	-23 -5 -10 0	-18 -30 -44 0	-18 -2 0 0	-17 -2 3 0	-65 -66 -45 0	34966 34968 34968 0	679 679 679 Rpf= 0	679 679 679 Rft= 0	10131 10131 10131 Wmax/rel/lim=	10131 10131 10131 46.7	785 785 785 0.0	2238 2238 2238 1.9 mm		
Sez.N. tubolare Ast: Asta: Instab.:l=	1076 8 17 23.3	25 -282 3.06 $\beta^*l=$	3.02 -282 3.06 16.3	22 22 26 0	67 68 70 0	18 16 14 0	4 4 2 0	8 -13 0 -17	8 8 3 3	34968 34968 34970 0	679 679 679 Rpf= 0	679 679 679 Rft= 0	10131 10131 10131 Wmax/rel/lim=	10131 10131 10131 19.2	785 785 785 0.0	2238 2238 2238 1.6 mm		
Sez.N. tubolare Ast: Asta: Instab.:l=	1076 8 18 26.9	29 -37 21 $\beta^*l=$	3.02 -37 2.88 18.8	26 19 20 0	41 -9 19 0	4 2 -18 0	2 -15 6 0	2 -62 -16 0	-71 -62 -71 0	34969 34967 34966 0	679 679 679 Rpf= 0	679 679 679 Rft= 0	10131 10131 10131 Wmax/rel/lim=	10131 10131 10131 41.4	785 785 785 0.0	2238 2238 2238 1.8 mm		
Sez.N. tubolare Ast: Asta: Instab.:l=	1076 8 19 23.3	33 -282 3.02 $\beta^*l=$	3.06 -282 3.02 16.3	26 26 17 0	63 62 346 0	14 9 17 0	2 1 -18 0	1 -43 16 0	-38 -43 -201 0	34969 34969 34970 0	679 679 924 Rpf= 0	679 679 924 Rft= 0	10131 10131 10131 Wmax/rel/lim=	10131 10131 10131 31.4	785 785 785 0.0	2238 2238 2238 1.6 mm		
Sez.N. tubolare Ast: Asta: Instab.:l=	1076 8 20 31.4	3 -7 14 $\beta^*l=$	2.33 -7 2.64 22.0	22 22 19 0	-3 -22 2 0	-22 -11 1 0	9 2 8 0	5 5 -3 0	67 66 44 0	34967 34967 34968 0	679 679 679 Rpf= 0	679 679 679 Rft= 0	10131 10131 10131 Wmax/rel/lim=	10131 10131 10131 36.9	785 785 785 0.0	2238 2238 2238 2.1 mm		
Sez.N. tubolare Ast: Asta: Instab.:l=	1076 8 21 31.4	10 -7 24 $\beta^*l=$	2.64 -7 24 22.0	24 24 -62 0	-48 -55 -72 0	-44 -58 -72 0	0 0 1 0	-4 -4 -4 0	-89 -90 -91 0	34969 34969 34969 0	679 679 679 Rpf= 0	679 679 679 Rft= 0	10131 10131 10131 Wmax/rel/lim=	10131 10131 10131 43.5	785 785 785 0.1	2238 2238 2238 mm		
Sez.N. tubolare Ast: Asta: Instab.:l=	1076 8 22 28.8	14 -24 18 $\beta^*l=$	2.64 -24 2.88 20.2	21 21 21 0	38 43 48 0	0 7 8 0	9 5 5 0	52 48 45 0	5 5 5 0	34968 34968 34968 0	679 679 679 Rpf= 0	679 679 679 Rft= 0	10131 10131 10131 Wmax/rel/lim=	10131 10131 10131 23.8	785 785 785 0.0	2238 2238 2238 1.9 mm		
Sez.N. tubolare Ast: Asta: Instab.:l=	1076 8 23 26	18 -37 3.02 $\beta^*l=$	2.88 -37 3.02 20	21 21 51 0	60 63 18 0	14 7 18 -5	7 8 7 -5	8 12 13 13	17 12 -201 -7	34969 34969 34969 0	679 679 679 Rpf= 0	679 679 679 Rft= 0	10131 10131 10131 Wmax/rel/lim=	10131 10131 10131 31.4	785 785 785 0.0	2238 2238 2238 mm		

## STAMPA PROGETTO S.L.U. - AZIONI S.L.V. - ACCIAIO + VERIFICA S.L.E.

VERIFICHE ASTE IN ACCIAIO 3D

DATI DI ASTA		Fili N.ro	Quota (m)	Tra tto	Cmb N.r	N Sd (kg)	MxSd (kg*m)	MySd (kg*m)	VxSd (kg)	VySd (kg)	T Sd (kg*m)	N Rd kg	MxV.Rd kg*m	MyV.Rd kg*m	VxpIRd Kg	VypIRd Kg	T Rd kg*m	fy rid Kg/cmq	Rap %	
Instab.:l=		26.9	$\beta^*l=$	18.8		0	0	0	cl= 1 $\varepsilon=$ 1.00	lmd= 0	Rpf= 0	Rft= 0	Wmax/rel/lim= 7.6	0.0	1.8	mm				
Sez.N. tubolare 8	1076	22	2.88	21	-23	-18	-5	17	-65	7	34966	679	679	10131	10131	785	2238	3		
Asta: 24		qn= -24	24	-5	-30	-1	-3	-95	-1	34968	679	679	10131	10131	785	2238	4			
Instab.:l=	28.8	$\beta^*l=$	20.2	-10	-44	0	-3	-98	-1	34968	679	679	10131	10131	785	2238	7			
Sez.N. tubolare 8	1076	26	3.02	20	67	18	-4	-8	-8	-8	34968	679	679	10131	10131	785	2238	3		
Asta: 25		qn= -282	20	68	16	-4	-8	-13	-8	34968	679	679	10131	10131	785	2238	3			
Instab.:l=	23.3	$\beta^*l=$	16.3	34	3.06	24	70	14	-2	0	-17	-3	34970	679	679	10131	10131	785	2238	2
Sez.N. tubolare 8	1076	30	3.02	24	41	4	-2	-2	-71	-2	34969	679	679	10131	10131	785	2238	1		
Asta: 26		qn= -37	21	13	-9	-2	15	-62	6	34967	679	679	10131	10131	785	2238	1			
Instab.:l=	26.9	$\beta^*l=$	18.8	22	19	-18	-6	16	-71	7	34966	679	679	10131	10131	785	2238	3		
Sez.N. tubolare 8	1076	34	3.06	24	63	14	-2	-1	-38	-2	34969	679	679	10131	10131	785	2238	2		
Asta: 27		qn= -282	24	62	9	-2	-1	-43	-2	34969	679	679	10131	10131	785	2238	2			
Instab.:l=	23.3	$\beta^*l=$	16.3	30	3.02	17	346	17	-16	-201	-12	34970	924	924	12854	12854	785	2238	1	
Sez.N. tubolare 8	1076	2	2.33	17	-505	-449	20	20	-56	-1	34970	924	924	12854	12854	785	2238	24		
Asta: 28		qn= 0	17	-524	-482	-4	20	2	-1	34970	924	924	12854	12854	785	2238	27			
Instab.:l=	175.0	$\beta^*l=$	122.5	-199	-193	-20	25	-51	3	34969	679	679	10131	10131	785	2238	29			
Sez.N. tubolare 8	1076	4	2.33	17	-505	-449	-20	-20	-56	1	34970	924	924	12854	12854	785	2238	24		
Asta: 29		qn= 0	17	-524	-482	4	-20	2	1	34970	924	924	12854	12854	785	2238	27			
Instab.:l=	175.0	$\beta^*l=$	122.5	-199	-193	20	-25	-51	-3	34969	679	679	10131	10131	785	2238	29			
Sez.N. scatolare	1078	8	2.33	20	12	-4	-10	-12	-1	1	9762	113	113	2597	2597	106	2238	13		
Asta: 30		qn= 0	17	-6	-40	0	-4	2	0	9763	135	135	2818	2818	106	2238	13			
Instab.:l=	175.0	$\beta^*l=$	122.5	-7	-10	10	-12	-1	1	9762	113	113	2597	2597	106	2238	15			
Sez.N. scatolare	1078	6	2.33	22	12	-4	10	12	-1	-1	9762	113	113	2597	2597	106	2238	13		
Asta: 31		qn= 0	17	-6	-40	0	4	2	0	9763	135	135	2818	2818	106	2238	13			
Instab.:l=	175.0	$\beta^*l=$	122.5	-7	-10	10	-12	-1	-1	9762	113	113	2597	2597	106	2238	15			

## STAMPA PROGETTO S.L.U. - AZIONI S.L.V. - FATTORE DI COMPORTAM. DEGLI ELEMENTI

IDENTIFICATIVO						DIREZIONE X		DIREZIONE Y		IDENTIFICATIVO						DIREZIONE X		DIREZIONE Y	
Asta 3D	Nodo In.	Nodo Fin.	Filo Iniz.	Filo Fin.	QuoIn	Fattore 'q'	Fless Tagl.	Fattore 'q'	Fless Tagl.	Asta 3D	Nodo In.	Nodo Fin.	Filo Iniz.	Filo Fin.	QuoIn	Fattore 'q'	Fless Tagl.	Fattore 'q'	Fless Tagl.
1	13	3	2	2	0.58	0.00	1.50	1.50	1.50	2	14	4	4	4	0.58	0.00	1.50	1.50	1.50
3	13	15	2	6	0.58	0.58	1.50	1.50	1.50	4	15	16	6	8	0.58	0.58	1.50	1.50	1.50
5	16	14	8	4	0.58	0.58	1.50	1.50	1.50	6	17	19	2	6	2.33	2.33	1.50	1.50	1.50
7	19	20	6	8	2.33	2.33	1.50	1.50	1.50	8	20	18	8	4	2.33	2.33	1.50	1.50	1.50
9	21	17	1	2	2.33	2.33	1.50	1.50	1.50	10	22	18	3	4	2.33	2.33	1.50	1.50	1.50
11	21	22	1	3	2.33	2.33	1.50	1.50	1.50	12	21	23	1	13	2.33	2.64	1.50	1.50	1.50
13	24	17	9	2	2.64	2.33	1.50	1.50	1.50	14	23	25	13	17	2.64	2.88	1.50	1.50	1.50
15	25	26	17	25	2.88	3.02	1.50	1.50	1.50	16	27	24	21	9	2.88	2.64	1.50	1.50	1.50
17	26	28	25	33	3.02	3.06	1.50	1.50	1.50	18	29	27	29	21	3.02	2.88	1.50	1.50	1.50
19	28	29	33	29	3.06	3.02	1.50	1.50	1.50	20	22	30	3	14	2.33	2.64	1.50	1.50	1.50
21	31	18	10	4	2.64	2.33	1.50	1.50	1.50	22	30	32	14	18	2.64	2.88	1.50	1.50	1.50
23	32	33	18	26	2.88	3.02	1.50	1.50	1.50	24	34	31	22	10	2.88	2.64	1.50	1.50	1.50
25	33	35	26	34	3.02	3.06	1.50	1.50	1.50	26	36	34	30	22	3.02	2.88	1.50	1.50	1.50
27	35	36	34	30	3.06	3.02	1.50	1.50	1.50	28	17	13	2	2	2.33	0.58	1.50	1.50	1.50
29	18	14	4	4	2.33	0.58	1.50	1.50	1.50	30	20	16	8	8	2.33	0.58	1.50	1.50	1.50
31	19	15	6	6	2.33	0.58	1.50	1.50	1.50										

## S.L.U. - AZIONI S.L.V. - VERIFICA PIASTRE - QUOTA: 0 ELEMENTO: 1

Quo N.r	P. Nr	Nod3d N.r.o	Nx Kg/m	Ny Kg/m	Txy Kg/m	Mx kg/m/m	My kg/m/m	Mxy kg/m/m	$\epsilon_{cx}$ *1000	$\epsilon_{cy}$ *1000	Ax s cmq/m	Ay s cmq/m	Ax i cmq/m	Ay i cmq/m	Atag	ot kg/cmq	eta mm	Fpunz. kg	FpnzLi kg	Apunz cmq	
0	1	8	0	0	0	-798	-249	-290	2	18	7	2.5	2.5	2.5	2.5	0.0	0.1	-0.1			
0	1	11	0	0	0	-37	37	-23	0	0	1	2.5	2.5	2.5	2.5	0.0	0.1	-0.1			
0	1	45	0	0	0	389	504	-309	1	2	10	13	2.5	2.5	2.5	2.5	0.0	0.1	-0.1		
0	1	46	0	0	0	113	-25	0	0	0	3	1	2.5	2.5	2.5	2.5	0.0	0.1	-0.1		
0	1	47	0	0	0	389	504	309	1	2	10	13	2.5	2.5	2.5	2.5	0.0	0.1	-0.1		
0	1	48	0	0	0	542	-402	-369	2	1	14	11	2.5	2.5	2.5	2.5	0.0	0.1	-0.1		
0	1	49	0	0	0	-155	-8	-10	0	0	4	2.5	2.5	2.5	2.5	0.0	0.1	-0.1			
0	1	50	0	0	0	542	-402	369	2	1	14	11	2.5	2.5	2.5	2.5	0.0	0.1	-0.1		
0	1	51	0	0	0	125	412	102	0	1	3	11	2.5	2.5	2.5	2.5	0.0	0.1	-0.1		
0	1	52	0	0	0	125	412	-102	0	1	3	11	2.5	2.5	2.5	2.5	0.0	0.1	-0.1		

## S.L.E. - VERIFICA FESSURAZIONE - QUOTA: 0 ELEMENTO: 1

## FESSURAZIONI

## TENSIONI

## DIREZIONE X

## DIREZIONE Y

Quo N.r	Per N.r	Nodo N.ro	Comb. Cari	Fes lim	Fess mm	dis mm	Co mb	Mfx (t*m)	Nx (t)	Mfy (t*m)	NY (t)	cos teta	sin teta	Combina Carico	$\sigma$ lim. Kg/cmq	$\sigma$ cal. Kg/cmq	Co mb	Mf (t*m)	N (t)
0	1	8	Rara Freq	0.4	0.00	0	5	-0.2	0.0	0.0	0.000	0.000	0.000	RaraCis	150.0</				

S.L.E. - VERIFICA FESSURAZIONE - QUOTA: 0 ELEMENTO: 1																							
Quo N.r	Per N.r	Nodo N.ro	FESSURAZIONI								TENSIONI			DIREZIONE X			DIREZIONE Y						
			Comb. Cari	Fes lim	Fess mm	dis mm	Co mb	Mfx (t*m)	Nx (t)	Mfy (t*m)	Ny (t)	cos teta	sin teta	Combina Carico	$\sigma$ lim. Kg/cmq	$\sigma$ cal. Kg/cmq	Co mb	Mf (t*m)	N (t)	$\sigma$ cal. Kg/cmq	Co mb	Mf (t*m)	N (t)
0	1	11	Perm	0.3	0.00	0	1	-0.1	0.0	0.0	0.0	0.000	0.000	PermCls	112.0	2.1	1	-0.1	0.0	0.7	1	0.0	0.0
			Rara											RaraCls	150.0	0.9	15	0.0	0.0	0.9	15	0.0	0.0
0	1	45	Freq	0.4	0.00	0	7	0.0	0.0	0.0	0.0	0.000	0.000	RaraFer	3600	51	15	0.0	0.0	51	15	0.0	0.0
			Perm	0.3	0.00	0	1	0.0	0.0	0.0	0.0	0.000	0.000	PermCls	112.0	0.3	1	0.0	0.0	0.3	1	0.0	0.0
0	1	46	Rara											RaraCls	150.0	8.4	5	0.3	0.0	11.6	5	0.4	0.0
			Freq	0.4	0.00	0	5	-0.1	0.0	0.1	0.0	0.000	0.000	RaraFer	3600	491	5	0.3	0.0	680	5	0.4	0.0
0	1	47	Perm	0.3	0.00	0	1	-0.1	0.0	0.0	0.0	0.000	0.000	PermCls	112.0	2.3	1	-0.1	0.0	0.8	1	0.0	0.0
			Rara											RaraCls	150.0	2.7	8	-0.1	0.0	0.6	10	0.0	0.0
0	1	48	Freq	0.4	0.00	0	3	-0.1	0.0	0.0	0.0	0.000	0.000	RaraFer	3600	154	8	-0.1	0.0	38	10	0.0	0.0
			Perm	0.3	0.00	0	1	-0.1	0.0	0.0	0.0	0.000	0.000	PermCls	112.0	1.7	1	-0.1	0.0	0.3	1	0.0	0.0
0	1	49	Rara											RaraCls	150.0	8.4	5	0.3	0.0	11.6	5	0.4	0.0
			Freq	0.4	0.00	0	5	0.0	0.0	0.1	0.0	0.000	0.000	RaraFer	3600	491	5	0.3	0.0	680	5	0.4	0.0
0	1	50	Perm	0.3	0.00	0	1	-0.1	0.0	0.0	0.0	0.000	0.000	PermCls	112.0	2.3	1	-0.1	0.0	0.8	1	0.0	0.0
			Rara											RaraCls	150.0	12.0	5	0.4	0.0	9.3	5	-0.3	0.0
0	1	51	Freq	0.4	0.00	0	5	-0.1	0.0	-0.1	0.0	0.000	0.000	RaraFer	3600	703	5	0.4	0.0	543	5	-0.3	0.0
			Perm	0.3	0.00	0	1	-0.1	0.0	0.0	0.0	0.000	0.000	PermCls	112.0	2.0	1	-0.1	0.0	1.0	1	0.0	0.0
0	1	52	Rara											RaraCls	150.0	4.0	10	-0.1	0.0	0.2	15	0.0	0.0
			Freq	0.4	0.00	0	6	-0.1	0.0	0.0	0.0	0.000	0.000	RaraFer	3600	233	10	-0.1	0.0	10	15	0.0	0.0
0	1	52	Perm	0.3	0.00	0	1	-0.1	0.0	0.0	0.0	0.000	0.000	PermCls	112.0	2.1	1	-0.1	0.0	0.0	1	0.0	0.0
			Rara											RaraCls	150.0	12.0	5	0.4	0.0	9.3	5	-0.3	0.0
0	1	52	Freq	0.4	0.00	0	5	-0.1	0.0	-0.1	0.0	0.000	0.000	RaraFer	3600	703	5	0.4	0.0	543	5	-0.3	0.0
			Perm	0.3	0.00	0	1	-0.1	0.0	0.0	0.0	0.000	0.000	PermCls	112.0	2.0	1	-0.1	0.0	1.0	1	0.0	0.0

## SOVRARESISTENZE PIASTRE

COEFFICIENTI DI AMPLIFICAZIONE SOLLECITAZIONI PER LE PIASTRE				
Quota N.ro	Perimetro N.ro	Sisma X Canale Valore	Sisma Y Canale Valore	Sisma Z Canale Valore
0	1	10 1.00	11 1.00	